

# Kombinatorische Optimierung

## Theorie, Algorithmen und Anwendungen

Prof. Dr. Peter Becker

Fachbereich Informatik  
Hochschule Bonn-Rhein-Sieg

Sommersemester 2020



**Hochschule  
Bonn-Rhein-Sieg**  
University of Applied Sciences

# Allgemeines zur Vorlesung

Homepage:

<http://www2.inf.h-brs.de/~pbecke2m/kombopt/>

Die Vorlesung wird **überwiegend folienbasiert** gehalten.

Folien sind knapp gehalten (Definiton, Satz, Beweis, Beispiel).

Die Folien zur Vorlesung (Skript) stehen auf der Homepage **vor der Vorlesung** zur Verfügung.

# Übungen

Wöchentlich erscheint ein Aufgabenblatt mit Punkten, das

- eine **Sollpunktzahl** hat,
- in **Zweiergruppen** bearbeitet werden kann,
- in der folgenden Woche **vor den Übungen** abgegeben werden muss,
- in den Übungen besprochen wird und
- von mir **bewertet** wird.

**Heute:** Ausgabe des ersten Aufgabenblatts!

Zu erfüllende **Vorleistung**:  $\geq 50\%$  der gesamten Sollpunktzahl.

Wer die Vorleistung nicht erfüllt, **wird nicht zur Prüfung zugelassen!**

# Lernziele

- **Algorithmen** zur Lösung kombinatorischer Optimierungsprobleme **kennen**, **anwenden** und in Grundzügen implementieren können,
- **Eigenschaften** der Algorithmen wissen, **mathematisch beschreiben** und beweisen können,
- in der Lage sein, **praktische Problemstellungen** in ein geeignetes **mathematisches Modell überführen** zu können und
- solch ein **Modell** unter Einsatz von Softwarewerkzeugen **lösen** können.

# Inhalt (geplant)

- 1 Totale Unimodularität
- 2 Komplexität
- 3 Schnittebenenverfahren
- 4 Branch-and-Bound
- 5 Branch-and-Cut
- 6 Heuristiken und Approximation

# Organisatorisches und Formales

## Inhaltliche Voraussetzungen:

- Kenntnisse in **Linearer Programmierung** und der Nutzung eines LP-Solvers (Gurobi oder GLPK)
- **Lineare Algebra** und **Graphentheorie**
- **Datenstrukturen** und **Algorithmen**
- **Theoretische Informatik**

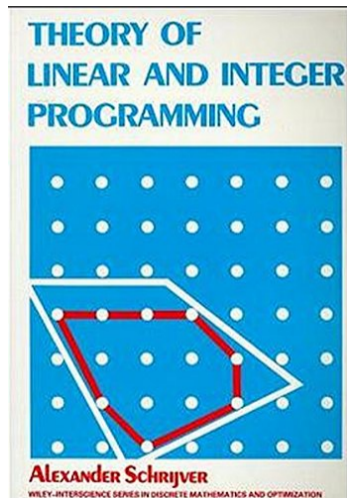
**Umfang:** 2V + 2Ü

**Übungen/Vorleistung:**  $\geq 50\%$  der Sollpunkte aus den Übungen

**Prüfungsform:** mündlich

**Softwarewerkzeuge:** GNU Linear Programming Kit, Gurobi

# Literatur

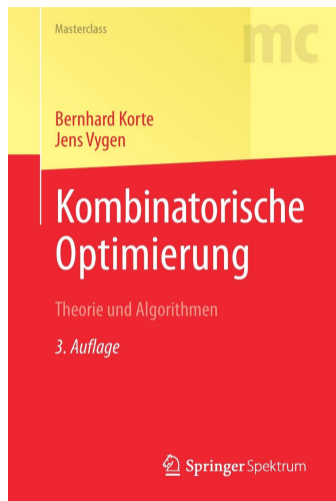


- Klassiker zum Thema lineare und ganzzahlige Programmierung
- umfassend und tiefgehend
- trocken, nicht immer leicht verständlich

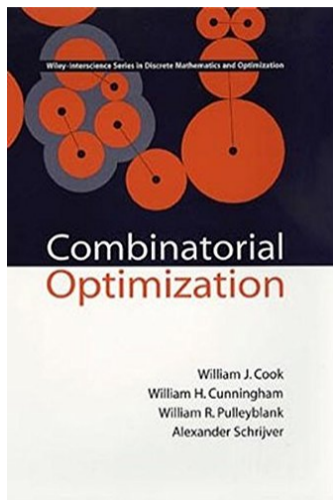


- umfassend: für Lineare und kombinatorische Optimierung
- geeignet für die Komplexitätsbetrachtungen
- in der kombinatorischen Optimierung nicht so tiefgehend

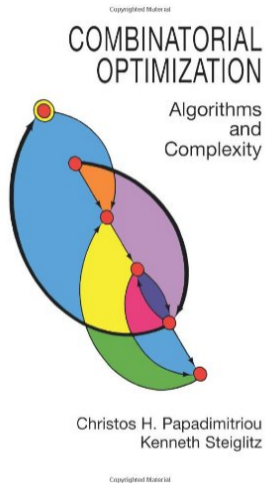




- deutscher Klassiker zum Thema kombinatorische Optimierung
- legt etwas andere Schwerpunkte als diese Veranstaltung
- als PDF in der Bibliothek verfügbar



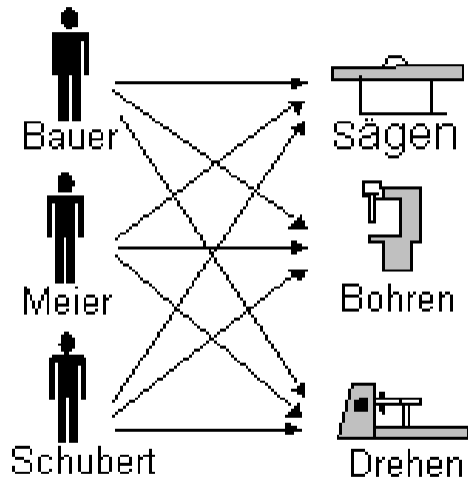
- bedeutendes internationales Lehrbuch
- kompakt, Darstellungen ziemlich knapp
- ohne lineare Programmierung



- bedeutendes internationales Lehrbuch
- legt andere Schwerpunkte

## Kapitel 1

## Totale Unimodularität



# Inhalt

## 1 Totale Unimodularität

- Wiederholung: Transport- und Zuordnungsproblem
- Total unimodulare Matrizen
- Inzidenzmatrix
- Optimierungsprobleme auf Graphen

# Transportproblem

## Definition 1.1

Das Optimierungsproblem  $\min \sum_{i=1}^m \sum_{j=1}^n c_{ij} x_{ij}$

unter den Nebenbedingungen

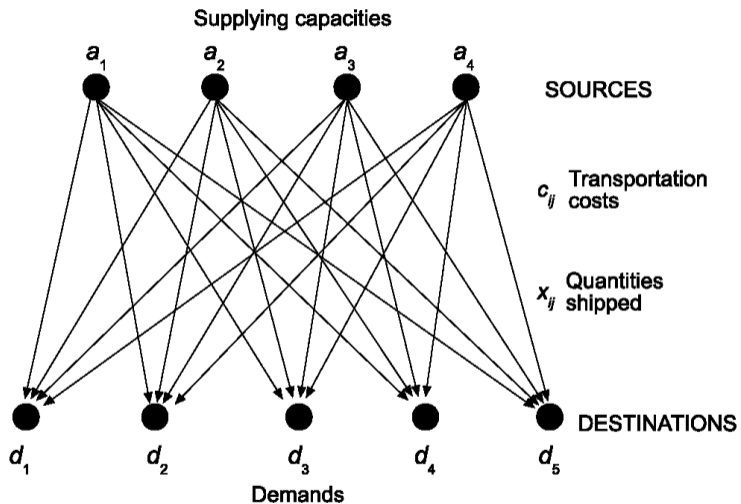
$$\sum_{j=1}^n x_{ij} = a_i \quad \text{für } i = 1, \dots, m$$

$$\sum_{i=1}^m x_{ij} = b_j \quad \text{für } j = 1, \dots, n$$

und den Vorzeichenbedingungen

$$x_{ij} \geq 0 \quad \text{für } i = 1, \dots, m \text{ und } j = 1, \dots, n$$

heißt **Transportproblem**.



## Bemerkungen zum Transportproblem

Wir setzen ein **geschlossenes Transportproblem** voraus:  $a_i > 0$ ,  $b_j > 0$  und  $\sum_{i=1}^m a_i = \sum_{j=1}^n b_j$ , also **Gesamtangebot = Gesamtnachfrage**.

Für den Fall  $\sum_{i=1}^m a_i > \sum_{j=1}^n b_j$  führen wir ein **zusätzliches Warenhaus** mit  $b_{n+1} = \sum_{i=1}^m a_i - \sum_{j=1}^n b_j$  und  $c_{i,n+1} = 0$  ein.

Für den Fall  $\sum_{i=1}^m a_i < \sum_{j=1}^n b_j$  führen wir eine **zusätzliche Produktionsstätte** mit  $a_{m+1} = \sum_{j=1}^n b_j - \sum_{i=1}^m a_i$  ein.

Die  $c_{m+1,j}$  modellieren dann die **Kosten pro ME** für das mangelnde Angebot in Warenhaus  $j$ .

Anzahl Variablen:  $m \cdot n$



# Beispielproblem

## Beispiel 1.2

Wir gehen von folgenden Kosten, Angebot und Nachfrage aus:

	$B_1$	$B_2$	$B_3$	
$A_1$	9	1	3	50
$A_2$	4	5	8	70
	40	40	40	

## Fortsetzung Beispiel.

Damit lautet das zugehörige Transportproblem

$$\min 9x_{11} + x_{12} + 3x_{13} + 4x_{21} + 5x_{22} + 8x_{23}$$

unter den Nebenbedingungen

$$\begin{array}{rccccrcrcrcr} x_{11} & + & x_{12} & + & x_{13} & & & & & & = & 50 \\ & & & & & & x_{21} & + & x_{22} & + & x_{23} & = & 70 \\ x_{11} & & & & & & + & x_{21} & & & & = & 40 \\ & & x_{12} & & & & & & + & x_{22} & & = & 40 \\ & & & & x_{13} & & & & & & + & x_{23} & = & 40 \end{array}$$

und Vorzeichenbedingungen

$$x_{11}, x_{12}, x_{13}, x_{21}, x_{22}, x_{23} \geq 0.$$

# Lösungsalgorithmen

- **Simplexalgorithmus**  
Anzahl Basisvariablen:  $n + m - 1$
- **Stepping-Stone-Methode**  
Kombinatorische Entsprechung des Simplex-Algorithmus
- **u-v-Methode**  
Verbesserung der Stepping-Stone-Methode durch Dualitätseigenschaften

# Zuordnungsproblem

## Definition 1.3

Das Optimierungsproblem  $\min \sum_{i=1}^n \sum_{j=1}^n c_{ij} x_{ij}$  unter den Nebenbedingungen

$$\sum_{j=1}^n x_{ij} = 1 \quad \text{für } i = 1, \dots, n$$

$$\sum_{i=1}^n x_{ij} = 1 \quad \text{für } j = 1, \dots, n$$

sowie

$$x_{ij} \in \{0, 1\} \quad \text{für } i = 1, \dots, n \text{ und } j = 1, \dots, n$$

heißt **Zuordnungsproblem**.

## Ecken des Zuordnungsproblems

### Definition 1.4

Ein Zuordnungsproblem mit den Vorzeichenbedingungen

$$0 \leq x_{ij} \leq 1 \text{ für } i, j = 1, \dots, n$$

statt  $x_{ij} \in \{0, 1\}$  heißt **relaxiertes Zuordnungsproblem**.

### Beispiel 1.5

Wir betrachten ein **relaxiertes Zuordnungsproblem** mit Kostenmatrix

$$\mathbf{C} = (c_{ij}) = \begin{pmatrix} 0 & 0 & 1 \\ 0 & 0 & 1 \\ 1 & 1 & 0 \end{pmatrix}.$$

## Fortsetzung Beispiel.

Dann sind

$$\begin{aligned}\mathbf{x} &= (x_{11}, x_{12}, x_{13}, x_{21}, x_{22}, x_{23}, x_{31}, x_{32}, x_{33}) \\ &= (1, 0, 0, 0, 1, 0, 0, 0, 1) \\ \mathbf{y} &= (0, 1, 0, 1, 0, 0, 0, 0, 1) \text{ und} \\ \mathbf{z} &= \left( \frac{1}{2}, \frac{1}{2}, 0, \frac{1}{2}, \frac{1}{2}, 0, 0, 0, 1 \right)\end{aligned}$$

optimale Lösungen.

Wegen

$$\mathbf{z} = \frac{1}{2}\mathbf{x} + \frac{1}{2}\mathbf{y}$$

ist aber  $\mathbf{z}$  keine Ecke und würde damit vom Simplexalgorithmus niemals als optimale Lösung ermittelt.

# Transport- vs. Zuordnungsproblem

- Das relaxierte Zuordnungsproblem ist ein **spezielles Transportproblem**.
- $n = m$  und  $a_1 = \dots = a_m = b_1 = \dots = b_n = 1$
- Alle Lösungsalgorithmen für das Transportproblem können auch auf das relaxierte Zuordnungsproblem angewendet werden.

# Ganzzahligkeit der Ecken beim Zuordnungsproblem

## Satz 1.6

*Für jedes relaxierte Zuordnungsproblem sind alle Ecken ganzzahlig.*

Für ein relaxiertes Zuordnungsproblem der Größe  $n \times n$  gilt also

$$\mathbf{x} \text{ ist Ecke} \Rightarrow \mathbf{x} \in \{0, 1\}^{n \times n}$$



## Beweis.

Induktion über  $n$ .

$n = 1$ :  $x_{11} = 1$  ist die einzige zulässige und damit optimale Lösung.

$n - 1 \rightarrow n$ : Es sei  $\mathbf{x}$  Ecke eines relaxierten  $n \times n$ -Zuordnungsproblems.

**Fall 1:** Es existieren  $1 \leq i, j \leq n$  mit  $x_{ij} = 1$ .

- Dann streiche aus dem Zuordnungsproblem Zeile  $i$  und Spalte  $j$  und aus  $\mathbf{x}$  alle entsprechenden Komponenten.
- Der Restvektor von  $\mathbf{x}$  muss dann eine Ecke des  $(n - 1) \times (n - 1)$  Zuordnungsproblems sein, das nach I. V. nur ganzzahlige Ecken hat.

## Fortsetzung Beweis.

**Fall 2:** Es existiert kein  $i, j$  mit  $x_{ij} = 1$ .

- Damit folgt  $0 \leq x_{ij} < 1$  für alle  $i, j$ .
- Wegen  $\sum_{j=1}^n x_{ij} = 1$  für alle  $i$  folgt: Für jedes  $i$  gibt es mindestens zwei Variablen  $x_{ij} > 0$ .
- Damit existieren mindestens  $2n$  Variablen  $x_{ij} > 0$ .
- Widerspruch, denn eine Ecke  $\mathbf{x}$  und damit eine zulässige Basislösung hat nur  $2n - 1$  Basisvariablen.

## Folgerung 1.7

*Wir können Zuordnungsprobleme mit dem Simplexalgorithmus optimal lösen.*

# Konsequenz

Wir können Zuordnungsprobleme lösen, indem wir

- zum relaxierten Problem übergehen und
- das **relaxierte Problem mit dem Simplexalgorithmus lösen.**

Wir wollen nun untersuchen,

- für welche **weiteren kombinatorischen Probleme** solch ein Vorgehen möglich ist, bzw.
- welche **Bedingungen** hinreichend für ganzzahlige Ecken sind.

# Unimodulare Matrizen

## Definition 1.8

Eine ganzzahlige Matrix  $\mathbf{A} \in \mathbb{Z}^{n \times n}$  heißt **unimodular**, wenn

$$|\det(\mathbf{A})| = 1$$

gilt, d. h.  $\det(\mathbf{A}) = 1$  oder  $\det(\mathbf{A}) = -1$ .

## Beispiel 1.9

Die Matrix

$$\mathbf{A} = \begin{pmatrix} 2 & 1 \\ 1 & 0 \end{pmatrix}$$

ist unimodular.

## Cramersche Regel

Für den Beweis des übernächsten Lemmas benötigen wir die sogenannte **Cramersche-Regel**.

### Lemma 1.10

Es sei  $\mathbf{A} \in \mathbb{R}^{n \times n}$  eine quadratische Matrix mit  $\det(\mathbf{A}) \neq 0$ . Für das LGS  $\mathbf{Ax} = \mathbf{b}$  sei

$$\mathbf{A}_j := (\mathbf{a}^1, \dots, \mathbf{a}^{j-1}, \mathbf{b}, \mathbf{a}^{j+1}, \dots, \mathbf{a}^n),$$

also die Matrix, die entsteht, wenn in  $\mathbf{A}$  die  $j$ -te Spalte durch den Vektor  $\mathbf{b}$  ersetzt wird.

Dann gilt für die eindeutige Lösung  $\mathbf{x} = (x_j) \in \mathbb{R}^n$  des Gleichungssystems  $\mathbf{Ax} = \mathbf{b}$

$$x_j = \frac{\det(\mathbf{A}_j)}{\det(\mathbf{A})}.$$

## Beispiel 1.11

Wir betrachten das LGS

$$\underbrace{\begin{pmatrix} 3 & 0 & 1 \\ 6 & 2 & 1 \\ -3 & -2 & 1 \end{pmatrix}}_{\mathbf{A}} \underbrace{\begin{pmatrix} x_1 \\ x_2 \\ x_3 \end{pmatrix}}_{\mathbf{x}} = \underbrace{\begin{pmatrix} 1 \\ 3 \\ -1 \end{pmatrix}}_{\mathbf{b}}.$$

Es gilt

$$\begin{aligned} \det \begin{pmatrix} 3 & 0 & 1 \\ 6 & 2 & 1 \\ -3 & -2 & 1 \end{pmatrix} &= 6 + 0 - 12 + 6 + 6 - 0 \\ &= 6. \end{aligned}$$

## Fortsetzung Beispiel.

$$\det(\mathbf{A}_1) = \det \begin{pmatrix} 1 & 0 & 1 \\ 3 & 2 & 1 \\ -1 & -2 & 1 \end{pmatrix} = 2 + 0 - 6 + 2 + 2 - 0 = 0$$

$$\det(\mathbf{A}_2) = \det \begin{pmatrix} 3 & 1 & 1 \\ 6 & 3 & 1 \\ -3 & -1 & 1 \end{pmatrix} = 9 - 3 - 6 + 9 + 3 - 6 = 6$$

$$\det(\mathbf{A}_3) = \det \begin{pmatrix} 3 & 0 & 1 \\ 6 & 2 & 3 \\ -3 & -2 & -1 \end{pmatrix} = -6 + 0 - 12 + 6 + 18 - 0 = 6$$

Daraus folgt

$$x_1 = \frac{0}{6} = 0, \quad x_2 = \frac{6}{6} = 1, \quad x_3 = \frac{6}{6} = 1.$$

## Eigenschaft unimodular Matrizen

### Lemma 1.12

Es sei  $\mathbf{A} \in \mathbb{Z}^{n \times n}$  eine unimodulare Matrix und  $\mathbf{b} \in \mathbb{Z}^n$  beliebig.

Dann hat der Vektor

$$\tilde{\mathbf{b}} = \mathbf{A}^{-1}\mathbf{b}$$

ausschließlich ganzzahlige Komponenten.



## Beweis.

- $\tilde{\mathbf{b}}$  ist die eindeutige Lösung des linearen Gleichungssystems  $\mathbf{Ax} = \mathbf{b}$ .
- Wir nutzen die [Cramersche Regel](#): Es gilt

$$|\tilde{b}_j| = \frac{|\det(\mathbf{A}_j)|}{|\det(\mathbf{A})|} = |\det(\mathbf{A}_j)|,$$

weil  $|\det(\mathbf{A})| = 1$ .

- Wegen  $\mathbf{A}_j \in \mathbb{Z}^{n \times n}$  ist die Determinante von  $\mathbf{A}_j$  ganzzahlig.

## Quadratische Untermatrizen

### Definition 1.13

Für eine Matrix  $\mathbf{A} = (a_{ij}) \in \mathbb{R}^{m \times n}$  sowie

- Zeilenindizes  $1 \leq i_1 < i_2 < \dots < i_k \leq m$  und
- Spaltenindizes  $1 \leq j_1 < j_2 < \dots < j_k \leq n$

heißt die Matrix

$$\begin{pmatrix} a_{i_1, j_1} & a_{i_1, j_2} & \dots & a_{i_1, j_k} \\ a_{i_2, j_1} & a_{i_2, j_2} & \dots & a_{i_2, j_k} \\ \vdots & \vdots & & \vdots \\ a_{i_k, j_1} & a_{i_k, j_2} & \dots & a_{i_k, j_k} \end{pmatrix} \in \mathbb{R}^{k \times k}$$

quadratische Untermatrix von  $\mathbf{A}$ .

# Totale unimodulare Matrix

## Definition 1.14

Eine Matrix  $\mathbf{A} \in \mathbb{Z}^{m \times n}$  ist **total unimodular** genau dann, wenn jede quadratische Untermatrix von  $\mathbf{A}$  die Determinante 0, 1 oder  $-1$  hat.

- Wenn  $\mathbf{A} = (a_{ij})$  total unimodular ist, dann sind **alle Matrixelemente  $a_{ij}$  gleich 0, 1 oder  $-1$** .
  - ☞ notwendige Bedingung
- Die Umkehrung gilt natürlich nicht.
  - ☞ Bedingung ist **nicht hinreichend**.

# Beispiel einer total unimodularen Matrix

## Beispiel 1.15

- ① Die folgende Matrix ist total unimodular:

$$\mathbf{A} = \begin{pmatrix} -1 & -1 & 0 & 0 & 0 & 1 \\ 1 & 0 & -1 & -1 & 0 & 0 \\ 0 & 1 & 1 & 0 & -1 & 0 \\ 0 & 0 & 0 & 1 & 1 & -1 \end{pmatrix}.$$

- ② Die Matrix

$$\mathbf{B} = \begin{pmatrix} 1 & 0 & 1 \\ 1 & 1 & 0 \\ 0 & 1 & 1 \end{pmatrix}$$

ist **nicht** total unimodular.

# Totale Unimodularität und ganzzahlige Ecken

## Satz 1.16

Es sei  $\mathbf{A} \in \mathbb{Z}^{m \times n}$  eine total unimodulare Matrix und  $\mathbf{b} \in \mathbb{Z}^m$  sei ein ganzzahliger Vektor. Dann hat die Menge

$$\mathcal{X} = \{\mathbf{x} \in \mathbb{R}^n \mid \mathbf{A}\mathbf{x} = \mathbf{b}, \mathbf{x} \geq \mathbf{0}\} \subseteq \mathbb{R}^n$$

nur ganzzahlige Ecken.

## Beweis.

O.B.d.A. gelte  $r(\mathbf{A}) = m$ .

- $\mathbf{x}$  ist Ecke  $\Leftrightarrow \mathbf{x}$  ist zulässige Basislösung (siehe Lineare Optimierung, Satz 2.44)

## Fortsetzung Beweis.

- $\mathbf{x}$  ist zulässige Basislösung  $\Leftrightarrow \exists j_1, \dots, j_m$  mit:
  - ▶ die Spaltenvektoren  $\mathbf{a}^{j_1}, \dots, \mathbf{a}^{j_m}$  sind linear unabhängig,
  - ▶ die Komponenten  $x_{j_1}, \dots, x_{j_m}$  von  $\mathbf{x}$  sind für  $\mathbf{A}' = (\mathbf{a}^{j_1}, \dots, \mathbf{a}^{j_m})$  (eindeutige) Lösung des LGS

$$\mathbf{A}' \begin{pmatrix} x_{j_1} \\ \vdots \\ x_{j_m} \end{pmatrix} = \mathbf{b},$$

- ▶  $\mathbf{x} \geq \mathbf{0}$ .
- Nach der Cramer-Regel gilt

$$x_{j_k} = \frac{\det(\mathbf{A}'_{j_k})}{\det(\mathbf{A}')}.$$

## Fortsetzung Beweis.

Weil **A** total unimodular ist und die Spaltenvektoren linear unabhängig sind, folgt  $\det(\mathbf{A}') = 1$  oder  $-1$ .

Weil **b** ganzzahlig ist, ist auch  $\det(\mathbf{A}'_{j_k})$  ganzzahlig.

Damit sind die  $x_{j_k}$  ganzzahlig.

## Folgerung 1.17

Sei  $\mathbf{A} \in \mathbb{Z}^{m \times n}$  total unimodular und  $\mathbf{b} \in \mathbb{Z}^m$ .

Dann haben auch die Mengen

- $\{\mathbf{x} \in \mathbb{R}^n \mid \mathbf{Ax} \leq \mathbf{b}, \mathbf{x} \geq \mathbf{0}\}$  und
- $\{\mathbf{x} \in \mathbb{R}^n \mid \mathbf{Ax} \leq \mathbf{b}\}$

nur ganzzahlige Ecken.

## Varianten total unimodularer Matrizen

### Lemma 1.18

Sei  $\mathbf{A} \in \mathbb{Z}^{m \times n}$  total unimodular. Dann gilt:

- 1 Jede Untermatrix von  $\mathbf{A}$  ist total unimodular.
- 2  $\mathbf{A}^T$ ,  $-\mathbf{A}$  und damit auch  $-\mathbf{A}^T$  sind total unimodular.
- 3  $\mathbf{A}$  erweitert um einen Spalten- oder Zeileneinheitsvektor ist total unimodular.

### Beweis.

(1) und (2) sind offensichtlich.

(3): Entwicklung nach der Spalte- oder Zeile, die den Einheitsvektor enthält.



# Charakterisierungen für total unimodulare Matrizen

## Satz 1.19

Es sei  $\mathbf{A} \in \{-1, 0, 1\}^{m \times n}$ . Dann sind die folgenden Aussagen äquivalent:

- 1  $\mathbf{A}$  ist total unimodular.
- 2 Für jeden Vektor  $\mathbf{b} \in \mathbb{Z}^m$  hat das Polyeder  $\{\mathbf{x} \in \mathbb{R}^n \mid \mathbf{Ax} \leq \mathbf{b}, \mathbf{x} \geq \mathbf{0}\}$  nur ganzzahlige Ecken.
- 3 Für alle Vektoren  $\mathbf{a}, \mathbf{b} \in \mathbb{Z}^m$  und  $\mathbf{c}, \mathbf{d} \in \mathbb{Z}^n$  hat das Polyeder  $\{\mathbf{x} \in \mathbb{R}^n \mid \mathbf{c} \leq \mathbf{x} \leq \mathbf{d}, \mathbf{a} \leq \mathbf{Ax} \leq \mathbf{b}\}$  nur ganzzahlige Ecken.
- 4 Jede Spaltenmenge von  $\mathbf{A}$  kann so in zwei Mengen aufgeteilt werden, dass die Differenz der Spaltensummen der Mengen einen Vektor ergibt, der nur aus den Komponenten  $-1, 0, 1$  besteht.
- 5 Keine quadratische Untermatrix von  $\mathbf{A}$  hat die Determinante  $+2$  oder  $-2$ .

# Inzidenzmatrix für gerichtete Graphen

## Definition 1.20

Es sei  $G = (V, E)$  ein **gerichteter Graph** mit Knotenmenge  $V = \{v_1, \dots, v_m\}$  und Kantenmenge  $E = \{e_1, \dots, e_n\}$ .

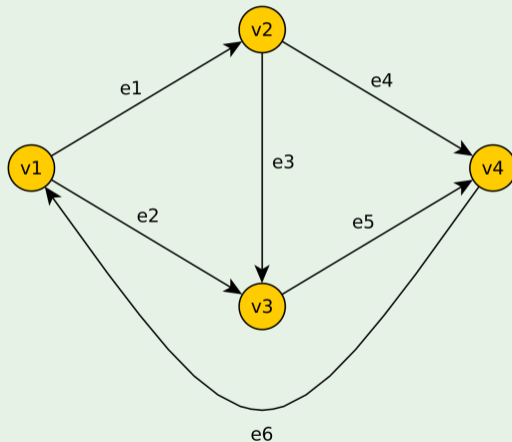
Dann heißt die  $m \times n$ -Matrix  $\mathbf{A} = (a_{ij})$  mit

$$a_{ij} = \begin{cases} -1 & \text{wenn } v_i \text{ Anfangsknoten von } e_j \text{ ist,} \\ 1 & \text{wenn } v_i \text{ Endknoten von } e_j \text{ ist,} \\ 0 & \text{sonst} \end{cases}$$

**Inzidenzmatrix von  $G$ .**

## Beispiel 1.21

Die Matrix von Beispiel 1.15 ist Inzidenzmatrix des folgenden Graphen:



# Inzidenzmatrix für ungerichtete Graphen

## Definition 1.22

Es sei  $G = (V, E)$  ein (ungerichteter) Graph mit Knotenmenge  $V = \{v_1, \dots, v_m\}$  und Kantenmenge  $E = \{e_1, \dots, e_n\}$ .

Dann heißt die  $m \times n$  Matrix  $\mathbf{A} = (a_{ij})$  mit

$$a_{ij} = \begin{cases} 1 & \text{wenn } v_i \text{ inzident mit } e_j \text{ ist} \\ 0 & \text{sonst} \end{cases}$$

Inzidenzmatrix von  $G$ .

# Eigenschaften einer Inzidenzmatrix (1)

## Lemma 1.23

Es sei  $G$  ein gerichteter Graph mit  $m$  Knoten. Dann hat die Inzidenzmatrix  $\mathbf{A}$  von  $G$  einen Rang  $r(\mathbf{A}) \leq m - 1$ .

## Beweis.

Die Summe der Zeilenvektoren ergibt den Nullvektor, da in jeder Spalte genau eine 1 und eine  $-1$  existiert.  $\square$

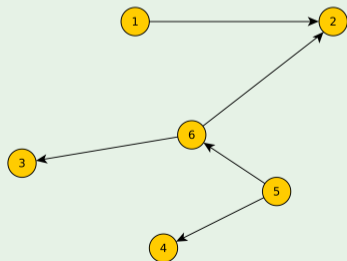
## Eigenschaften einer Inzidenzmatrix (2)

### Definition 1.24

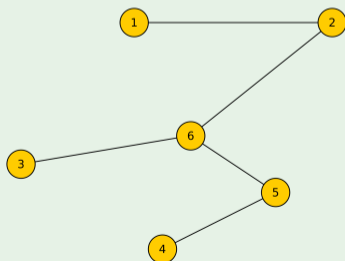
Ein gerichteter Graph  $G$  ist ein **Wald** bzw. ein **Baum** gdw. der  $G$  zugeordnete ungerichtete Graph  $G'$  (siehe Graphentheorie, Definition 1.44) ein Wald bzw. ein Baum ist.

### Beispiel 1.25

gerichteter Graph  $G$ :



Der zugeordnete Graph  $G'$  ist ein Baum:



## Lemma 1.26

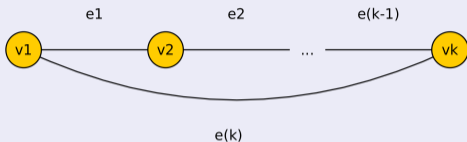
*Ein gerichteter Graph  $G$  ist genau dann ein Wald, wenn die Spalten der Inzidenzmatrix von  $G$  linear unabhängig sind.*

## Beweis.

Wir zeigen:  $G$  enthält einen Kreis gdw. die Spalten der Inzidenzmatrix  $\mathbf{A}$  linear abhängig sind.

## Fortsetzung Beweis.

“ $\Rightarrow$ ”:



- Es sei  $C =$   
ein Kreis in  $G'$  und  $j_1, \dots, j_k$  seien die zugehörigen Spaltenindizes der Inzidenzmatrix.
- Für  $l = 1, \dots, k$  setzen wir:

$$\alpha_l = \begin{cases} 1 & e_l \text{ hat in } G \text{ die Richtung } v_{l-1} \rightarrow v_l \\ -1 & \text{sonst} \end{cases}$$

- Damit gilt

$$\alpha_1 \mathbf{a}^{j_1} + \dots + \alpha_k \mathbf{a}^{j_k} = \mathbf{0}$$

die Spaltenvektoren sind also linear abhängig.



## Fortsetzung Beweis.

“ $\Leftarrow$ ”:

- Die Spalten von  $\mathbf{A}$  seien linear abhängig.
- Dann existieren Spaltenindizes  $j_1, \dots, j_k$  und Zahlen  $\alpha_1, \dots, \alpha_k \neq 0$  mit

$$\alpha_1 \mathbf{a}^{j_1} + \dots + \alpha_k \mathbf{a}^{j_k} = \mathbf{0}$$

- Es sei  $E''$  die Menge der Kanten zu den Spaltenindizes  $j_1, \dots, j_k$  und  $V''$  sei die Menge der mit den Kanten aus  $E''$  inzidenten Knoten.
- Wir betrachten jetzt den Graphen  $G'' = (V'', E'')$ . Weil alle  $\alpha_j \neq 0$  muss es für jede Zeile  $i$ , in der nicht nur 0en auftreten, mindestens zwei Spalten geben, deren Linearkombination in der  $i$ -ten Zeile = 0 ist.
- Damit hat jeder Knoten in  $G''$  mindestens den Grad 2 und  $G''$  kann damit nicht kreisfrei sein.

## Eigenschaften einer Inzidenzmatrix (3)

### Satz 1.27

Es sei  $\mathbf{A} \in \mathbb{Z}^{m \times n}$  die Inzidenzmatrix eines gerichteten Graphen  $G$ .

Dann ist  $\mathbf{A}$  total unimodular.

### Beweis.

Vollständige Induktion über die Größe  $k$  einer quadratischen Untermatrix.

$k = 1$ : Die Untermatrizen der Größe  $k = 1$  sind die Matrixelemente selbst. Per Definition der Inzidenzmatrix sind sie gleich 0, 1 oder  $-1$ .

## Fortsetzung Beweis.

$k - 1 \rightarrow k$ : Es sei  $\mathbf{A}'$  eine quadratische Untermatrix von  $\mathbf{A}$ .

**Fall 1:**  $\mathbf{A}'$  hat in jeder Spalte zwei Elemente  $\neq 0$ .

Dann definieren die Zeilen und Spalten von  $\mathbf{A}'$  (als Inzidenzmatrix betrachtet) einen gerichteten Graphen  $G'$  mit  $k$  Knoten und  $k$  Kanten.

Damit kann  $G'$  nicht kreisfrei sein. Nach Lemma 1.26 sind die Spaltenvektoren von  $\mathbf{A}'$  linear abhängig. Also folgt  $\det(\mathbf{A}') = 0$ .

**Fall 2:**  $\mathbf{A}'$  enthält eine Spalte  $j$  mit höchstens einem Element  $a'_{ij} \neq 0$ . Zur Berechnung von  $\det(\mathbf{A}')$  entwickeln wir nach Spalte  $j$ . Es folgt

$$\det(\mathbf{A}') = (-1)^{i+j} \cdot a'_{ij} \cdot \det(\mathbf{A}'_{ij})$$

Nach I.V. gilt  $\det(\mathbf{A}'_{ij}) = 0, 1$  oder  $-1$ . Also gilt auch

$$\det(\mathbf{A}') = 0, 1 \text{ oder } -1.$$


## Eigenschaften einer Inzidenzmatrix (4)

### Satz 1.28

Es sei  $\mathbf{A} \in \mathbb{Z}^{m \times n}$  die Inzidenzmatrix eines (ungerichteten) bipartiten Graphen  $G$ .

Dann ist  $\mathbf{A}$  total unimodular.

Beweis.

Übungsaufgabe 

## Maximalflussproblem

Aus der Graphentheorie kennen wir das **Maximalflussproblem**: Gegeben ist ein **Flussnetzwerk** bestehend aus

- einem **gerichteten Graphen**  $G = (V, E)$ ,
- einer **Kapazitätsfunktion**  $c : E \rightarrow \mathbb{R}_{\geq 0}$ ,
- einer **Quelle**  $s \in V$  und einer **Senke**  $t \in V$  mit  $s \neq t$ .

Gesucht ist ein **Fluss**  $f : E \rightarrow \mathbb{R}_{\geq 0}$  mit

$$0 \leq f(e) \leq c(e) \text{ für alle } e \in E$$

und

$$\sum_{(w,v) \in E} f(w,v) = \sum_{(v,w) \in E} f(v,w) \text{ für alle } v \in V \setminus \{s, t\}$$

der den **Flusswert**  $\Phi(f) = \sum_{(s,w) \in E} f(s,w) - \sum_{(w,s) \in E} f(w,s)$  maximiert. Ein Fluss  $f$ , der  $\Phi(f)$

maximiert, ist ein **Maximalfluss**.

## Maximalflussproblem als LP

Man führe für jede gerichtete Kante  $(v, w) \in E$  eine Variable  $x_{vw}$  ein. Damit erhält man das LP

$$\max \sum_{(s,w) \in E} x_{sw} - \sum_{(w,s) \in E} x_{ws}$$

unter den Nebenbedingungen

$$x_{vw} \leq c(v, w) \text{ für alle } (v, w) \in E$$

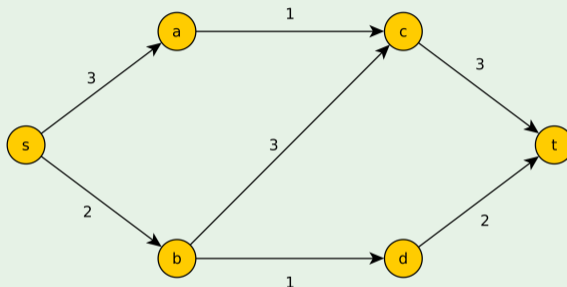
$$\sum_{(w,v) \in E} x_{wv} - \sum_{(v,w) \in E} x_{vw} = 0 \text{ für alle } v \in V \setminus \{s, t\}$$

sowie Vorzeichenbedingungen

$$x_{vw} \geq 0 \text{ für alle } (v, w) \in E$$

## Beispiel 1.29

Gegeben sei das Flussnetzwerk



Das LP für das Maximalflussproblem lautet dann

$$\max x_{sa} + x_{sb}$$

## Fortsetzung Beispiel.

unter den Nebenbedingungen

$$x_{sa} \leq 3$$

$$x_{sb} \leq 2$$

$$x_{ac} \leq 1$$

$$x_{bc} \leq 3$$

$$x_{bd} \leq 1$$

$$x_{ct} \leq 3$$

$$x_{dt} \leq 2$$

$$x_{sa} - x_{ac} = 0$$

$$x_{sb} - x_{bc} - x_{bd} = 0$$

$$x_{ac} + x_{bc} - x_{ct} = 0$$

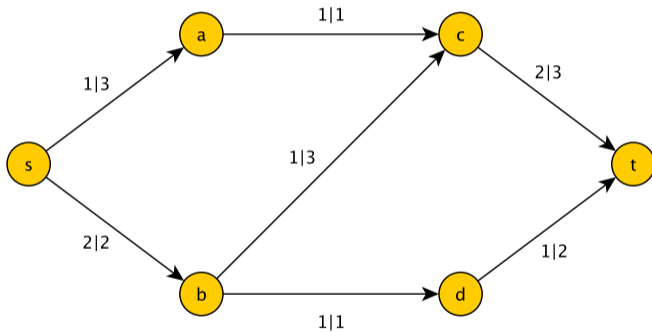
$$x_{bd} - x_{dt} = 0$$

und Vorzeichenbedingungen

$$x_{sa}, x_{sb}, x_{ac}, x_{bc}, x_{bd}, x_{ct}, x_{dt} \geq 0$$



Maximalfluss:



## Koeffizientenmatrix in Normalform

Für jede Strukturvariable  $x_{vw}$  wird eine Schlupfvariable  $s_{vw}$  eingeführt.

$$\mathbf{F} = \left( \begin{array}{cccccc|cccccccc}
 1 & 0 & 0 & 0 & 0 & 0 & 0 & 1 & 0 & 0 & 0 & 0 & 0 & 0 \\
 0 & 1 & 0 & 0 & 0 & 0 & 0 & 0 & 1 & 0 & 0 & 0 & 0 & 0 \\
 0 & 0 & 1 & 0 & 0 & 0 & 0 & 0 & 0 & 1 & 0 & 0 & 0 & 0 \\
 0 & 0 & 0 & 1 & 0 & 0 & 0 & 0 & 0 & 0 & 1 & 0 & 0 & 0 \\
 0 & 0 & 0 & 0 & 1 & 0 & 0 & 0 & 0 & 0 & 0 & 1 & 0 & 0 \\
 0 & 0 & 0 & 0 & 0 & 1 & 0 & 0 & 0 & 0 & 0 & 0 & 1 & 0 \\
 0 & 0 & 0 & 0 & 0 & 0 & 1 & 0 & 0 & 0 & 0 & 0 & 0 & 1 \\
 \hline
 1 & 0 & -1 & 0 & 0 & 0 & 0 & 0 & 0 & 0 & 0 & 0 & 0 & 0 \\
 0 & 1 & 0 & -1 & -1 & 0 & 0 & 0 & 0 & 0 & 0 & 0 & 0 & 0 \\
 0 & 0 & 1 & 1 & 0 & -1 & 0 & 0 & 0 & 0 & 0 & 0 & 0 & 0 \\
 0 & 0 & 0 & 0 & 1 & 0 & -1 & 0 & 0 & 0 & 0 & 0 & 0 & 0
 \end{array} \right) = \left( \begin{array}{c|c}
 \mathbf{E} & \mathbf{E} \\
 \hline
 \mathbf{A}' & \mathbf{0}
 \end{array} \right)$$

### Satz 1.30

*Die Koeffizientenmatrix  $\mathbf{F}$  eines Maximalflussproblems in Normalform ist total unimodular.*

### Beweis.

Folgt induktiv aus Lemma 1.18 (3).

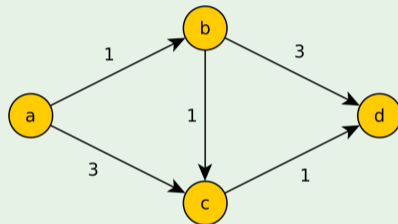
### Folgerung 1.31

*Für ganzzahlige Kapazitäten liefert der Simplexalgorithmus stets einen ganzzahligen Maximalfluss als optimale Lösung.*

# Kürzeste Wege

## Beispiel 1.32

Für das Netzwerk



soll ein kürzester Weg von  $a$  nach  $d$  ermittelt werden.

Wir führen für jede gerichtete Kante  $e = (v, w)$  eine Variable  $x_{vw}$  ein. Dann lautet das LP:

$$\min x_{ab} + 3x_{ac} + x_{bc} + 3x_{bd} + x_{cd}$$

## Fortsetzung Beispiel.

unter den Nebenbedingungen

$$x_{ab} - x_{bc} - x_{bd} = 0$$

$$x_{ac} + x_{bc} - x_{cd} = 0$$

$$-x_{ab} - x_{ac} = -1$$

$$x_{bd} + x_{cd} = 1$$

und

$$x_{ab}, x_{ac}, x_{bc}, x_{bd}, x_{cd} \in \{0, 1\}$$

bzw. für das relaxierte LP

$$0 \leq x_{ab}, x_{ac}, x_{bc}, x_{bd}, x_{cd} \leq 1$$

## Lemma 1.33

*Das relaxierte LP zur Ermittlung eines kürzesten Weges hat unabhängig von den Kantengewichten ausschließlich ganzzahlige Ecken.*

## Transport- und Zuordnungsproblem revisited

Die Matrix  $\mathbf{A}'$  der Nebenbedingungen eines relaxierten Zuordnungsproblems entspricht der Inzidenzmatrix eines vollständigen bipartiten Graphen  $K_{n,n}$ .

Damit ist die Matrix  $\mathbf{A}'$  total unimodular.

Für die Beschränkungen  $x_{ij} \leq 1$  werden zusätzliche Schlupfvariablen benötigt.

Insgesamt entsteht eine totale unimodulare Matrix in der gleichen Form wie beim Maximalflussproblem:

$$\begin{pmatrix} \mathbf{E} & \mathbf{E} \\ \mathbf{A}' & \mathbf{0} \end{pmatrix}$$

Damit haben wir einen **anderen Beweis für Satz 1.6**: Beim relaxierten Zuordnungsproblem sind alle Ecken ganzzahlig.

Beim Transportproblem entspricht die Koeffizientenmatrix direkt der Inzidenzmatrix eines vollständigen bipartiten Graphen  $K_{m,n}$ .

Konsequenz: Wenn die  $a_i$  und  $b_j$  alle ganzzahlig sind, dann **hat das Transportproblem nur ganzzahlige Ecken**.

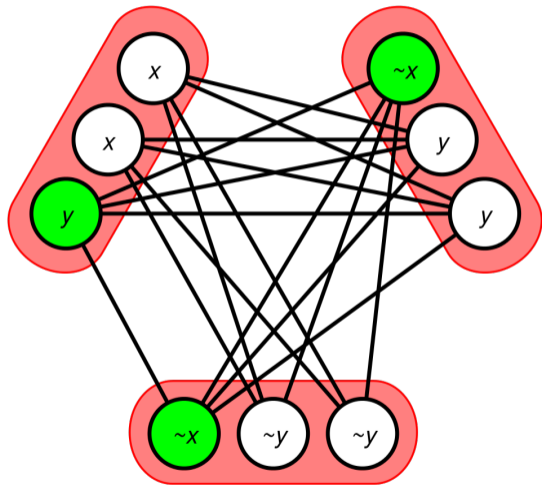
# Zusammenfassung

- ganzzahlige Ecken beim Zuordnungsproblem
- totale Unimodularität der Koeffizientenmatrix als wesentlicher Teil einer hinreichende Bedingung für ganzzahlige Ecken
- Inzidenzmatrizen als Beispiele für total unimodulare Matrizen
- Maximalflussproblem und kürzeste Wege als Beispiele für graphentheoretische LPs mit ganzzahligen Ecken



## Kapitel 2

Komplexität



# Inhalt

## 2 Komplexität

- Probleme, Komplexitätsmaße, Laufzeiten
- Komplexität der Linearen Programmierung
- Die Klassen  $\mathcal{P}$  und  $\mathcal{NP}$
- $\mathcal{NP}$ -Vollständigkeit
- Komplexität und kombinatorische Optimierung

# Probleme

Wir benötigen eine einigermaßen präzise Definition des Begriffs **Problem**.

## Definition 2.1

- Ein **Problem** ist eine allgemeine Fragestellung, bei der mehrere Parameter offen gelassen sind und für die eine Lösung oder Antwort gesucht wird.
- Ein Problem ist dadurch definiert, dass **alle seine Parameter beschrieben werden** und dass genau angegeben wird, **welche Eigenschaften eine Antwort (Lösung) haben soll**.
- Sind alle Parameter eines Problems mit expliziten Daten belegt, dann sprechen wir von einer **Problem Instanz**.

# Beispielproblem

## Beispiel 2.2

- Das **Travelling-Salesman-Problem** ist ein Problem im Sinne von Definition 2.1.
- Seine **offenen Parameter** sind die **Anzahl der Städte** und die **Entfernungen zwischen diesen Städten**.
- Eine Entfernungstabelle definiert eine **Probleminstance** für das Travelling-Salesman-Problem.
- Eine **kürzeste Rundreise** ist eine Lösung.

### Bemerkung:

- Der Begriff **Problem** bezeichnet demnach eine **abstrakte Problemstellung**.
- Eine **konkrete Problemstellung** ist eine **Probleminstance**.

# Lösungsalgorithmus

- Mathematisch betrachten wir ein **Problem  $\Pi$**  als die Menge aller Probleminstanzen.
- Im mathematischen Sinn ist also das **Travelling-Salesman-Problem** die Menge aller **TSP-Instanzen**.

## Definition 2.3

Ein Algorithmus **löst** ein Problem  $\Pi$ , wenn er für jede Probleminstanz  $\mathcal{I} \in \Pi$  eine Lösung findet.

**Bemerkung:** Hier bleibt noch die Frage offen, wie solch eine **Lösung** aussehen kann.

# Kodierungsschemata

- Ziel ist es, **möglichst effiziente Verfahren** zur Lösung von Problemen zu finden.
- Mittels **Komplexitätsmaßen** machen wir den **Begriff der Effizienz messbar**.
- am wichtigsten: **Zeit-** und **Speicherplatzkomplexität**
- Die Laufzeit eines Algorithmus hängt in der Regel von der **Größe einer Probleminstanz** ab, d. h. vom **Umfang der Eingabedaten**.
- Wir müssen also beschreiben, wie wir Probleminstanzen repräsentieren.
- **Kodierungsschemata** leisten diese Aufgabe.

# Kodierung von Zahlen, Vektoren und Matrizen

- **Ganze Zahlen** kodieren wir **binär**.
- Die binäre Darstellung einer nichtnegativen ganzen Zahl  $n$  benötigt  $\lceil \log_2(n+1) \rceil$  Bits. Hinzu kommt ein Bit für das Vorzeichen.
- Die **Kodierungslänge**  $\langle n \rangle$  einer ganzen Zahl  $n$  ist dann

$$\langle n \rangle = \lceil \log_2(|n| + 1) \rceil + 1.$$

- Jede **rationale Zahl**  $r$  hat eine Darstellung  $r = \frac{p}{q}$  mit  $p, q \in \mathbb{Z}$ ,  $p, q$  sind teilerfremd und  $q > 0$ .
- Die **Kodierungslänge** von  $r = \frac{p}{q}$  ist dann

$$\langle r \rangle = \langle p \rangle + \langle q \rangle.$$

- Die **Kodierungslänge eines Vektors**  $\mathbf{x} \in \mathbb{Q}^n$  ist

$$\langle \mathbf{x} \rangle = \sum_{j=1}^n \langle x_j \rangle.$$

- Die **Kodierungslänge einer Matrix**  $\mathbf{A} \in \mathbb{Q}^{m \times n}$  ist

$$\langle \mathbf{A} \rangle = \sum_{i=1}^m \sum_{j=1}^n \langle a_{ij} \rangle.$$

- Kodierungslängen für andere Datenstrukturen (insbesondere Graphen) leiten wir aus den so gegebenen Kodierungslängen her.



# Rechnermodell

- Wir benötigen ein **Rechnermodell**, um Speicher- und Laufzeitberechnungen durchführen zu können.
- Die Komplexitätstheorie nutzt hierzu **Turing-** oder **RAM-Maschinen**. Wir nutzen ein einfacheres Modell.
- Ein Algorithmus  $A$  soll Probleminstanz  $\mathcal{I}$  des Problems  $\Pi$  lösen. Probleminstanzen liegen immer in kodierter Form vor.  $\langle \mathcal{I} \rangle$  bezeichnet die **Kodierungslänge** von  $\mathcal{I}$ .
- Der Algorithmus liest diese Daten und beginnt Operationen auszuführen, d. h. Zahlen zu berechnen, zu speichern, zu löschen, usw.
- Die Anzahl der Speicherzellen, die während der Ausführung des Algorithmus  $A$  mindestens einmal benutzt werden, nennen wir den **Speicherbedarf** von  $A$  zur Lösung von  $\mathcal{I}$ .

- Die **Laufzeit von  $A$  zur Lösung von  $\mathcal{I}$**  basiert auf der Anzahl der elementaren Operationen, die  $A$  bis zur Terminierung ausführt.
- **Elementare Operationen** sind  
*Lesen, Schreiben, Initialisieren, Addieren, Subtrahieren, Multiplizieren, Dividieren und Vergleichen*  
von rationalen Zahlen.
- Für die Laufzeitberechnung muss nun jede elementare Operation mit der Kodierungslänge der beteiligten Zahlen multipliziert werden.
- Die **Laufzeit** von  $A$  zur Lösung von  $\mathcal{I}$  ist die **Anzahl der ausgeführten elementaren Rechenoperationen** multipliziert mit der längsten aufgetretenen Kodierungslänge einer Zahl.
- Wir tun also so, **als hätten wir alle elementaren Operationen mit der am längsten kodierten Zahl ausgeführt.**

# Laufzeit- und Speicherplatzbedarf

## Definition 2.4

Sei  $A$  ein Algorithmus zur Lösung eines Problems  $\Pi$ .

- 1 Die Funktion  $f_A : \mathbb{N} \rightarrow \mathbb{N}$ , definiert durch

$$f_A(n) = \max \{ \text{Laufzeit von } A \text{ zur Lösung von } \mathcal{I} \mid \mathcal{I} \in \Pi \text{ und } \langle \mathcal{I} \rangle \leq n \},$$

heißt **Laufzeitfunktion** von  $A$ .

- 2 Die Funktion  $s_A : \mathbb{N} \rightarrow \mathbb{N}$ , definiert durch

$$s_A(n) = \max \{ \text{Speicherbedarf von } A \text{ zur Lösung von } \mathcal{I} \mid \mathcal{I} \in \Pi \text{ und } \langle \mathcal{I} \rangle \leq n \},$$

heißt **Speicherplatzfunktion** von  $A$ .

## Fortsetzung Definition.

- 3 Der Algorithmus  $A$  hat **polynomielle Laufzeit (kurz: ist polynomiell)**, wenn es ein Polynom  $p : \mathbb{N} \rightarrow \mathbb{N}$  gibt mit

$$f_A(n) \leq p(n) \quad \text{für alle } n \in \mathbb{N}.$$

Wir schreiben  $f_A = O(n^k)$ , falls das Polynom  $p$  den Grad  $k$  hat.

- 4 Der Algorithmus  $A$  hat **polynomiellen Speicherplatzbedarf**, falls es ein Polynom  $q : \mathbb{N} \rightarrow \mathbb{N}$  gibt mit

$$s_A(n) \leq q(n) \quad \text{für alle } n \in \mathbb{N}.$$

**Bemerkung:** Ein Algorithmus, dessen Speicherplatzfunktion nicht durch ein Polynom beschränkt ist, kann nicht polynomiell sein.

# Komplexität des Simplexalgorithmus

- Wir betrachten die **lineare Programmierung (LP) als Problem**.
- Eine Lösung im Sinne von Definition 2.1 ist eine **optimale Lösung** im Sinne der linearen Programmierung.
- Wie viel Rechenzeit benötigen wir, um mit dem Simplexalgorithmus eine optimale Lösung zu berechnen?
- Wir teilen die Frage auf:
  - ▶ **Wie aufwendig ist eine Iteration?**
  - ▶ **Wie viele Iterationen sind notwendig?**

## Aufwand für eine Iteration (1)

- kanonische Normalform,  $m$  Nebenbedingungen,  $n$  Variablen
- Pivotspalte bestimmen:  $n$  Vergleiche
- Pivotzeile bestimmen:  $m$  Divisionen und Vergleiche
- Pivotzeile normalisieren:  $n + 1$  Divisionen
- Tableau anpassen:  $m \cdot (n + 1)$  Divisionen und Subtraktionen

Fazit:  $O(mn)$  Operationen für eine Simplexiteration

- ☞ Dies ist noch kein Beweis für die polynomielle Laufzeit einer Simplexiteration (in der Theorie).

Warum? Kodierungslänge der Werte im Tableau!

## Aufwand für eine Iteration (2)

- **Kodierungslänge für ein LP:**  $\langle \mathbf{A} \rangle + \langle \mathbf{b} \rangle + \langle \mathbf{c} \rangle$
- Man kann zeigen, dass die Einträge im Simplextableau im Betrag durch

$$2^{\langle \mathbf{A} \rangle + \langle \mathbf{b} \rangle + \langle \mathbf{c} \rangle - 2n}$$

beschränkt bleiben.

- Ihre **Kodierungslänge bleibt also polynomiell** in der Kodierungslänge des LP.
- Einen Beweis hierfür findet man bei Borgwardt (siehe Literaturhinweise).

### Fakt 2.5

*Eine Iteration des Simplexalgorithmus hat polynomielle Laufzeit.*

# Klee–Minty-Polytop

## Definition 2.6

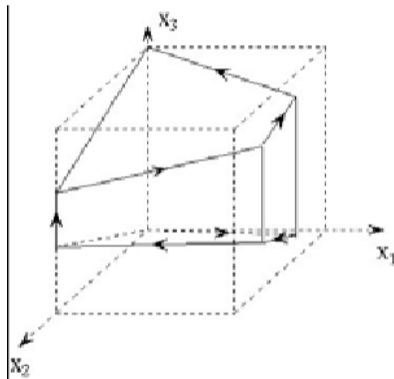
Das  $d$ -dimensionale Klee–Minty-Polytop ist durch folgendes Ungleichungssystem definiert:

$$\begin{array}{rccccccc}
 x_1 & & & & & & \leq & 5 \\
 4x_1 & + & & x_2 & & & \leq & 25 \\
 8x_1 & + & & 4x_2 & + & x_3 & \leq & 125 \\
 \vdots & & & \vdots & + & \vdots & \leq & \vdots \\
 2^d x_1 & + & 2^{d-1} x_2 & + & \cdots & 4x_{d-1} & + & x_d \leq & 5^d \\
 & & & & & x_1, x_2, \dots, x_d & \geq & 0
 \end{array}$$



## Bemerkungen zum Klee–Minty-Polytop

- Das Klee–Minty-Polytop ist ein **verzerrter Würfel**.
- Das Klee–Minty-Polytop hat genauso viele  $d$ -dimensionale Seiten und Ecken wie der  $d$ -dimensionale Würfel,
- also  **$2d$  viele  $d$ -dimensionale Seiten** und  **$2^d$  Ecken**.



# Nichtpolynomialität des Simplexalgorithmus (1)


## Fakt 2.7

Für die Zielfunktion

$$\max 2^{d-1}x_1 + 2^{d-2}x_2 + \cdots + 2x_{d-1} + x_d$$

durchläuft der Simplexalgorithmus mit der *Pivotregel von Dantzig* (negatives Element der Zielfunktionszeile mit größtem Betrag) alle  $2^d$  Ecken des  $d$ -dimensionalen Klee-Minty-Polytops.

## Beispiel 2.8

Wir zeigen Fakt 2.7 für  $d = 2$ . Tafel 

## Nichtpolynomialität des Simplexalgorithmus (2)

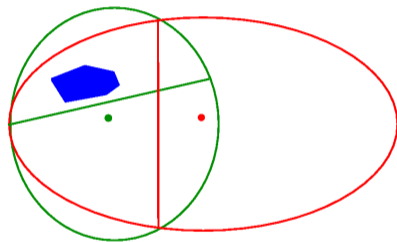
- Folgerung: Der Simplexalgorithmus (mit der Pivotregel von Dantzig) hat im Worst-Case **keine polynomielle Laufzeit**.
- Auch für alle anderen bekannten Pivot-Regeln gibt es analoge Resultate.
- Noch ungeklärt ist, ob es wirklich keine polynomielle Simplexvariante gibt.

### Average-Case:

- Probabilistische Analysen liefern, dass für den Erwartungswert der Anzahl an Pivotschritten  $O(m^{\frac{1}{n-1}} n^3)$  gilt (siehe Borgwardt).
- Andere Analysen kommen auf noch bessere Schranken.
- Damit hat der Simplexalgorithmus **im Mittel polynomielle Laufzeit**.

# Ellipsoidalalgorithmus

- Leonid Khachiyan (1979)
- **polynomieller Algorithmus** der entscheidet, ob ein Polyeder  $P = \{\mathbf{x} \in \mathbb{R}^n \mid \mathbf{Ax} \leq \mathbf{b}\}$  leer ist oder nicht
- Idee: man konstruiert immer kleiner werdende Ellipsoide, die das Polyeder umfassen
- Nach einer maximalen Iterationszahl muss das Zentrum des Ellipsoids im Polyeder liegen (wenn nicht leer).
- Die maximale Iterationszahl ist polynomiell in der Kodierungslänge von  $\mathbf{A}$  und  $\mathbf{b}$ .



# Äquivalenz zwischen Optimalität und Zulässigkeit

- Die Frage nach einer optimalen Lösung für ein LP ist genauso „schwierig“ wie die Frage nach einer Lösung für ein Ungleichungssystem.
- Das LP (P)  $\max \mathbf{c}^T \mathbf{x}$  u.d.N.  $\mathbf{Ax} \leq \mathbf{b}, \mathbf{x} \geq \mathbf{0}$  hat genau dann eine optimale Lösung, wenn das folgende Ungleichungssystem (D) eine Lösung hat.

$$\begin{aligned}\mathbf{Ax} &\leq \mathbf{b} \\ \mathbf{A}^T \mathbf{u} &\geq \mathbf{c} \\ \mathbf{c}^T \mathbf{x} &\geq \mathbf{b}^T \mathbf{u} \\ \mathbf{x} &\geq \mathbf{0}, \mathbf{u} \geq \mathbf{0}\end{aligned}$$

- Für jede Lösung  $(\tilde{\mathbf{x}}, \tilde{\mathbf{u}})$  von (D) ist  $\tilde{\mathbf{x}}$  eine optimale Lösung von (P).
- Begründung: [Dualitätssätze](#)

# Polynomialität der linearen Programmierung

## Folgerung 2.9

*Es existiert ein polynomieller Algorithmus für die lineare Programmierung.*

- Der Ellipsoidalgorithmus ist von **großer theoretischer Bedeutung**, für die Praxis aber zu ineffizient.
- Weitere polynomielle Alternativen sind **Innere-Punkte-Methoden**.
- Ausgehend von einem Punkt im Innern **folgt man dem Gradienten der Zielfunktion**.
- Probleme:
  - ▶ Schrittweite?
  - ▶ Am Rand führt die Richtung des Gradienten evtl. in die Unzulässigkeit.
- Hier keine weitere Betrachtung solcher Algorithmen.

# Entscheidungsprobleme

## Definition 2.10

Ein **Entscheidungsproblem** ist ein Problem, das nur zwei mögliche Lösungen (Ausgaben) besitzt, nämlich „ja“ oder „nein“.

## Beispiel 2.11

Die Fragen

- Enthält ein Graph  $G = (V, E)$  einen Kreis?
- Enthält ein Graph  $G = (V, E)$  einen hamiltonschen Kreis?
- Ist ein Graph  $G = (V, E)$  bipartit?
- Ist die Zahl  $n \in \mathbb{N}$  eine Primzahl?

sind Entscheidungsprobleme.

## Die Klasse $\mathcal{P}$

### Definition 2.12

Die Klasse aller Entscheidungsprobleme, für die ein polynomieller Lösungsalgorithmus existiert, wird mit  $\mathcal{P}$  bezeichnet.

### Bemerkungen:

- Wir müssten  $\mathcal{P}$  eigentlich abhängig von einem Kodierungsschema und einem Rechnermodell definieren.
- Wir beziehen die Definition daher auf das hier definierte Kodierungsschema und Rechenmodell.
- Das Entscheidungsproblem “Enthält ein Graph  $G = (V, E)$  einen Kreis?” gehört zur Klasse  $\mathcal{P}$ .



# Verifikation

- Wir wollen herausfinden, ob ein Graph  $G = (V, E)$  einen hamiltonschen Kreis enthält.
- Angenommen,  $G$  hat einen hamiltonschen Kreis, und ein **Orakel** nennt uns eine Knotenfolge  $K = (v_1, v_2, \dots, v_n, v_1)$  und behauptet, dies sei ein hamiltonscher Kreis.
- Dann können wir jetzt **prüfen, ob  $K$  tatsächlich ein Hamiltonkreis von  $G$  ist.**
- Dazu müssen wir testen, ob
  - ▶ jeder Knoten  $v$  in  $V$  genau einmal in  $K$  auftritt und
  - ▶  $\{v_i, v_{i+1}\} \in E$  für  $i = 1, \dots, n - 1$  und  $\{v_n, v_1\} \in E$  gilt.
- Dies ist offensichtlich in polynomieller Zeit möglich.
- Somit können wir die **Korrektheit der „ja“-Antwort polynomiell verifizieren.**

# Die Klasse $\mathcal{NP}$

## Definition 2.13

Ein Entscheidungsproblem  $\Pi$  gehört zur Klasse  $\mathcal{NP}$ , wenn es die folgenden Eigenschaften hat:

- 1 Für jede Probleminstance  $\mathcal{I} \in \Pi$ , für die die Lösung „ja“ lautet, gibt es mindestens ein Objekt  $Q$ , mit dessen Hilfe die Korrektheit der „ja“-Antwort überprüft werden kann.
- 2 Es gibt einen Algorithmus, der
  - ▶ Probleminstance  $\mathcal{I} \in \Pi$  und Zusatzobjekte  $Q$  liest und
  - ▶ der in einer Laufzeit, die polynomiell in  $\langle \mathcal{I} \rangle$  ist, überprüft, ob  $Q$  ein Objekt ist, aufgrund dessen Existenz eine „ja“-Antwort gegeben werden muss.

# Beispiele für Probleme in $\mathcal{NP}$

## Beispiel 2.14

- 1 Hat  $G = (V, E)$  einen Kreis?
- 2 Hat  $G = (V, E)$  einen hamiltonschen Kreis?
- 3 Ist  $n \in \mathbb{N}$  **keine** Primzahl?  
Hier liefert das Orakel ein Produkt zweier Zahlen  $\neq 1$ .
- 4 Gibt es für  $G = (V, E)$  eine Färbung mit  $k$  Farben?

## Bemerkungen zur Klasse $\mathcal{NP}$

- Definition 2.13 sagt nichts darüber aus, wie das Zusatzobjekt  $Q$  zu finden ist. Es wird lediglich postuliert, dass es existiert.
- Die Laufzeit des Algorithmus in Definition 2.13 (2) ist polynomiell in  $\mathcal{I}$ . Da der Algorithmus  $Q$  lesen muss, folgt, dass  $\langle Q \rangle$  polynomiell in  $\mathcal{I}$  sein muss.
- Die **Definition der Klasse  $\mathcal{NP}$  ist unsymmetrisch**: Die Definition impliziert nicht, dass wir auch für Probleminstanzen mit „nein“-Antworten Objekte  $Q$  und polynomielle Algorithmen mit den genannten Eigenschaften finden können.

# Nichtdeterministischer polynomieller Algorithmus

- $\mathcal{NP}$  ist abgeleitet von „nichtdeterministischer polynomieller Algorithmus“.
- Nichtdeterministische Algorithmen können eine Lösung raten (Orakel).
- Ablauf:
  - 1 Ein Lösungsvorschlag  $Q$  wird geraten.
  - 2 Gibt es keine Lösung: STOP!
  - 3 Der Lösungsvorschlag  $Q$  wird überprüft.
  - 4 Ist  $Q$  eine Lösung, dann antwortet der Algorithmus mit „ja“.
- Es gilt  $\mathcal{P} \subseteq \mathcal{NP}$ , denn für Probleme in  $\mathcal{P}$  existieren Algorithmen, die ohne Lösungsvorschlag  $Q$  in polynomieller Zeit eine Antwort liefern.

# Die Klasse $\text{co-}\mathcal{NP}$

## Definition 2.15

Die Klasse  $\text{co-}\mathcal{NP}$  besteht aus den Entscheidungsproblemen, die Negationen von Problemen  $\Pi \in \mathcal{NP}$  sind.

- Zu  $\text{co-}\mathcal{NP}$  gehören z. B.:
  - 1 Hat  $G = (V, E)$  keinen Kreis?
  - 2 Hat  $G = (V, E)$  keinen hamiltonschen Kreis?
  - 3 Ist  $n \in \mathbb{N}$  eine Primzahl?
- 1. und 3. sind auch  $\in \mathcal{NP}$ , sogar  $\in \mathcal{P}$ .
- Von 2. weiß man dies nicht.
- Es gilt  $\mathcal{P} \subseteq \text{co-}\mathcal{NP}$ .

$$\mathcal{P} = \mathcal{NP}?$$

- Eigentlich sollte man meinen, dass Algorithmen, die eine Lösung raten können, mächtiger sind als übliche Algorithmen.
- Trotzdem ist die Frage „ $\mathcal{P} = \mathcal{NP}$ ?“ immer noch ungelöst.
- Millennium-Problem, 1 Mio. US\$ Preisgeld
- **Vermutung:**  $\mathcal{P} \neq \mathcal{NP}$
- Könnte man dies bestätigen, können wir für viele praxisrelevante Probleme niemals effiziente Algorithmen finden (für große Probleminstanzen).

## Weitere offene Fragen

- Wir wissen:  $\mathcal{P} \subseteq \mathcal{NP} \cap \text{co-}\mathcal{NP}$
- Gilt  $\mathcal{P} = \mathcal{NP} \cap \text{co-}\mathcal{NP}$ ?
- Gilt  $\mathcal{NP} = \text{co-}\mathcal{NP}$ ?



## Polynomielle Transformation

- Wir wollen nun innerhalb der Klasse  $\mathcal{NP}$  eine Klasse von besonders schwierigen Problemen auszeichnen.

### Definition 2.16

Gegeben seien die Entscheidungsprobleme  $\Pi$  und  $\Pi'$ .

Eine **polynomielle Transformation** von  $\Pi$  in  $\Pi'$  ist ein polynomieller Algorithmus, der aus einer Probleminstance  $\mathcal{I} \in \Pi$  eine Probleminstance  $\mathcal{I}' \in \Pi'$  erzeugt, so dass folgendes gilt:

*Die Antwort für  $\mathcal{I}$  ist genau dann „ja“, wenn die Antwort für  $\mathcal{I}'$  „ja“ ist.*

Wir

sagen dann, dass  $\Pi$  **polynomiell transformierbar** in  $\Pi'$  ist und schreiben

$$\Pi \leq_p \Pi'.$$

# Konsequenz

Damit gilt Folgendes:

- Wenn  $\Pi$  polynomiell transformierbar in  $\Pi'$  ist und für  $\Pi'$  ein polynomieller Lösungsalgorithmus existiert,
- dann können wir auch  $\Pi$  in polynomieller Laufzeit lösen.
- Hierzu transformieren wir einfach eine Instanz  $\mathcal{I} \in \Pi$  in eine Instanz  $\mathcal{I}' \in \Pi'$  und wenden den Lösungsalgorithmus für  $\Pi'$  an.
- Sowohl die Transformation als auch der Lösungsalgorithmus für  $\Pi'$  sind polynomiell, somit auch die Kombination.

# $\mathcal{NP}$ -vollständig

## Definition 2.17

Ein Entscheidungsproblem  $\Pi$  heißt  **$\mathcal{NP}$ -vollständig**, wenn folgendes gilt:

- 1  $\Pi \in \mathcal{NP}$
- 2 Für alle Probleme  $\Pi' \in \mathcal{NP}$  gilt:  
 $\Pi'$  ist polynomiell transformierbar in  $\Pi$ .

Ein  $\mathcal{NP}$ -vollständiges Problem hat demnach die folgende Eigenschaft:

- Wenn  $\Pi$  in polynomieller Zeit gelöst werden kann, dann kann auch jedes andere Problem in  $\mathcal{NP}$  in polynomieller Zeit gelöst werden.
- $\Pi$  ist  $\mathcal{NP}$ -vollständig und  $\Pi \in \mathcal{P} \implies \mathcal{P} = \mathcal{NP}$ .

## Satz von Cook

- Konsequenz: Bezüglich polynomialer Lösbarkeit ist kein Problem schwieriger als ein  $\mathcal{NP}$ -vollständiges.
- Aber gibt es überhaupt  $\mathcal{NP}$ -vollständige Probleme? Ja!

### Definition 2.18

Das **Erfüllbarkeitsproblem der Aussagenlogik (SAT)** lautet:

- Gegeben ist eine aussagenlogische Formel  $\Phi$  in **konjunktiver Normalform (KNF)** mit Variablen  $x_1, \dots, x_n$ .
- Existiert eine Belegung der Variablen, so dass  $\Phi$  wahr wird?

### Satz 2.19 (Cook (1971))

*SAT ist  $\mathcal{NP}$ -vollständig.*

## Beweis für die $\mathcal{NP}$ -Vollständigkeit eines Problems

- Wie können wir beweisen, dass ein Entscheidungsproblem  $\Pi$   $\mathcal{NP}$ -vollständig ist?
- Hierfür die Definition der  $\mathcal{NP}$ -Vollständigkeit zu nutzen, ist sehr unhandlich.
- Der Satz von Cook ist überaus hilfreich.

### Folgerung 2.20

*Es sei  $\Pi$  ein Entscheidungsproblem. Dann ist  $\Pi$  genau dann  $\mathcal{NP}$ -vollständig, wenn gilt:*

- 1  $\Pi \in \mathcal{NP}$  und
- 2  $SAT \leq_p \Pi$ .

## 3-SAT ist $\mathcal{NP}$ -vollständig

### Definition 2.21

Das Problem **3-SAT** lautet:

- Existiert für eine aussagenlogische Formel  $\Phi$  in KNF und genau drei Literalen pro Klausel (3KNF) eine Belegung der Variablen, so dass  $\Phi$  wahr wird?

### Lemma 2.22

*3-SAT ist  $\mathcal{NP}$ -vollständig.*

### Beweis.

- 1 Wir müssen  $3\text{-SAT} \in \mathcal{NP}$  zeigen.
  - ▶ Für jede Instanz  $\mathcal{I} \in 3\text{-SAT}$  gilt  $\mathcal{I} \in \text{SAT}$ .
  - ▶ Ein nichtdeterministischer polynomieller Algorithmus für SAT **löst somit auch 3-SAT-Instanzen.**
  - ▶ Damit folgt  $3\text{-SAT} \in \mathcal{NP}$ .

## Fortsetzung Beweis.

② Wir müssen  $\text{SAT} \leq_p \text{3-SAT}$  zeigen.

- ▶ Wir zeigen nun, wie eine beliebige KNF-Formel  $\Phi$  in eine Formel  $\Psi$  mit genau drei Literalen pro Klausel umgewandelt werden kann (3KNF).
- ▶ Es sei  $C$  eine Klausel mit **nur einem Literal**, also  $C = x_i$  oder  $C = \neg x_i$ .

Dann führen wir **zwei neue Variablen**  $y_i, z_i$  ein und ersetzen  $C$  durch die Klauseln

$$C_1 = x_i \vee y_i \vee z_i, C_2 = x_i \vee y_i \vee \neg z_i, C_3 = x_i \vee \neg y_i \vee z_i, C_4 = x_i \vee \neg y_i \vee \neg z_i.$$

- ▶ Analog für  $C = \neg x_i$ .
- ▶ Es gilt  $C \Leftrightarrow C_1 \wedge C_2 \wedge C_3 \wedge C_4$ .
- ▶ Es sei  $C$  eine Klausel mit **zwei Literalen**, o.B.d.A.  $C = x_i \vee x_j$ .

Dann führen wir **eine neue Variable**  $y_{ij}$  ein und ersetzen  $C$  durch die Klauseln

$$C_1 = x_i \vee x_j \vee y_{ij}, \quad C_2 = x_i \vee x_j \vee \neg y_{ij}.$$

Es gilt  $C \Leftrightarrow C_1 \wedge C_2$ .

## Fortsetzung Beweis.

② Fortsetzung SAT  $\leq_p$  3-SAT.

- ▶ Es sei  $C$  eine Klausel von  $\Phi$  mit vier Literalen, z. B.

$$C = x_1 \vee \neg x_2 \vee \neg x_3 \vee x_4.$$

- ▶ Wir führen eine **neue Variable  $z$**  ein und **ersetzen  $C$  durch die beiden Klauseln**

$$C_1 = x_1 \vee \neg x_2 \vee z \quad \text{und} \quad C_2 = \neg x_3 \vee x_4 \vee \neg z.$$

- ▶ Es gilt:  $C \Leftrightarrow C_1 \wedge C_2$ .
- ▶ Diese Technik **funktioniert auch allgemein**, um eine Klausel mit  $k$  Literalen durch zwei Klauseln mit 3 und  $k - 1$  Literalen zu ersetzen.
- ▶ Sukzessive Anwendung liefert einen **polynomiellen Transformationsalgorithmus**.



## Transitivität der polynomiellen Transformierbarkeit

- Statt SAT können wir nun auch 3-SAT in Folgerung 2.20 verwenden.
- Das gilt natürlich nicht nur für 3-SAT, sondern jedes  $\mathcal{NP}$ -vollständige Problem.

### Folgerung 2.23

*Es sei  $\Pi$  ein Entscheidungsproblem. Dann ist  $\Pi$  genau dann  $\mathcal{NP}$ -vollständig, wenn gilt:*

- ①  $\Pi \in \mathcal{NP}$  und
- ② *es existiert ein  $\mathcal{NP}$ -vollständiges Problem  $\Pi'$  mit  $\Pi' \leq_p \Pi$ .*

## VC ist $\mathcal{NP}$ -vollständig

### Definition 2.24

Das **Knotenüberdeckungsproblem (vertex cover, VC)** lautet:

- Gegeben sei ein Graph  $G = (V, E)$  und eine natürliche Zahl  $k$ .
- Existiert eine Teilmenge  $U \subseteq V$  mit  $|U| \leq k$ , so dass jede Kante  $e \in E$  mit mindestens einem Knoten aus  $U$  inzident ist?

### Satz 2.25

*VC ist  $\mathcal{NP}$ -vollständig.*

### Beweis.

- 1 Für eine Teilmenge  $U \subseteq V$  können wir in polynomieller Zeit prüfen, ob die Knotenüberdeckungseigenschaft erfüllt ist.
- 2 Wir zeigen  $3\text{-SAT} \leq_p \text{VC}$ .

## Fortsetzung Beweis.

- Es sei  $\Phi = C_1 \wedge \dots \wedge C_m$  eine 3KNF Formel, die aus den Klauseln  $C_j$  und den Variablen  $x_1, \dots, x_n$  besteht.
- Wir müssen einen Graphen  $G = (V, E)$  und ein  $k \in \mathbb{N}$  konstruieren, so dass  $G$  genau dann eine Knotenüberdeckung der Größe  $\leq k$  hat, wenn  $\Phi$  erfüllbar ist.
- $G$  besteht aus drei Arten von Komponenten.
- Belegungskomponenten:
  - ▶ Für jede Variable  $x_i$  definieren wir die Komponente  $T_i = (V_i, E_i)$  mit  $V_i = \{x_i, \neg x_i\}$  und  $E_i = \{\{x_i, \neg x_i\}\}$ .
  - ▶ Jede Knotenüberdeckung enthält somit mindestens einen der beiden Knoten  $x_i$  und  $\neg x_i$ .

## Fortsetzung Beweis.

- **Testkomponenten:**

- ▶ Für jede Klausel  $C_i \in \Phi$  definieren wir eine Testkomponente  $S_j = (V'_j, E'_j)$ , die ein Dreieck bildet:

$$V'_j = \{a_1[j], a_2[j], a_3[j]\},$$

$$E'_j = \{\{a_1[j], a_2[j]\}, \{a_1[j], a_3[j]\}, \{a_2[j], a_3[j]\}\}.$$

- ▶ Jede Knotenüberdeckung enthält **mindestens zwei Knoten aus  $S_j$** .

- **Kommunikationskomponenten:**

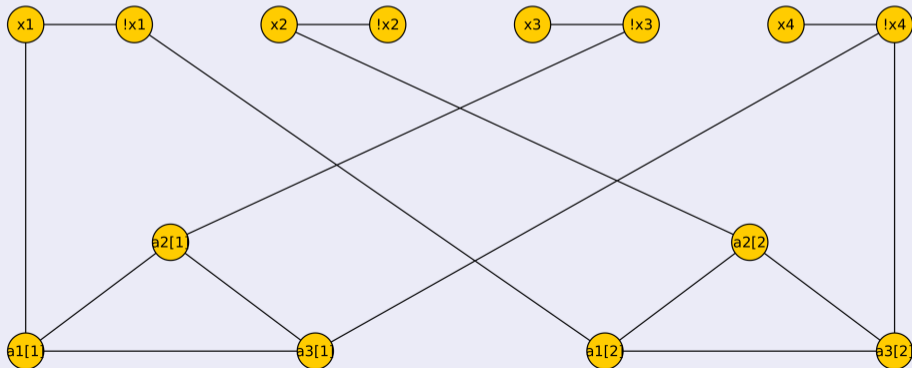
- ▶ verbinden die Belegungskomponenten mit den Testkomponenten
- ▶ Für eine Klausel  $C_j = u_j \vee v_j \vee w_j$ , wobei  $u_j, v_j, w_j$  Literale sind, setzen wir

$$E''_j = \{\{a_1[j], u_j\}, \{a_2[j], v_j\}, \{a_3[j], w_j\}\}.$$

- ▶ D. h. wir verbinden das  $i$ -te Literal einer Klausel mit dem  $i$ -ten Knoten der zugehörigen Testkomponente.

## Fortsetzung Beweis.

- Sei  $k = n + 2m$  und  $G = (V, E)$  mit
  - ▶  $V = (\bigcup_{i=1}^n V_i) \cup (\bigcup_{j=1}^m V'_j)$
  - ▶  $E = (\bigcup_{i=1}^n E_i) \cup (\bigcup_{j=1}^m E'_j) \cup (\bigcup_{j=1}^m E''_j)$ .
- **Beispiel** für  $\Phi = (x_1 \vee \neg x_3 \vee \neg x_4) \wedge (\neg x_1 \vee x_2 \vee \neg x_4)$ :



## Fortsetzung Beweis.

- „ $\Rightarrow$ “: Sei  $B : \{x_1, \dots, x_n\} \rightarrow \{\text{true}, \text{false}\}$  eine Belegung, die  $\Phi$  wahr macht.
- Die Knotenüberdeckung besteht dann aus:
  - ▶  $x_i$ , wenn  $B(x_i) = \text{true}$  und  $\neg x_i$ , wenn  $B(x_i) = \text{false}$ .
  - ▶ Damit sind dann alle **Kanten  $E_i$  aus den Belegungskomponenten** abgedeckt.
  - ▶ Außerdem ist **jeweils mindestens eine Kante aus den Mengen  $E_j''$  (Kommunikationskomponenten)** abgedeckt, denn  $\Phi$  erfüllt jede Klausel.
  - ▶ Um auch die jeweils beiden **anderen Kanten der Mengen  $E_j''$**  abzudecken, wählen wir die beiden entsprechenden Knoten aus  $V_j'$  (Testkomponente).
  - ▶ Damit sind dann **auch die Kanten  $E_j'$  aus den Testkomponenten** abgedeckt.
- Die Größe der Knotenüberdeckung ist  $n + 2m$ .

## Fortsetzung Beweis.

- „ $\Leftarrow$ “: Sei  $U \subseteq V$  eine Knotenüberdeckung von  $G$  mit  $|U| \leq n + 2m$ .
- siehe Bemerkungen bei Belegungs- und Testkomponenten: eine Knotenüberdeckung muss mindestens  $n + 2m$  Knoten umfassen.
- $\Rightarrow |U| = n + 2m$  und  $U$  enthält pro Belegungskomponente genau einen Knoten und pro Testkomponente genau zwei Knoten.
- Gilt  $x_i \in U$ , dann setzen wir  $B(x_i) = \text{true}$ , ansonsten  $B(x_i) = \text{false}$ .
- Von den drei Kanten in der  $j$ -ten Kommunikationskomponente können nur zwei durch  $V_j' \cap U$  abgedeckt werden.
- Also wird die dritte Kante durch einen Knoten aus einer Belegungskomponente abgedeckt.
- Die entsprechende Belegung macht damit die  $j$ -te Klausel wahr.
- Dies gilt für alle  $j$ . Also wird die Formel  $\Phi$  erfüllt.

# Hamiltonkreisproblem

## Definition 2.26

Das **Hamiltonkreisproblem (HC)** lautet:

- Gegeben ist ein Graph  $G = (V, E)$ .
- Enthält  $G$  einen hamiltonschen Kreis?

Das **gerichtete Hamiltonkreisproblem (DHC)** lautet:

- Gegeben ist ein gerichteter Graph  $G = (V, E)$ .
- Enthält  $G$  einen gerichteten hamiltonschen Kreis?

Das **(gerichtete) Hamiltonwegproblem (HP bzw. DHP)** lautet:

- Gegeben ist ein (gerichteter) Graph  $G = (V, E)$ .
- Enthält  $G$  einen (gerichteten) hamiltonschen Weg?



# DHC ist $\mathcal{NP}$ -vollständig

## Satz 2.27

*DHC ist  $\mathcal{NP}$ -vollständig.*

## Beweis

- 1 Für eine Knotenfolge  $(v_1, v_2, \dots, v_n, v_1)$  können wir in polynomieller Zeit prüfen, ob diese einen gerichteten Hamiltonkreis von  $G$  bildet.
- 2 Wir zeigen  $3\text{-SAT} \leq_p \text{DHC}$ .
  - ▶ Es sei  $\Phi = C_1 \wedge \dots \wedge C_m$  eine 3KNF-Formel, die aus den Klauseln  $C_i$  und den Variablen  $x_1, \dots, x_n$  besteht.
  - ▶ Wir konstruieren einen gerichteten Graphen  $G = (V, E)$ .
  - ▶ Wir definieren für jede Variable  $x_i$  einen Knoten.
  - ▶ Wir definieren für jede Klausel eine Komponente, die aus sechs Knoten besteht.
  - ▶ Also  $|V| = n + 6m$ .
  - ▶ Jeder Variablenknoten  $x_i$  hat genau zwei ausgehende und zwei eingehende Kanten.

## Fortsetzung Beweis.

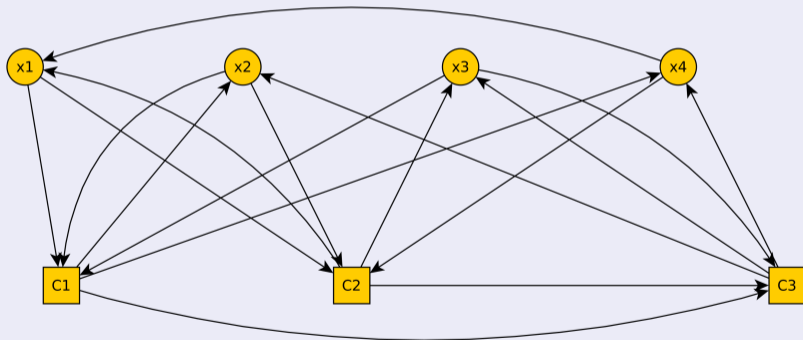
② Fortsetzung 3-SAT  $\leq_p$  DHC.

- ▶ Jede **Klauselkomponente** hat **genau drei eingehende und drei ausgehende Kanten**.
- ▶ Die beiden **ausgehenden Kanten** aus einem Variablenknoten **repräsentieren die Literale  $x_i$  und  $\neg x_i$** .
- ▶ Die erste ausgehende Kante aus dem Knoten  $x_i$  ist  $l$ -te eingehende Kante der  $j$ -ten Klauselkomponente, wenn die  $j$ -te Klauselkomponente die erste ist, in der  $x_i$  auftritt, wobei  $x_i$  das  $l$ -te Literal in dieser Klausel ist.
- ▶ Die  $l$ -te ausgehende Kante der  $j$ -ten Klauselkomponente ist dann die  $l'$ -te eingehende Kante in die  $j'$ -te Klauselkomponente, wenn die  $j'$ -te Klausel die zweite ist, in der  $x_i$  auftritt, wobei  $x_i$  das  $l'$ -te Literal in dieser Klausel ist, usw.
- ▶ Wenn es kein weiteres Vorkommen von  $x_i$  gibt, dann ist die aus der Klauselkomponente ausgehende Kante die erste in den Variablenknoten  $x_{i+1}$  eingehende Kante, bzw. in den Variablenknoten  $x_1$  für  $i = n$ .
- ▶ Die zweite aus einem Variablenknoten ausgehende Kante hat die gleiche Funktion für das negative Literal  $\neg x_i$ .

## Fortsetzung Beweis.

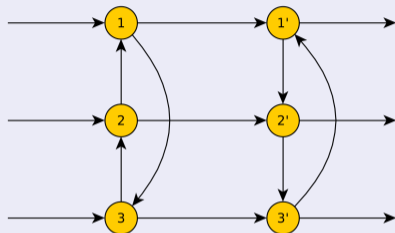
Beispiel für die Formel


$$\Phi = (x_1 \vee \neg x_2 \vee x_3) \wedge (\neg x_1 \vee x_2 \vee \neg x_4) \wedge (\neg x_1 \vee \neg x_2 \vee \neg x_3).$$



## Fortsetzung Beweis.

Konstruktion der Klauselkomponenten:



- Wir können die **Klauselkomponenten ein-, zwei- oder dreimal durchlaufen**, abhängig davon, wie viele Literale in der Klausel wahr sind.
- Wenn wir die Komponente **am Knoten  $i$  betreten, verlassen wir sie am Knoten  $i'$** .
- Alle anderen Möglichkeiten führen nicht zu einem Hamiltonkreis.
- Diskussion der Möglichkeiten, Tafel 

## Fortsetzung Beweis.

- “ $\Rightarrow$ ”: Sei  $B : \{x_1, \dots, x_n\} \rightarrow \{\text{true}, \text{false}\}$  eine Belegung, die  $\Phi$  wahr macht.
- Dann **starten wir den Hamiltonkreis am Variablenknoten  $x_1$  und**
- **beginnen mit der Kante, die der Variablenbelegung entspricht.**
- Die erreichten **Klauselkomponenten werden so durchlaufen wie diskutiert,**
- wobei wir **berücksichtigen, wie viele Literale pro Klausel wahr sind.**
- Wir erreichen Variablenknoten  $x_2$  und fahren entsprechend fort.
- Damit konstruieren wir einen gerichteten Hamiltonkreis.

## Fortsetzung Beweis.

- “ $\Leftarrow$ ”: Sei ein Hamiltonkreis gegeben.
- Wir durchlaufen ihn beginnend beim Knoten  $x_1$ .
- **Abhängig von der Kante, welche der Hamiltonkreis wählt, belegen wir  $x_1$ .**
- Dann durchlaufen wir die erste Klauselkomponente, die das erfüllt  $x_1$ -Literal enthält.
- Gemäß unseren Überlegungen wird die Komponente so verlassen, dass wir die zweite Klauselkomponente erreichen, usw.,
- bis wir den Variablenknoten  $x_2$  erreichen.
- Auf diese Weise konstruieren wir eine Belegung der Variablen.
- Wir haben nur Klauselkomponenten durchlaufen, die erfüllte Literale enthalten.
- **Da wir einen Hamiltonkreis haben, sind wir durch alle Klauselkomponenten gelaufen**, es sind also alle erfüllt.

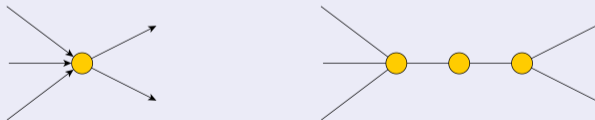
# HC ist $\mathcal{NP}$ -vollständig

## Satz 2.28

*HC ist  $\mathcal{NP}$ -vollständig.*

### Beweis.

- ① Für eine Knotenfolge  $(v_1, v_2, \dots, v_n, v_1)$  können wir in polynomieller Zeit prüfen, ob diese einen Hamiltonkreis von  $G$  bildet.
- ② Wir zeigen  $DHC \leq_p HC$ .
  - ▶ Hierzu führen wir die folgende **Ersetzung für jeden Knoten** durch:



- ▶ “ $\Rightarrow$ ”: offensichtlich
- ▶ “ $\Leftarrow$ ”: Für einen Hamiltonkreis im ungerichteten Graphen **legen wir auf Basis des gerichteten Graphen eine Richtung fest.**

# Traveling-Salesman-Problem

## Definition 2.29

Das **Traveling-Salesman-Problem (TSP)** lautet:

- Gegeben sei ein vollständiger Graph  $G = (V, E)$ , eine Funktion  $c : E \rightarrow \mathbb{N}_0$  und ein  $k \in \mathbb{N}_0$ .
- Enthält  $G$  einen Hamiltonkreis mit einer Länge  $\leq k$ ?

## Folgerung 2.30

*TSP ist  $\mathcal{NP}$ -vollständig.*

## Beweis

Übungsaufgabe.



# Summenproblem

## Definition 2.31

Das **Summenproblem (SUM)** lautet:

- Gegeben ist eine Menge  $A = \{a_1, a_2, \dots, a_n\} \subseteq \mathbb{N}_0$  und eine Zahl  $S \in \mathbb{N}_0$ .
- Existiert eine Teilmenge  $B \subseteq A$  mit  $\sum_{b \in B} b = S$ ?

## Lemma 2.32

*SUM ist  $\mathcal{NP}$ -vollständig.*

## Beweis.

- 1 Für eine Menge  $B = \{b_1, \dots, b_k\} \subseteq A$  können wir in polynomieller Zeit prüfen, ob  $\sum_{i=1}^k b_i = S$  gilt.
- 2 Wir zeigen  $3\text{-SAT} \leq_p \text{SUM}$ .

## Fortsetzung Beweis.

- Es sei  $\Phi = C_1 \wedge \dots \wedge C_m$  eine 3KNF-Formel, die aus den Klauseln  $C_j$  und den Variablen  $x_1, \dots, x_n$  besteht.
- Sei  $S = \underbrace{44 \dots 4}_{m \text{ Ziffern}} \underbrace{11 \dots 1}_{n \text{ Ziffern}}$ .
- Die Menge  $A$  umfasst  $2m + 2n$  viele Zahlen  $a_i, b_i, c_j, d_j$  mit  $1 \leq i \leq n$  und  $1 \leq j \leq m$ .
- Alle Zahlen haben wie  $S$  auch  $m + n$  viele Ziffern.
- Die Zahl  $a_i$  repräsentiert das positive Literal  $x_i$ .
  - ▶  $a_i$  hat genau dann im linken Block bei der  $j$ -ten Ziffern eine 1, wenn  $x_i$  in der  $j$ -ten Klausel auftritt, sonst eine 0.
  - ▶ Im rechten Block hat  $a_i$  genau an Position  $i$  eine 1, sonst 0en.
- Die Zahl  $b_i$  ist analog aufgebaut für das Literal  $\neg x_i$ .
- Die Zahl  $c_j$  hat im linken Block an der  $j$ -ten Stelle eine 1, sonst überall 0en.
- Die Zahl  $d_j$  hat im linken Block an der  $j$ -ten Stelle eine 2, sonst überall 0en.

## Fortsetzung Beweis.

- Beispiel:  $\Phi = (x_1 \vee \neg x_2 \vee x_3) \wedge (\neg x_1 \vee x_2 \vee \neg x_4) \wedge (\neg x_1 \vee \neg x_2 \vee \neg x_3)$ , also  $m = 3, n = 4$ .

$$\begin{array}{r}
 S = 444\ 1111 \\
 \hline
 a_1 = 100\ 1000 \quad b_1 = 011\ 1000 \\
 a_2 = 010\ 0100 \quad b_2 = 101\ 0100 \\
 a_3 = 100\ 0010 \quad b_3 = 001\ 0010 \\
 a_4 = 000\ 0001 \quad b_4 = 010\ 0001 \\
 \hline
 c_1 = 100\ 0000 \quad d_1 = 200\ 0000 \\
 c_2 = 010\ 0000 \quad d_2 = 020\ 0000 \\
 c_3 = 001\ 0000 \quad d_3 = 002\ 0000
 \end{array}$$

## Fortsetzung Beweis.

- “ $\Rightarrow$ ”: Sei eine Belegung gegeben, die  $\Phi$  wahr macht.
- Durch Summenbildung entstehen keine Überträge!
- Dann wählen wir für jedes  $1 \leq i \leq n$  von den Zahlen  $a_i$  und  $b_i$  genau eine aus, abhängig von der Belegung für  $x_i$ .
- Damit entsteht in der Summe an allen  $n$  Stellen des rechten Blocks eine 1.
- Da die Belegung alle Klauseln erfüllt, haben wir in der Summe an jeder Stelle  $j$  des linken Blocks eine 1, 2 oder 3 (abhängig davon, wie viele Literale die  $j$ -te Klausel erfüllen).
- Damit können wir für jedes  $j$  aus den Zahlen  $c_j$  und  $d_j$  so auswählen, dass wir in der Summe auf eine 4 kommen.

## Fortsetzung Beweis.

- “ $\Leftarrow$ ”: Es gebe eine Teilmenge  $B \subseteq \{a_1, \dots, a_n, b_1, \dots, b_n, c_1, \dots, c_m, d_1, \dots, d_m\}$  deren Summe gleich  $S$  ist.
- Dann muss für jedes  $i$  genau eine der beiden Zahlen  $a_i$  oder  $b_i$  in  $B$  enthalten sein (um auf eine 1 an der  $i$ -ten Stelle zu kommen).
- Je nachdem welche der beiden Zahlen enthalten ist, belegen wir  $x_i$ .
- Da  $c_j$  und  $d_j$  in der Summe an der  $j$ -ten Stelle eine 3 ergeben, muss für jedes  $j$  mindestens eine Zahl enthalten sein, die an der  $j$ -ten Stelle im linken Block eine 1 hat.
- Damit erfüllt die obige Belegung die  $j$ -te Klausel.
- Dies gilt für alle  $1 \leq j \leq m$ , womit die Formel  $\Phi$  erfüllt ist.

# Rucksackproblem

## Definition 2.33

Das **Rucksackproblem (KP)** lautet:

- Gegeben sind Zahlen  $w_1, \dots, w_n \in \mathbb{N}$  und  $p_1, \dots, p_n \in \mathbb{N}$  sowie Zahlen  $W, P \in \mathbb{N}$ .
- Existiert eine Teilmenge  $I \subseteq \{1, \dots, n\}$  für die gilt  $\sum_{i \in I} w_i \leq W$  und  $\sum_{i \in I} p_i \geq P$ ?

## Satz 2.34

*KP ist  $\mathcal{NP}$ -vollständig.*

## Beweis.

- 1 Offensichtlich.
- 2 Mit  $w_i = p_i = a_i$  und  $P = W = S$  ergibt sich **SUM  $\leq_p$  KP**.

# Beweistechniken für $\mathcal{NP}$ -Vollständigkeit

Wir wollen zeigen, dass ein Problem  $\Pi$   $\mathcal{NP}$ -vollständig ist.

## ① Restriktion

Wir zeigen, dass  $\Pi$  ein  $\mathcal{NP}$ -vollständiges Problem  $\Pi'$  als Spezialfall enthält.

## ② Lokale Ersetzung

Wir ersetzen einen bestimmten Aspekt eines  $\mathcal{NP}$ -vollständigen Problems  $\Pi'$ , um damit  $\Pi$  zu modellieren.

## ③ Komponentenentwurf

Wir konstruieren Komponenten für  $\Pi$ , um damit ein  $\mathcal{NP}$ -vollständiges Problem  $\Pi'$  lösen zu können.

# Restriktion

- Der Beweis für KP ist Restriktion.
- KP mit  $p_i = w_i$  und  $P = W$  ist SUM.

## Beispiel 2.35

Problem **Isomorphie von Untergraphen (subgraph isomorphism)**:

- Gegeben seien zwei Graphen  $G = (V_1, E_1)$  und  $H = (V_2, E_2)$ .
- Enthält  $G$  einen Untergraphen, der isomorph zu  $H$  ist?

Dieses Problem enthält CLIQUE als Spezialfall.

Hierzu wählt man für  $H$  einen vollständigen Graphen mit  $k$  Knoten.

Subgraph Isomorphism für einen vollständigen Graphen  $H$  ist CLIQUE.



# Lokale Ersetzung

Wir ersetzen einen bestimmten Aspekt eines  $\mathcal{NP}$ -vollständigen Problems  $\Pi'$ , um damit  $\Pi$  zu modellieren.

## Beispiele:

- $\text{SAT} \leq_p \text{3-SAT}$

Wir haben beliebige Klauseln durch Klauseln mit genau drei Literalen ersetzt.

- $\text{DHC} \leq_p \text{HC}$

Wir haben einzelne Knoten durch Knotentripel ersetzt.

# Komponentenentwurf

## Beispiele:

- Knotenüberdeckung (VC)  
 $3\text{-SAT} \leq \text{VC}$
- gerichtetes Hamiltonkreisproblem (DHC)  
 $3\text{-SAT} \leq \text{DHC}$
- Summenproblem (SUM)  
 $3\text{-SAT} \leq \text{SUM}$

## Optimierungsprobleme und $\mathcal{NP}$ (1)

Die Definitionen 2.29 und 2.33 zeigen beispielhaft, wie wir aus einem Optimierungsproblem ein Entscheidungsproblem machen können.

- Ist  $\Pi$  ein Maximierungsproblem (Minimierungsproblem), so legen wir zusätzlich zu jeder Instanz  $\mathcal{I} \in \Pi$  noch eine Schranke  $B$  fest und fragen:
  - ▶ Gibt es für  $\mathcal{I}$  eine Lösung, deren Wert nicht kleiner (nicht größer) als  $B$  ist?

### Definition 2.36

Wir nennen ein Optimierungsproblem  $\mathcal{NP}$ -schwer, wenn das zugeordnete Entscheidungsproblem  $\mathcal{NP}$ -vollständig ist.

## Optimierungsprobleme und $\mathcal{NP}$ (2)

- Alle  $\mathcal{NP}$ -schweren Optimierungsprobleme sind mindestens so schwierig wie die  $\mathcal{NP}$ -vollständigen Probleme.
- **Begründung:** Könnten wir ein  $\mathcal{NP}$ -schweres Optimierungsproblem in polynomieller Zeit lösen, dann könnten wir auch das zugehörige Entscheidungsproblem in polynomieller Zeit lösen.
  - ▶ Wir berechnen den Wert  $w$  einer Optimallösung und vergleichen ihn mit  $B$ .
  - ▶ Ist bei einem Maximierungsproblem  $w \geq B$ , so antworten wir „ja“, ansonsten „nein“.

## Optimierungsprobleme und $\mathcal{NP}$ (3)

- Häufig kann man Entscheidungsprobleme dazu benutzen, um Optimierungsprobleme zu lösen.
- Wir betrachten als Beispiel das TSP-Entscheidungsproblem mit  $n$  Städten.
- Ist  $s$  die kleinste vorkommende Entfernung, so ziehen wir von allen Entfernungen  $s$  ab.
- Damit hat dann die kürzeste Entfernung den Wert 0.
- Ist  $t$  die größte der (modifizierten Entfernungen), so folgt, dass keine Tour länger als  $n \cdot t$  ist.
- Wir fragen nun den Algorithmus zur Lösung des TSP-Entscheidungsproblems, ob es eine Rundreise gibt, deren Länge nicht größer als  $\frac{nt}{2}$  ist.
- Ist das so, fragen wir, ob es eine Rundreise gibt, deren Länge höchstens  $\frac{nt}{4}$  ist, andernfalls fragen wir, ob es eine Rundreise gibt mit Länge höchstens  $\frac{3nt}{4}$ .

- Wir fahren auf diese Weise fort, bis wir das Intervall für die Tourlänge einer optimalen Lösung auf eine einzelne mögliche Zahl reduziert haben.
- Diese Zahl ist dann die Länge einer kürzesten Rundreise.
- Insgesamt müssen wir zur Lösung des Optimierungsproblems das TSP-Entscheidungsproblem ( $\lceil \log_2(nt) \rceil + 1$ )-mal aufrufen.
- binäre Suche

# $\mathcal{NP}$ -Äquivalenz

## Definition 2.37

Ein Optimierungsproblem  $\Pi$  heißt  **$\mathcal{NP}$ -leicht**, wenn ein Entscheidungsproblem  $\Pi' \in \mathcal{NP}$  existiert, so dass  $\Pi$  durch polynomial viele Aufrufe eines Algorithmus zur Lösung von  $\Pi'$  gelöst werden kann.

Ein Optimierungsproblem  $\Pi$  heißt  **$\mathcal{NP}$ -äquivalent**, wenn  $\Pi$  sowohl  $\mathcal{NP}$ -leicht als auch  $\mathcal{NP}$ -schwer ist.

- $\mathcal{NP}$ -leichte Probleme sind also nicht schwerer als die Probleme in  $\mathcal{NP}$ .
- Ein  $\mathcal{NP}$ -äquivalentes Problem ist genau dann in polynomialer Zeit lösbar, wenn  $\mathcal{P} = \mathcal{NP}$  gilt.

# Kombinatorische Optimierung

- Wir könnten ein allgemeines **kombinatorisches Optimierungsproblem** wie folgt definieren:
  - ▶ Gegeben seien eine endliche Menge  $\mathcal{I}$  und eine Funktion  $f : \mathcal{I} \rightarrow \mathbb{R}$ , die jedem Element von  $\mathcal{I}$  einen Wert zuordnet.
  - ▶ Gesucht als **Lösung** ist ein Element  $I^* \in \mathcal{I}$ , so dass  $f(I^*)$  möglichst groß (oder klein) ist.
- Eine Problemformulierung dieser Art ist aber relativ **sinnlos**, denn es können kaum vernünftige mathematische Aussagen über das Problem getroffen werden.
- Algorithmisch ist dieses Problem trivial in linearer Laufzeit (in  $\mathcal{I}$ ) lösbar: man durchlaufe alle Elemente  $I \in \mathcal{I}$  und werte sie aus.



- In der Regel betrachten wir **kombinatorische Optimierungsprobleme mit linearer Zielfunktion**.
  - ▶ Gegeben sei eine endliche **Grundmenge**  $E$ , eine Menge  $\mathcal{I} \subseteq \mathcal{P}(E)$  von **zulässigen Lösungen** und eine Funktion  $c : E \rightarrow \mathbb{R}$ .
  - ▶ Für jede Menge  $F \subseteq E$  definieren wir ihren **Wert**

$$c(F) = \sum_{e \in F} c(e).$$

- ▶ Wir suchen eine Menge  $I^* \in \mathcal{I}$ , so dass  $c(I^*)$  minimal (oder maximal) wird.
- Die Menge  $\mathcal{I}$  der zulässigen Lösungen wird dabei üblicherweise implizit angegeben.

$$\mathcal{I} = \{I \subseteq E \mid I \text{ hat Eigenschaft } \Pi\}$$

- Typischerweise wächst die Anzahl der Elemente von  $\mathcal{I}$  dabei exponentiell in der Größe von  $E$ .

# Gewichtetes VC als kombinatorisches Optimierungsproblem

## Beispiel 2.38

- Gegeben sei ein Graph  $G = (V, E)$  und eine Kostenfunktion  $c : V \rightarrow \mathbb{R}$ , die jedem Knoten  $v \in V$  ein Gewicht zuordnet.
- Dann lautet die Menge  $\mathcal{I}$  der zulässigen Lösungen:

$$\mathcal{I} = \{U \subseteq V \mid \forall e = \{v, w\} \in E : v \in U \vee w \in U\}.$$

- Zielfunktion für ein  $I \in \mathcal{I}$ :

$$\sum_{v \in I} c(v).$$

## Binary Programming

In den meisten Fällen, die wir betrachten, können wir  $\mathcal{I}$  durch eine Menge von  $m$  linearen Gleichungen oder Ungleichungen ausdrücken.

### Definition 2.39

Ein Optimierungsproblem mit

- $n$  Variablen  $x_1, \dots, x_n$ ,
- Zielfunktion  $\sum_{j=1}^n c_j x_j$
- Nebenbedingungen  $\sum_{j=1}^n a_{ij} x_j \theta b_i$  mit  $\theta \in \{\leq, \geq, =\}$  und  $i = 1, \dots, m$
- und  $x_j \in \{0, 1\}$ .

heißt **0-1-Optimierungsproblem (BP)**.

- engl.: **binary programming** oder **0-1-programming**
- Typischerweise sind dabei  $c_j, a_{ij}, b_j$  ganzzahlig.
- kurz:  $\min/\max \mathbf{c}^T \mathbf{x}$  u.d.N.  $\mathbf{Ax} \leq \mathbf{b}, \mathbf{x} \in \{0, 1\}^n$ .

# Gewichtetes VC als 0-1-Programm

## Beispiel 2.40

Das Problem aus Beispiel 2.38 können wir wie folgt definieren:

- Sei  $V = \{v_1, \dots, v_n\}$ . Für jeden Knoten  $v_i \in V$  definieren wir eine Variable  $x_i \in \{0, 1\}$ .
- $c_j := c(v_j)$
- Zielfunktion:

$$\min \sum_{j=1}^n c_j x_j$$

- Nebenbedingungen: Für jede Kante  $e = \{v_i, v_j\} \in E$  entsteht die Ungleichung

$$x_i + x_j \geq 1.$$

## BP ist $\mathcal{NP}$ -äquivalent

### Folgerung 2.41

*BP ist  $\mathcal{NP}$ -äquivalent.*

### Beweis.

- VC ist  $\mathcal{NP}$ -vollständig.
- Beispiel 2.40 zeigt, wie VC polynomiell in BP transformiert werden kann (setze  $c_j = 1$ ).
- Für die Entscheidungsvariante von BP kann in polynomieller Zeit geprüft werden, ob ein Lösungsvorschlag  $\mathbf{x} \in \{0, 1\}^n$  die Bedingungen
  - ▶  $\mathbf{Ax} \leq \mathbf{b}$  und
  - ▶  $\mathbf{c}^T \mathbf{x} \leq k$  oder  $\geq k$  erfüllt.

### Folgerung 2.42

*ILP (siehe Lineare Optimierung, Definition 1.8) ist  $\mathcal{NP}$ -äquivalent.*

# SAT und BP

## Beispiel 2.43

Gegeben sei eine aussagenlogische Formel  $\Phi = C_1 \wedge \dots \wedge C_m$  in KNF.

Dann können wir die **Frage, ob  $\Phi$  erfüllbar ist, mit einem 0-1-Programm entscheiden.**

- Wir führen für jede aussagenlogische Variable eine algebraische Variable  $x_i \in \{0, 1\}$  ein.
- Aus jeder **Klausel** machen wir folgendermaßen eine **Ungleichung**:
  - ▶ **positives Literal** wird algebraisch zu  $x_i$
  - ▶ **negatives Literal** wird algebraisch zu  $(1 - x_i)$
  - ▶ Wir bilden die Summe dieser Terme.
  - ▶ **Ungleichung**: immer  $\geq 1$
- Beispiel: Aus  $x_1 \vee \neg x_2 \vee \neg x_3$  wird

$$x_1 + (1 - x_2) + (1 - x_3) \geq 1 \quad \Leftrightarrow \quad -x_1 + x_2 + x_3 \leq 1.$$

## Worum geht's?

### Eine Analogie von Vašek Chvátal

“In den kommunistischen Ländern des Ostblocks in den 60'er und 70'er Jahren war es möglich, **intelligent**, **ehrenhaft** und ein **Mitglied der kommunistischen Partei** zu sein, aber es war **nicht möglich**, alle drei Eigenschaften **gleichzeitig** zu verkörpern.”

- tschechisch-kanadischer Mathematiker
- arbeitet vor allem auf den Gebieten lineare und ganzzahlige Programmierung, Graphentheorie und Kombinatorik



# Algorithmischer Wunschzettel

Für die Problemlösung wünschen wir uns Algorithmen, die

- ① optimale Lösungen berechnen,
- ② für jede mögliche Instanz und
- ③ in polynomieller Zeit.

Für  $\mathcal{NP}$ -schwere Probleme können wir dies nicht:

- aktuell nicht, weil niemand solch einen Algorithmus kennt,
- prinzipiell nicht, falls  $\mathcal{P} \neq \mathcal{NP}$  gilt.



# Was tun?

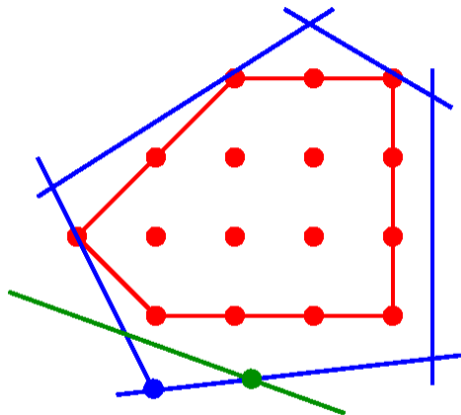
- Wir **verzichten auf die polynomielle Zeit** im Worst-Case.
  - ▶ klassische kombinatorische Optimierung bzw. ganzzahlige Programmierung.
  - ▶ Ziel: Für möglichst große Probleme in akzeptabler Rechenzeit eine optimale Lösung finden.
  - 👉 Kapitel 3 bis 5
- Wir betrachten **nicht alle Instanzen**.
  - ▶ Wir versuchen Spezialfälle zu finden, die in polynomieller Zeit optimal gelöst werden können.
  - ▶ problem- statt methodenorientiert, theoretisch interessant, in der Praxis wenig brauchbar
  - 👉 Diesen Ansatz verfolgen wir nicht weiter.
- Wir **verzichten auf die Optimalität**.
  - ▶ Es genügt uns, wenn eine Lösung **fast optimal** ist.
  - ▶ Verwendung von Heuristiken
  - ▶ Wir versuchen auch **Aussagen über die Güte einer Lösung** herzuleiten.
  - 👉 Kapitel 6 und 7

# Zusammenfassung

- Simplexalgorithmus ist im **Worst-Case nicht polynomiell**, aber im Average-Case.
- Mit dem **Ellipsoidalgorithmus** existiert ein polynomieller Algorithmus für die lineare Programmierung.
- **Klasse  $\mathcal{NP}$** : Polynomiell Lösungsvorschläge überprüfen können.
- **polynomielle Transformation**
- Kern für den Beweis der  $\mathcal{NP}$ -Vollständigkeit von  $\Pi$ : Ein  $\mathcal{NP}$ -vollständiges  $\Pi'$  polynomiell in  $\Pi$  transformieren.
- BP und ILP sind  $\mathcal{NP}$ -vollständig.

## Kapitel 3

## Schnittebenenverfahren



# Inhalt

## 3 Schnittebenenverfahren

- Ganzzahlige lineare Programmierung
- Schnittebenenverfahren
- Konstruktion von Schnittebenen
- Auswahlkriterium für Schnittrestriktionen
- Schnittebenenverfahren mit Separation

# Ganzzahliges lineares Programm

## Definition 3.1

Ein lineares Programm mit zusätzlichen Bedingungen  $x_i \in \mathbb{Z}$  für alle Variablen  $x_i$  heißt **ganzzahliges lineares Programm (integer linear program, ILP)**.

Gilt  $x_i \in \mathbb{Z}$  nicht für alle sondern nur für einige der Variablen, so spricht man von einem **gemischt-ganzzahligen linearen Programm (mixed integer program, MIP)**.

Das lineare Programm, das entsteht, wenn wir in einem ILP bzw. MIP die Bedingungen für die Ganzzahligkeit weglassen, heißt **LP-Relaxation**.

# Beispiele

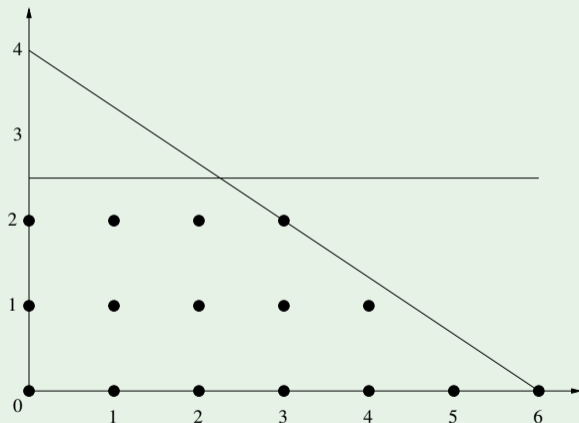
## Beispiel 3.2

Wir betrachten das ILP

$$\max x_1 + 2x_2$$

unter den Neben- und Vorzeichenbedingungen

$$\begin{aligned} 2x_2 &\leq 5 \\ 2x_1 + 3x_2 &\leq 12 \\ x_1, x_2 &\geq 0 \\ x_1, x_2 &\in \mathbb{Z} \end{aligned}$$



## Fortsetzung Beispiel.

Die LP-Relaxation hat die optimale Lösung

$$\mathbf{x}' = \left(\frac{9}{4}, \frac{5}{2}\right)$$

mit einem Zielfunktionswert  $z' = \frac{29}{4}$ .

Das ILP hat dagegen als optimale Lösung

$$\mathbf{x} = (3, 2)$$

mit Zielfunktionswert  $z = 7$ .

Man beachte: Die ganzzahlige Lösung, die  $\mathbf{x}'$  am nächsten liegt, ist nicht optimal.

### Beispiel 3.3

Für das ILP

$$\max x_1 + 2x_2$$

unter den Neben- und Vorzeichenbedingungen

$$\begin{aligned}x_2 &\leq 3 \\2x_1 + 3x_2 &\leq 12 \\x_1, x_2 &\geq 0 \\x_1, x_2 &\in \mathbb{Z}\end{aligned}$$

hat die LP-Relaxation die **eindeutige optimale Lösung**  $\mathbf{x}' = (\frac{3}{2}, 3)$ .

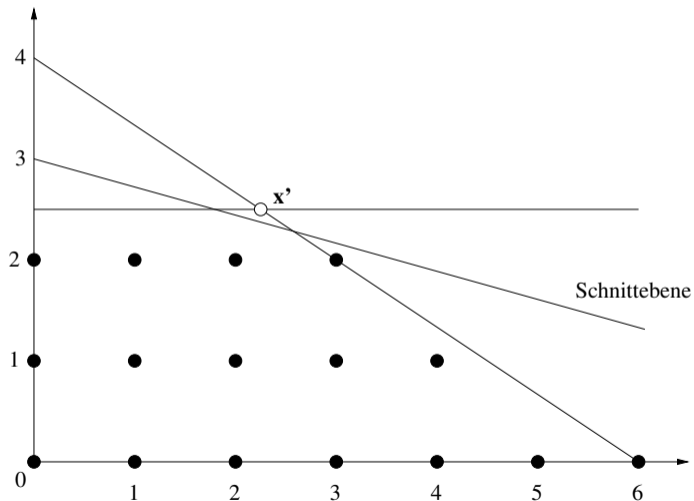
Das ILP hat dagegen **zwei unterschiedliche optimale Lösungen**:  $\mathbf{x} = (3, 2)$  und  $\mathbf{x} = (1, 3)$ .



# Grundidee von Schnittebenenverfahren

- 1 Bestimme die optimale Lösung  $\mathbf{x}'$  der LP-Relaxation.
  - 2 Gilt  $\mathbf{x}' \in \mathbb{Z}^n$ , dann ist  $\mathbf{x} := \mathbf{x}'$  eine optimale Lösung des ILP.
  - 3 Ansonsten finde eine lineare Nebenbedingung (**Schnittrestriktion**), die
    - ▶ von allen zulässigen Lösungen des ILP erfüllt wird aber
    - ▶ von  $\mathbf{x}'$  nicht erfüllt wird.
  - 4 Füge diese Nebenbedingung dem ILP hinzu und gehe zu Schritt 1.
- ☞  $\mathbf{x}'$  wird aus dem Zulässigkeitsbereich der LP-Relaxation geschnitten.

# Veranschaulichung



# Begriffe

Schnittebenenverfahren werden auch als **Cutting-Plane-Verfahren** bezeichnet.

Die zur Schnittrestriktion gehörende Ebene ist die **Schnittebene** bzw. **Cutting-Plane**.

Das Verfahren wurde 1958 von dem amerikanischen Informatiker **Ralph E. Gomory** veröffentlicht.

Deshalb werden die Schnittrestriktionen auch als **Gomory-Cuts** bezeichnet, bzw. das Verfahren als **Verfahren von Gomory**.

## Voraussetzungen

Gegeben sei ein Maximumproblem mit **folgenden zusätzlichen Einschränkungen**:

- der Begrenzungsvektor **b** ist ganzzahlig,
- die Koeffizienten des Zielfunktionsvektors **c** sind ganzzahlig und
- die Koeffizienten der Matrix **A** der Nebenbedingungen sind ganzzahlig.

**Konsequenz:** Schlupfvariablen und Zielfunktionswert sind ebenfalls ganzzahlig.

## Beispielhafte Darstellung von Schnittebenenverfahren

### Beispiel 3.4

Wir lösen beispielhaft das ILP von Beispiel 3.3. Zunächst lösen wir die LP-Relaxation.

Starttableau:

	$x_1$	$x_2$	$x_3$	$x_4$	<b>b</b>
$x_3$	0	1	1	0	3
$x_4$	2	3	0	1	12
$z$	-1	-2	0	0	0

$x_2$  ist Pivotspalte,  $x_3$  Pivotzeile

	$x_1$	$x_2$	$x_3$	$x_4$	<b>b</b>
$x_2$	0	1	1	0	3
$x_4$	2	0	-3	1	3
$z$	-1	0	2	0	6

## Fortsetzung Beispiel.

$x_1$  ist Pivotspalte,  $x_4$  Pivotzeile

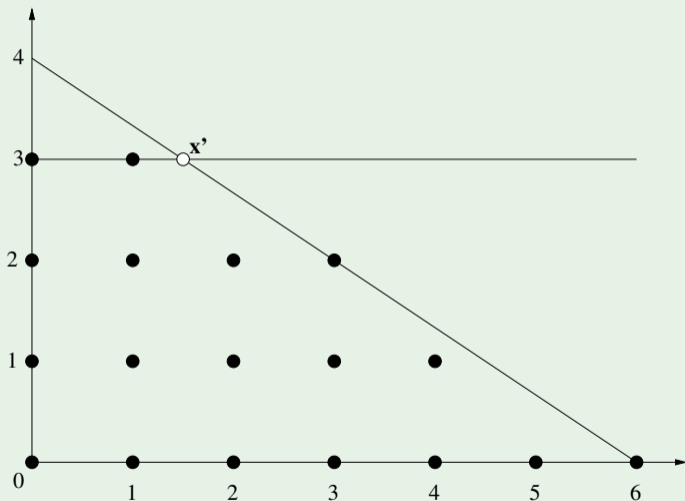
	$x_1$	$x_2$	$x_3$	$x_4$	<b>b</b>
$x_2$	0	1	1	0	3
$x_1$	1	0	$-\frac{3}{2}$	$\frac{1}{2}$	$\frac{3}{2}$
$z$	0	0	$\frac{1}{2}$	$\frac{1}{2}$	$\frac{15}{2}$

Damit haben wir die **optimale Lösung**

$$\mathbf{x}' = \begin{pmatrix} 3 \\ \frac{3}{2} \\ 3 \end{pmatrix}$$

der LP-Relaxation ermittelt.

## Fortsetzung Beispiel.



## Fortsetzung Beispiel.

Wir betrachten die Zeile der nicht-ganzzahligen BV  $x_1$ :

$$x_1 - \frac{3}{2}x_3 + \frac{1}{2}x_4 = \frac{3}{2}$$

Wir formen die Gleichung um, indem wir alle **Brüche aufspalten** in einen **ganzzahligen Anteil** und einen **Bruchanteil aus dem Intervall  $(0, 1)$** .

$$x_1 + \left(-2 + \frac{1}{2}\right)x_3 + \left(0 + \frac{1}{2}\right)x_4 = \left(1 + \frac{1}{2}\right)$$

Jetzt bringen wir alle **ganzzahligen Teile auf die linke** und die **Bruchteile auf die rechte Seite**:

$$x_1 - 2x_3 - 1 = -\frac{1}{2}x_3 - \frac{1}{2}x_4 + \frac{1}{2} \quad (*)$$



## Fortsetzung Beispiel.

Wegen  $x_3, x_4 \geq 0$  folgt  $-\frac{1}{2}x_3 - \frac{1}{2}x_4 \leq 0$  und damit die Ungleichung

$$-\frac{1}{2}x_3 - \frac{1}{2}x_4 + \frac{1}{2} \leq \frac{1}{2} < 1$$

Andererseits muss wegen (\*) die linke Seite der Ungleichung ganzzahlig sein. Daher können wir die Ungleichung verschärfen zu

$$-\frac{1}{2}x_3 - \frac{1}{2}x_4 + \frac{1}{2} \leq 0$$

bzw.

$$-\frac{1}{2}x_3 - \frac{1}{2}x_4 \leq -\frac{1}{2} \quad (**)$$

Diese Ungleichung wird von  $\mathbf{x}'$  nicht erfüllt, aber von jeder ganzzahligen zulässigen Lösung.

## Fortsetzung Beispiel.

Mit Hilfe der Schlupfvariablen  $x_5$  fügen wir die Ungleichung (\*\*) dem ILP hinzu. Das neue Tableau lautet:

	$x_1$	$x_2$	$x_3$	$x_4$	$x_5$	<b>b</b>
$x_2$	0	1	1	0	0	3
$x_1$	1	0	$-\frac{3}{2}$	$\frac{1}{2}$	0	$\frac{3}{2}$
$x_5$	0	0	$-\frac{1}{2}$	$-\frac{1}{2}$	1	$-\frac{1}{2}$
$z$	0	0	$\frac{1}{2}$	$\frac{1}{2}$	0	$\frac{15}{2}$

Dieses Tableau ist nicht primal zulässig, aber dual: Pivotzeile  $x_5$ , Pivotspalte  $x_3$

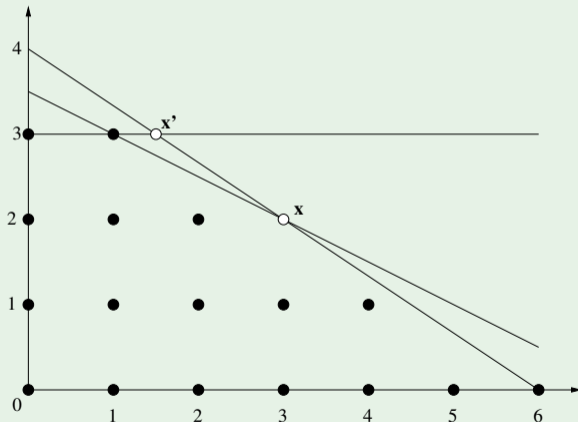
	$x_1$	$x_2$	$x_3$	$x_4$	$x_5$	<b>b</b>
$x_2$	0	1	0	-1	2	2
$x_1$	1	0	0	2	-3	3
$x_3$	0	0	1	1	-2	1
$z$	0	0	0	0	1	7

## Fortsetzung Beispiel.

Damit haben wir eine **optimale Lösung  $x$**  für das ILP.

In Strukturvariablen ausgedrückt lautet die **Schnittrestriktion** (Herleitung )  $x_1 + 2x_2 \leq 7$ .

Visualisierung:



## Ausgangssituation

**Ausgangslage:** Wir haben die LP-Relaxation mit dem primalen Simplexverfahren gelöst, das zugehörige Tableau liegt vor.

### Bezeichnungen:

- $a_{ij}^r$ : Koeffizienten im Tableau
- $b_i^r$ : Komponenten des Begrenzungsvektors im Tableau
- $x_i^r$ : Variablenwerte

Für jede BV  $x_i^r$  gilt

$$x_i^r + \sum_{j \in I_{NBV}} a_{ij}^r x_j^r = b_i^r$$

Man beachte:

- $I_{NBV}$  ist die Menge der Indizes der NBVs,
- $a_{ii}^r = 1$ ,
- $a_{ij}^r = 0$ , falls  $x_j^r$  BV und
- $x_j^r = 0$ , falls  $x_j^r$  NBV.

Daher insgesamt (wie bekannt)

$$x_i^r = b_i^r$$

# Konstruktion von Schnittebenen

## Definition 3.5

Für  $a \in \mathbb{R}$  bezeichne  $\lfloor a \rfloor \in \mathbb{Z}$  die ganze Zahl, für die

$$a - 1 < \lfloor a \rfloor \leq a$$

gilt.  $\lfloor a \rfloor$  heißt **das größte Ganze** von  $a$ .

Wir zerlegen nun die Koeffizienten  $b_i^r$  bzw.  $a_{ij}^r$  in

- ganzzahlige Anteile  $\lfloor b_i^r \rfloor$  bzw.  $\lfloor a_{ij}^r \rfloor$  und
- positive Bruchanteile  $\beta_i^r \in (0, 1)$  bzw.  $\alpha_{ij}^r \in [0, 1)$ .

Damit gilt

$$\begin{aligned}b_i^r &= \lfloor b_i^r \rfloor + \beta_i^r \\ a_{ij}^r &= \lfloor a_{ij}^r \rfloor + \alpha_{ij}^r\end{aligned}$$

und es folgt mit der Gleichung von Folie 164

$$x_i^r + \sum_{j \in I_{NBV}} \lfloor a_{ij}^r \rfloor x_j^r + \sum_{j \in I_{NBV}} \alpha_{ij}^r x_j^r = \lfloor b_i^r \rfloor + \beta_i^r$$

Fassen wir die ganzzahligen Teile auf der linken und die Brüche auf der rechten Seite zusammen, ergibt sich

$$x_i^r + \sum_{j \in I_{NBV}} \lfloor a_{ij}^r \rfloor x_j^r - \lfloor b_i^r \rfloor = - \sum_{j \in I_{NBV}} \alpha_{ij}^r x_j^r + \beta_i^r$$

Wegen  $x_j^r \geq 0$  und  $\alpha_{ij}^r \geq 0$  folgt  $-\sum_{j \in I_{NBV}} \alpha_{ij}^r x_j^r \leq 0$  und damit

$$-\sum_{j \in I_{NBV}} \alpha_{ij}^r x_j^r + \beta_i^r \leq \beta_i^r < 1$$

Andererseits **muss die linke Seite dieser Ungleichung ganzzahlig sein**, daher kann die Ungleichung zu  $\leq 0$  verschärft werden und es folgt die **Schnittrestriktion**:

$$-\sum_{j \in I_{NBV}} \alpha_{ij}^r x_j^r \leq -\beta_i^r$$

Als Gleichung mit zusätzlicher Schlupfvariable  $r_i \geq 0$  ergibt sich für die Schnittrestriktion:

$$-\sum_{j \in I_{NBV}} \alpha_{ij}^r x_j^r + r_i = -\beta_i^r$$



## Beispiel: Herleitung von Schnittebenen

### Beispiel 3.6

Wir wollen das folgende ILP lösen:

$$\max x_1 + 2x_2$$

unter den Neben- und Vorzeichenbedingungen:

$$6x_1 + 5x_2 \leq 30$$

$$4x_1 + 9x_2 \leq 36$$

$$x_1, x_2 \geq 0$$

$$x_1, x_2 \in \mathbb{Z}$$

## Fortsetzung Beispiel.

Lösen der LP-Relaxation:

	$x_1$	$x_2$	$x_3$	$x_4$	<b>b</b>
$x_3$	6	5	1	0	30
$x_4$	4	9	0	1	36
$z$	-1	-2	0	0	0

	$x_1$	$x_2$	$x_3$	$x_4$	<b>b</b>
$x_3$	$34/9$	0	1	$-5/9$	10
$x_2$	$4/9$	1	0	$1/9$	4
$z$	$-1/9$	0	0	$2/9$	8

	$x_1$	$x_2$	$x_3$	$x_4$	<b>b</b>
$x_1$	1	0	$9/34$	$-5/34$	$45/17$
$x_2$	0	1	$-2/17$	$3/17$	$48/17$
$z$	0	0	$1/34$	$7/34$	$141/17$

## Fortsetzung Beispiel.

Lösung ist nicht ganzzahlig. Mögliche Schnittrestriktionen:

1.

$$x_1 + \frac{9}{34}x_3 - \frac{5}{34}x_4 = \frac{45}{17}$$

$$\Rightarrow x_1 + \left(0 + \frac{9}{34}\right)x_3 + \left(-1 + \frac{29}{34}\right)x_4 = \left(2 + \frac{11}{17}\right)$$

Daraus ergibt sich die Schnittrestriktion

$$-\frac{9}{34}x_3 - \frac{29}{34}x_4 \leq -\frac{11}{17}$$

bzw. als Gleichung mit zusätzlicher Schlupfvariable  $r_1$

$$-\frac{9}{34}x_3 - \frac{29}{34}x_4 + r_1 = -\frac{11}{17}$$

## Fortsetzung Beispiel.

2. Für die  $x_2$ -Zeile ergibt sich analog

$$-\frac{15}{17}x_3 - \frac{3}{17}x_4 \leq -\frac{14}{17} \quad \text{bzw.} \quad -\frac{15}{17}x_3 - \frac{3}{17}x_4 + r_2 = -\frac{14}{17}$$

3. Auch aus der Zielfunktionszeile lässt sich eine Schnittrestriktion herleiten:

$$-\frac{1}{34}x_3 - \frac{7}{34}x_4 \leq -\frac{5}{17} \quad \text{bzw.} \quad -\frac{1}{34}x_3 - \frac{7}{34}x_4 + r_3 = -\frac{5}{17}$$

# Eigenschaften

- Die bisher optimale Lösung ist wegen

$$r_i = \lfloor b_i^r \rfloor - b_i^r < 0$$

nicht mehr zulässig.

- Alle anderen ganzzahligen zulässigen Punkte erfüllen dagegen die zusätzliche Ungleichung.
- Wir nehmen die zusätzliche Ungleichung zum Tableau hinzu. Dadurch entsteht auch eine neue Schlupfvariable.
- Wegen der negativen rechten Seite ist das entstehende Tableau nicht mehr primal, aber dual zulässig.
- Durch Anwendung des dualen Simplexalgorithmus erhalten wir eine optimale Lösung für die Relaxation mit zusätzlicher Ungleichung.

## Auswahl einer Schnittrrektion

- Prinzipiell könnten wir alle in Beispiel 3.6 hergeleiteten Schnittrrektionen dem Tableau hinzufügen.
- Nachteil: Jeweils auch eine zusätzliche Schlupfvariable. Tableau wird größer, je mehr Schnittrrektionen hinzugenommen werden.
- Deshalb: **Auswahl genau einer Schnittrrektion**
- Welche?
- Auswahl kann entscheidend für die Effizienz sein.

## Effizienz für verschiedene Schnittrestriktionen

### Beispiel 3.7

Wir setzen Beispiel 3.6 fort.

Wir wählen die dritte Schnittrestriktion von Beispiel 3.6. Damit entsteht:

	$x_1$	$x_2$	$x_3$	$x_4$	$r_3$	<b>b</b>
$x_1$	1	0	$9/34$	$-5/34$	0	$45/17$
$x_2$	0	1	$-2/17$	$3/17$	0	$48/17$
$r_3$	0	0	$-1/34$	$-7/34$	1	$-5/17$
$z$	0	0	$1/34$	$7/34$	0	$141/17$

Dual zulässig,  $r_3$  ist Pivotzeile, wähle  $x_3$  als Pivotspalte. Es entsteht:

## Fortsetzung Beispiel.

	$x_1$	$x_2$	$x_3$	$x_4$	$r_3$	<b>b</b>
$x_1$	1	0	0	-1	9	0
$x_2$	0	1	0	1	-4	4
$x_3$	0	0	1	7	-34	10
$z$	0	0	0	0	1	8

Damit haben wir eine optimale Lösung für das ILP.

Wir nehmen stattdessen die zweite Schnittrestriktion von Beispiel 3.6. Damit entsteht:

	$x_1$	$x_2$	$x_3$	$x_4$	$r_2$	<b>b</b>
$x_1$	1	0	9/34	-5/34	0	45/17
$x_2$	0	1	-2/17	3/17	0	48/17
$r_2$	0	0	-15/17	-3/17	1	-14/17
$z$	0	0	1/34	7/34	0	141/17

Dual zulässig,  $r_2$  ist Pivotzeile,  $x_3$  Pivotspalte. Es entsteht:



## Fortsetzung Beispiel.

	$x_1$	$x_2$	$x_3$	$x_4$	$r_2$	<b>b</b>
$x_1$	1	0	0	$-1/5$	$3/10$	$12/5$
$x_2$	0	1	0	$1/5$	$-2/15$	$44/15$
$x_3$	0	0	1	$1/5$	$-17/15$	$14/15$
$z$	0	0	0	$1/5$	$1/30$	$124/15$

Nicht ganzzahlig. Wir müssten jetzt weitere Schnittrestriktionen herleiten.

# Auswahlkriterium

- ☞ Wähle die Schnittrestriktion, deren Schnittebene den größten Abstand vom nicht-ganzzahligen Optimum hat.

**Ebenendarstellung:** Für  $\mathbf{d} \in \mathbb{R}^n$ ,  $\mathbf{d} \neq \mathbf{0}$  und  $e \in \mathbb{R}$  beschreibt die Menge

$$E = \left\{ \mathbf{x} \in \mathbb{R}^n \mid \mathbf{d}^T \mathbf{x} + e = 0 \right\}$$

eine Ebene  $E$  des  $\mathbb{R}^n$ .

Der Vektor  $\mathbf{d}$  ist ein **Normalenvektor** für die Ebene  $E$ , die Gleichung ist eine **Normalengleichung** für  $E$ .

**Normierte Ebenendarstellung:** Indem wir die Normalengleichung durch  $\|d\|$  teilen, erhalten wir die **Hessesche Normalform** für eine Ebene:

$$E = \left\{ \mathbf{x} \in \mathbb{R}^n \mid \frac{1}{\|d\|} \cdot \mathbf{d}^T \mathbf{x} + \frac{e}{\|d\|} = 0 \right\}$$

Der Vektor  $\frac{1}{\|d\|} \cdot \mathbf{d}$  heißt **Normaleneinheitsvektor**.

**Abstand Punkt zu Ebene:** Der Abstand eines Punktes  $\mathbf{p} \in \mathbb{R}^n$  zu einer Ebene  $E$  ergibt sich, indem man  $\mathbf{p}$  in die Gleichung der Hesseschen Normalenform für  $E$  einsetzt:

$$\text{distance}(p, E) = \frac{1}{\|d\|} \cdot \left| \mathbf{d}^T \mathbf{p} + e \right|$$

## Beispiel: Auswahlkriterium

### Beispiel 3.8

Wir führen die Berechnung für die drei Schnittebenen von Beispiel 3.6 durch. Wir haben

$$\mathbf{p} = \frac{1}{17} \begin{pmatrix} 45 \\ 48 \\ 0 \\ 0 \end{pmatrix}$$

1. Ebenengleichung:

$$-\frac{9}{34}x_3 - \frac{29}{34}x_4 + \frac{11}{17} = 0$$

und damit

$$\text{distance}(p, E) = \frac{34}{\sqrt{9^2 + 29^2}} \cdot \frac{11}{17} = 0.7245 \dots$$

## Fortsetzung Beispiel.

2. Ebenengleichung:

$$-\frac{15}{17}x_3 - \frac{3}{17}x_4 + \frac{14}{17} = 0$$

und damit

$$\text{distance}(p, E) = \frac{17}{\sqrt{15^2 + 3^2}} \cdot \frac{14}{17} = 0.9152 \dots$$

3. Ebenengleichung:

$$-\frac{1}{34}x_3 - \frac{7}{34}x_4 + \frac{5}{17} = 0$$

und damit

$$\text{distance}(p, E) = \frac{34}{\sqrt{1^2 + 7^2}} \cdot \frac{5}{17} = \sqrt{2} = 1.4142 \dots$$

Also wählen wir die 3. Schnittrestriktion wie in Beispiel 3.7.

## Spezielle Schnittrestriktionen

- Das bisher betrachtete Verfahren zur Erzeugung von Schnittebenen ist **allgemeiner Natur**: Es kann für jedes ganzzahlige Problem eingesetzt werden.
- Solche **problemunabhängigen Schnittebenen** sind häufig nicht besonders leistungsfähig.
- Wir leiten in diesem Abschnitt mehrere **Klassen von Schnittebenen** her, die für bestimmte Probleme besonders geeignet sind.

## Prinzipieller Ansatz

- Wir betrachten ein ILP mit **ganzzahliger Matrix**  $\mathbf{A} \in \mathbb{Z}^{m \times n}$  und **ganzzahligem Begrenzungsvektor**  $\mathbf{b} \in \mathbb{Z}^m$ .  
Nebenbedingungen:  $\mathbf{Ax} \leq \mathbf{b}$
- Es seien  $\mu_1, \dots, \mu_m \in \mathbb{Q}$ .
- Wir bilden mit den  $\mu_i$  eine **Linearkombination der Zeilen** von  $\mathbf{Ax} \leq \mathbf{b}$ . Es entsteht die Ungleichung

$$\langle \mu, \mathbf{a}^{(1)} \rangle x_1 + \dots + \langle \mu, \mathbf{a}^{(n)} \rangle x_n \leq \langle \mu, \mathbf{b} \rangle.$$

- Gilt nun
  - ▶  $\langle \mu, \mathbf{a}^{(i)} \rangle \in \mathbb{Z}$  für  $i = 1, \dots, n$ , aber
  - ▶  $\langle \mu, \mathbf{b} \rangle \notin \mathbb{Z}$ ,

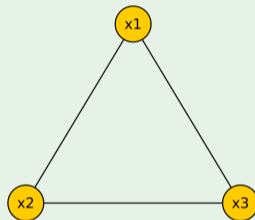
dann können wir die **Ungleichung verschärfen** auf

$$\langle \mu, \mathbf{a}^{(1)} \rangle x_1 + \dots + \langle \mu, \mathbf{a}^{(n)} \rangle x_n \leq \lfloor \langle \mu, \mathbf{b} \rangle \rfloor.$$

# Anwendung

## Beispiel 3.9

Wir betrachten **Independent Set** als Optimierungsproblem für den folgenden Graphen:



Damit haben wir die Zielfunktion  $\max x_1 + x_2 + x_3$  u. d. N.:

$$x_1 + x_2 \leq 1$$

$$x_1 + x_3 \leq 1$$

$$x_2 + x_3 \leq 1$$

Welche Lösung ist optimal für die LP-Relaxation ( $0 \leq x_i \leq 1$ )?



## Fortsetzung Beispiel.

Optimal für die Relaxation ist  $x_1 = x_2 = x_3 = \frac{1}{2}$  mit Zielfunktionswert  $\frac{3}{2}$ .

Mit  $\mu_1 = \mu_2 = \mu_3 = \frac{1}{2}$  erhalten wir die **Ungleichung**

$$x_1 + x_2 + x_3 \leq \frac{3}{2}.$$

Diese können wir **verschärfen** zu

$$x_1 + x_2 + x_3 \leq 1.$$

Die optimale Lösung der Relaxation **erfüllt diese Ungleichung nicht**.

Nehmen wir diese Ungleichung zur LP-Relaxation hinzu, erhalten wir eine **optimale Lösung für das ganzzahlige Problem**.

# Gültige Ungleichung

## Definition 3.10

Eine lineare Ungleichung (bzw. Gleichung), die von allen zulässigen Lösungen eines kombinatorischen Optimierungsproblems erfüllt wird, heißt **gültige Ungleichung** (bzw. **gültige Gleichung**) für dieses Problem.

## Bemerkung:

- Die **Identifikation von gültigen Ungleichungen** für ein Problem kann sehr hilfreich für eine effizientere Behandlung sein.
- Für eine Reihe von **Packungs- und Überdeckungsprobleme** liefert der Ansatz aus Beispiel 3.9 eine **wichtige Klasse von gültigen Ungleichungen**.

## Odd-Cycle-Ungleichungen (1)

- Wir verallgemeinern den Ansatz aus Beispiel 3.9.
- Wir betrachten **Independent Set** auf einem Graphen  $G = (V, E)$  mit  $V = \{x_1, \dots, x_n\}$ .
- Es sei  $C = (x_{i_1}, x_{i_2}, \dots, x_{i_k}, x_{i_1})$  ein **Kreis ungerader Länge  $|C|$**  in  $G$ .
- Wir setzen

$$\mu_i = \begin{cases} \frac{1}{2} & \text{für } i \in \{i_1, \dots, i_k\} \\ 0 & \text{sonst} \end{cases}$$

und erhalten damit die **gültige Ungleichung**

$$\sum_{j=1}^k x_{i_j} =: x(C) \leq \frac{|C| - 1}{2}.$$

- Hierbei bezeichnet  $x(C)$  die **Summe aller Variablen/Knoten, die an  $C$  beteiligt sind**.

## Odd-Cycle-Ungleichungen (2)

### Folgerung 3.11

Es sei  $G = (V, E)$  ein Graph und  $C$  ein Kreis ungerader Länge in  $G$

Die Ungleichung

$$x(C) \leq \frac{|C| - 1}{2}$$

ist eine gültige Ungleichung für *Independent Set*.

Die Ungleichung

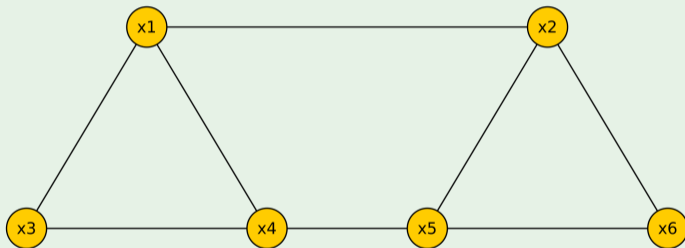
$$x(C) \geq \frac{|C| + 1}{2}$$


ist eine gültige Ungleichung für das Knotenüberdeckungsproblem (*Vertex Cover*).

## VC mit Odd-Cycle-Inequality

### Beispiel 3.12

Wir betrachten das **Knotenüberdeckungsproblem** für den folgenden Graphen.



Wir Lösen dieses Problem mithilfe von Odd-Cycle-Ungleichungen. 

# Separationsproblem

## Definition 3.13

Gegeben sei

- eine optimale Lösung  $\mathbf{x}'$  einer LP-Relaxation für ein kombinatorisches Optimierungsproblem  $\Pi$ ,
- aber  $\mathbf{x}'$  sei nicht zulässig für  $\Pi$ .

Das **Separationsproblem** für eine Klasse  $K$  von gültigen Ungleichungen lautet dann:

- Man finde eine Ungleichung aus  $K$ , die von  $\mathbf{x}'$  verletzt wird oder
- man zeige, dass keine solche Ungleichung existiert.

**Bemerkung:** Die gesuchte Ungleichung soll  $\mathbf{x}'$  von der konvexen Hülle der zulässigen Lösungen **separieren**.

## Diskussion Separationsproblem

- Häufig kann man das Separationsproblem nicht lösen.
- Dann finden wir innerhalb der Klasse  $K$  **keine gültige Ungleichung, die verletzt ist**.
- Dann müssen wir andere Klassen von Ungleichungen betrachten (falls bekannt) oder anders verfahren (siehe folgendes Kapitel).
- Außerdem können wir nicht erwarten, dass für alle Klassen  $K$  das Separationsproblem in polynomieller Zeit gelöst werden kann.
- In diesem Fall können auch **Heuristiken für die Separation** zum Einsatz kommen.

# Schnittebenenverfahren mit Separation

## Algorithmus 3.14

- 1 Man löse die LP-Relaxation eines kombinatorischen Optimierungsproblems.  
Sei  $\mathbf{x}'$  die optimale Lösung der Relaxation.
- 2 **Separation:** Man finde eine Klasse  $K$  von gültigen Ungleichungen und eine Ungleichung  $U$  aus  $K$ , die von  $\mathbf{x}'$  verletzt wird.
- 3 Findet man in Schritt 2 keine verletzte Ungleichung, kann man eine Ungleichung  $U$  wie auf Folie 166 ff. beschrieben konstruieren.
- 4 Man erweitere die LP-Relaxation um die Ungleichung  $U$ .  
Gehe zu Schritt 1.



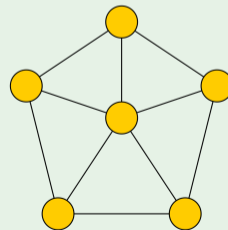
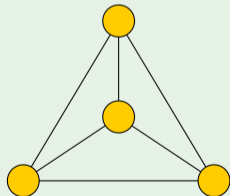
# Wheel

## Definition 3.15

Ein Graph, der aus einem Kreis  $C$  und einem Knoten  $v \notin C$  besteht, so dass  $v$  mit allen Knoten aus  $C$  adjazent ist, heißt **Wheel-Graph**.

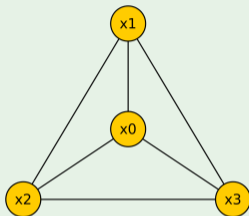
## Beispiel 3.16

Wheel-Graph mit vier bzw. sechs Knoten.



## Beispiel 3.17

Wir betrachten **Independent Set** auf dem linken Graphen von Beispiel 3.16.



Welche Lösung ist optimal für die LP-Relaxation?

Helfen hier Odd-Cycle-Ungleichungen weiter?

Wenn  $x_0$ , dann kein Knoten aus dem Kreis  $(x_1, x_2, x_3)$  und wenn nicht  $x_0$ , dann aus dem Kreis maximal ein Knoten. Also ist

$$x_0 + x_1 + x_2 + x_3 \leq 1.$$

eine gültige Ungleichung.

# Wheel-Ungleichungen

## Folgerung 3.18

Es sei  $G = (V, E)$  ein Graph,  $W$  ein Wheel-Graph in  $G$ , der aus einem Kreis  $C$  ungerader Länge und einem Knoten  $x_0$  besteht.

Dann ist die Ungleichung

$$\frac{|C| - 1}{2} x_0 + x(C) \leq \frac{|C| - 1}{2}$$

eine gültige Ungleichung für *Independent Set*.

Die Ungleichung

$$\frac{|C| - 1}{2} x_0 + x(C) \geq |C|$$

ist eine gültige Ungleichung für das Knotenüberdeckungsproblem.

# Rucksackproblem

Wir betrachten das **Rucksackproblem in der Optimierungsvariante**.

$$\max \sum_{j=1}^n p_j x_j$$

u. d. N.

$$\sum_{j=1}^n w_j x_j \leq C$$

und  $x_j \in \{0, 1\}$ .

# Lösung einer Rucksack-Relaxation

## Beispiel 3.19

$$\begin{aligned}n &= 7, \\(p_j) &= (70, 20, 39, 37, 7, 5, 10), \\(w_j) &= (31, 10, 20, 19, 4, 3, 6), \\C &= 50\end{aligned}$$

Optimale Lösung der Relaxation:

$$x_1 = x_2 = 1, x_3 = \frac{9}{20}, x_4 = x_5 = x_6 = x_7 = 0$$

## Knapsack-Ungleichungen

- Gegeben sei ein Rucksackproblem mit  $n$  Gegenständen.
- Als **Knapsack-Cover** bezeichnen wir eine Indexmenge  $O \subseteq \{1, \dots, n\}$  für die gilt:

$$\sum_{j \in O} w_j > C$$

- Ein Knapsack-Cover  $O$  heißt **minimal**, wenn

$$\sum_{j \in O \setminus \{j'\}} w_j \leq C$$

für alle  $j' \in O$  gilt.

- Wenn  $O$  ein Knapsack-Cover ist, dann ist

$$\sum_{j \in O} x_j \leq |O| - 1$$

eine **gültige Ungleichung**.

## Beispiel 3.20

Wir konstruieren für Beispiel 3.19 einige **Knapsack-Cover** und die zugehörigen Ungleichungen:

$$x_1 + x_2 + x_3 \leq 2$$

$$x_1 + x_2 + x_4 \leq 2$$

$$x_1 + x_2 + x_4 + x_6 \leq 3$$

$$x_1 + x_4 + x_5 \leq 2$$

Die optimale Lösung der Relaxation verletzt die erste Ungleichung.

Wir lösen das Rucksackproblem mittels **Separation**, also indem wir schrittweise **weitere Knapsack-Ungleichungen hinzufügen**. 

Die optimale Lösung ist

$$x_1 = x_4 = 1, \quad x_2 = x_3 = x_5 = x_6 = x_7 = 0$$

mit einem Zielfunktionswert von 107.

## Erweiterte Knapsack-Ungleichungen (1)

- Es sei  $O$  ein Knapsack-Cover.
- Wir definieren das **erweiterte Knapsack-Cover**  $E(O)$  durch

$$E(O) = O \cup \{1 \leq j \leq n \mid w_j \geq \max_{i \in O} w_i\}$$

- Wenn  $E(O)$  ein erweitertes Knapsack-Cover ist, dann ist

$$\sum_{j \in E(O)} x_j \leq |O| - 1$$

eine **gültige Ungleichung**.

- Wenn  $E(O) \neq O$  gilt, dann ist diese Ungleichung **strenger als die ursprüngliche**.



## Erweiterte Knapsack-Ungleichungen (2)

### Beispiel 3.21

Für das Problem aus Beispiel 3.19 ist

$$x_2 + x_3 + x_4 + x_5 \leq 3$$

die **Ungleichung zum Knapsack-Cover**  $O = \{2, 3, 4, 5\}$ .

Es gilt  $E(O) = \{1, 2, 3, 4, 5\}$ . Damit kann die Ungleichung zu

$$x_1 + x_2 + x_3 + x_4 + x_5 \leq 3$$

verschärft werden.

# Knapsack-Ungleichungen verwenden

- Wir betrachten ein **Binary Program**

$$\max \mathbf{c}^T \mathbf{x}, \text{ u. d. N. } \mathbf{Ax} \leq \mathbf{b}, \mathbf{x} \in \{0, 1\}^n,$$

wobei alle Elemente von **A** **nicht negativ** sind.

- Jede Ungleichung des Problems entspricht einzeln betrachtet einer Einschränkung beim Rucksackproblem.
- Wir können also für jede Ungleichung die Knapsack-Cover-Ungleichungen hinzufügen.

### Beispiel 3.22

Wir lösen


$$\max 8x_1 + 6x_2 + 7x_3 + 4x_4$$

u. d. N.

$$11x_1 + 6x_2 + 6x_3 + 5x_4 \leq 13$$

$$4x_1 + 7x_2 + 6x_3 + 3x_4 \leq 8$$

$$x_1, x_2, x_3, x_4 \in \{0, 1\}$$

mithilfe von **Knapsack- und Odd-Cycle-Ungleichungen**. 

Optimale Lösung:

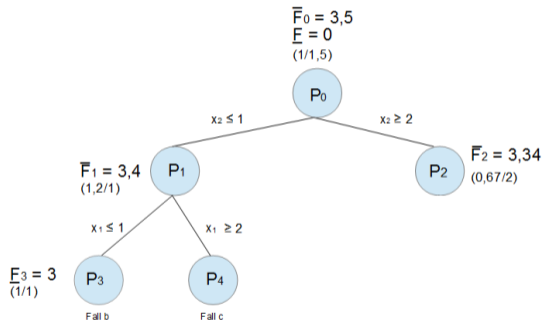
$$x_1 = 1, x_2 = x_3 = x_4 = 0$$

# Zusammenfassung

- Mit Schnittebenenverfahren können wir prinzipiell ILPs lösen.
- **Problem:** Tableau und Rechenaufwand wird mit jeder zusätzlichen Schnittebene größer.
- Weitere Probleme: numerische Instabilität, Terminierung
- Spezielle Klassen von Ungleichungen:
  - ▶ Odd-Cycle-Ungleichungen
  - ▶ Wheel-Ungleichungen
  - ▶ Knapsack-Ungleichungen
- **Ausblick:** Kombination solcher Schnittebenen mit Verfahren des nächsten Kapitels

## Kapitel 4

## Branch-and-Bound



# Inhalt

## 4 Branch-and-Bound

- Branch-and-Bound
- Anwendungsbeispiele

# Schranken (1)

## Definition 4.1

Gegeben sei ein Maximierungsproblem der Art

$$\max F(\mathbf{x}), \quad \text{u.d.N. } \mathbf{x} \in \mathcal{X}$$

Gilt

$$F(\mathbf{x}) \leq B_{up} \text{ f\"ur alle } \mathbf{x} \in \mathcal{X}$$

dann ist  $B_{up}$  eine **obere Schranke** f\"ur den optimalen Zielfunktionswert.

Gilt

$$F(\mathbf{x}) \geq B_{low} \text{ f\"ur ein } \mathbf{x} \in \mathcal{X}$$

dann ist  $B_{low}$  eine **untere Schranke** f\"ur den optimalen Zielfunktionswert.

## Schranken (2)

### Definition 4.2

Gegeben sein ein Minimierungsproblem der Art

$$\min F(\mathbf{x}), \quad \text{u.d.N. } \mathbf{x} \in \mathcal{X}$$

Gilt

$$F(\mathbf{x}) \geq B_{low} \text{ f\"ur alle } \mathbf{x} \in \mathcal{X}$$

dann ist  $B_{low}$  eine **untere Schranke** f\"ur den optimalen Zielfunktionswert.

Gilt

$$F(\mathbf{x}) \leq B_{up} \text{ f\"ur ein } \mathbf{x} \in \mathcal{X}$$

dann ist  $B_{up}$  eine **obere Schranke** f\"ur den optimalen Zielfunktionswert.



# Herleitung von Schranken

Für Maximierungsprobleme:

- obere Schranken

typischerweise durch Relaxationen, z.B. LP-Relaxation bei einem ILP

- untere Schranken

durch zulässige i.d.R. aber nicht optimale Lösungen, z.B. auf der Basis von Heuristiken

Für Minimierungsprobleme: genau umgekehrt

Wenn nicht anders erwähnt betrachten wir im Folgenden stets **Maximierungsprobleme**.

# Grundprinzip von Branch-and-Bound

Suchverfahren, das die Menge  $\mathcal{X}$  der zulässigen Lösungen systematisch durchsucht.

Wesentliche Operationen bei der Suche:

- Verzweigung (Branch)

Teile das Ausgangsproblem  $P_0$  (bzw. die Menge  $\mathcal{X}(P_0)$  der zulässigen Lösungen) in zwei Teilprobleme  $P_1$  und  $P_2$  (bzw. Teilmengen  $\mathcal{X}(P_1)$  und  $\mathcal{X}(P_2)$ ) auf.

- Beschränkung (Bound)

Berechne für die Teilprobleme  $P_1$  und  $P_2$  obere Schranken (upper bound)  $B_{up}^1$  und  $B_{up}^2$  für die optimale Lösung in  $\mathcal{X}(P_1)$  und in  $\mathcal{X}(P_2)$ .

## Nutzung von Schranken für die Suche (1)

Es sei  $B_{low}$  eine bekannte untere Schranke für  $\mathcal{X}(P_0)$ , z.B. der Zielfunktionswert einer bekannten zulässigen Lösung  $\mathbf{x}$ .

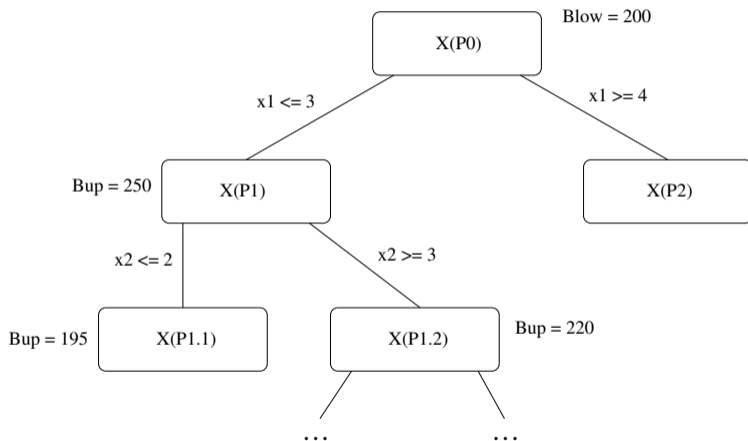
Dann gilt:

- Aus  $B_{up}^1 \leq B_{low}$  folgt, dass  $\mathcal{X}(P_1)$  keine bessere Lösung als  $\mathbf{x}$  enthalten kann.
- Analog für  $B_{up}^2 \leq B_{low}$
- ☞ Im Fall von  $B_{up}^1 \leq B_{low}$  bzw.  $B_{up}^2 \leq B_{low}$  müssen wir in  $\mathcal{X}(P_1)$  bzw.  $\mathcal{X}(P_2)$  nicht mehr nach einer optimalen Lösung suchen.

## Nutzung von Schranken für die Suche (2)

- Es sei  $B_{up}$  eine bekannte obere Schranke für  $\mathcal{X}$ .
- Findet man ein  $\mathbf{x} \in \mathcal{X}$  mit  $F(\mathbf{x}) = B_{up}$ , dann ist  $\mathbf{x}$  eine optimale Lösung.

# Branch-and-Bound: Prinzipieller Ablauf für ein ILP



## Beispiele: Branch-and-Bound für ILP

### Beispiel 4.3

Wir wollen das ILP von Beispiel 3.2 lösen. Es sei dies das Problem  $P_0$ .

Die LP-Relaxation hat die optimale Lösung  $(\frac{9}{4}, \frac{5}{2})$  mit Zielfunktionswert  $\frac{29}{4}$ . Dies liefert uns eine allgemeine obere Schranke  $B_{up} = \lfloor \frac{29}{4} \rfloor = 7$ .

Wir unterteilen das Problem  $P_0$  in zwei disjunkte Teilprobleme:

- Für  $P_1$  gelte die zusätzliche Bedingung  $x_1 \geq 3$ .
- Für  $P_2$  gelte die zusätzliche Bedingung  $x_1 \leq 2$ .

Für die LP-Relaxation von  $P_1$  erhalten wir die optimale Lösung  $\mathbf{x}^1 = (3, 2)$  mit Zielfunktionswert 7.

- Damit haben wir eine zulässige Lösung gefunden, deren Zielfunktionswert mit  $B_{up} = 7$  übereinstimmt.
- Somit ist  $\mathbf{x}^1$  eine optimale Lösung für  $P_0$ .

## Fortsetzung Beispiel.

Wir brauchen  $P_2$  nicht mehr zu lösen. Wenn wir trotzdem die zugehörige LP-Relaxation lösen,

- können wir  $B_{low} = 7$  setzen, da  $\mathbf{x}^1$  eine zulässige Lösung ist und
- wir erhalten  $\mathbf{x}^2 = (2, \frac{5}{2})$  mit Zielfunktionswert  $B_{up}^2 = 7 \leq B_{low}$  als optimale Lösung für die LP-Relaxation von  $P_2$ .
- Hieraus folgt, dass in  $\mathcal{X}(P_2)$  keine bessere Lösung als  $\mathbf{x}^1$  enthalten sein kann.

## Beispiel 4.4

Wir betrachten das ILP

$$\max x_1 + x_2$$

unter den Neben- und Vorzeichenbedingungen

$$4x_1 + x_2 \leq 20$$

$$4x_2 \leq 10$$

$$2x_1 + 3x_2 \leq 12$$

$$x_1, x_2 \geq 0$$

$$x_1, x_2 \in \mathbb{Z}$$

Tafel 



### Beispiel 4.5 (Winston, Kapitel 9.3)

Die Telfa Corporation produziert Tische und Stühle.

Für die Produktion eines Tisches werden eine Arbeitsstunde und 9 Quadratmeter Holz benötigt, ein Stuhl erfordert eine Arbeitsstunde und 5 Quadratmeter Holz. Es stehen 6 Arbeitsstunden und 45 Quadratmeter Holz zur Verfügung.

Der Gewinn für einen Tisch beträgt 8 €, für einen Stuhl 5 €.

Tafel 

## Beispiel 4.6 (Nickel et al., Kapitel 5.4.1)

Gegeben sei das ILP

$$\max 5x_1 + 2x_2$$


unter den Neben- und Vorzeichenbedingungen

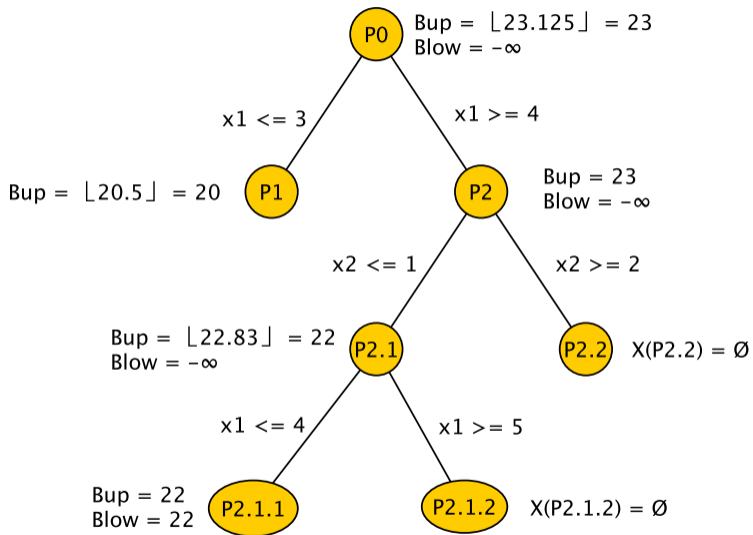
$$6x_1 + 2x_2 \leq 27$$

$$4x_1 + 4x_2 \leq 23$$

$$x_1, x_2 \geq 0$$

$$x_1, x_2 \in \mathbb{Z}$$

Tafel: Mit Selektionsstrategie "Maximum Upper Bound" 



## Was brauchen wir für Branch-and-Bound?

- **Verzweigungsregel:** Wie teilen wir die Menge der zulässigen Lösungen auf?
- **Obere Schranke:** Effizientes Verfahren zur Berechnung einer oberen Schranke für ein Teilproblem, z.B. eine geeignete LP-Relaxation.
- **Optionale untere Schranke:** Eine Heuristik zur Ermittlung einer guten zulässigen Lösung für ein Teilproblem (üblicherweise auf Basis der optimalen Lösung des relaxierten Problems).
- **Selektionsstrategie:** In welcher Reihenfolge werden Teilprobleme abgearbeitet? Tiefensuche? Breitensuche? Gesteuert durch die oberen Schranken?

## Verzweigung (Branch)

- Ein Problem  $P_0$  wird in  $k$  Teilprobleme  $P_1, \dots, P_k$  unterteilt, so dass für die Mengen  $\mathcal{X}(P_i)$  der zulässigen Lösungen gilt:

$$\mathcal{X}(P_0) = \bigcup_{i=1}^k \mathcal{X}(P_i)$$

und

$$\mathcal{X}(P_i) \cap \mathcal{X}(P_j) = \emptyset \text{ für } i \neq j$$

- Die Probleme  $P_1, \dots, P_k$  werden falls notwendig weiter unterteilt. Dadurch entsteht ein Baum von Problemen mit  $P_0$  als Wurzel.

# Übliche Verzweigungsstrategien

Es sei  $\mathbf{x}$  die optimale Lösung der LP-Relaxation von  $P_0$  und die Komponente  $x_i = \alpha$  sei nicht ganzzahlig.

- ILP:
  - ▶  $P_1$  erhält die zusätzliche Nebenbedingung  $x_i \leq \lfloor \alpha \rfloor$
  - ▶  $P_2$  erhält die zusätzliche Nebenbedingung  $x_i \geq \lceil \alpha \rceil$
- kombinatorische Probleme:  
Setze  $x_i = 0$  für  $P_1$  bzw.  $x_i = 1$  für  $P_2$ .

Welches  $x_i$  auswählen? Z.B. das am wenigsten bestimmte.

# Obere Schranken

- Für jedes Teilproblem  $P_i$  bestimmen wir eine **obere Schranke (upper bound)**  $B_{up}^i$ .
- Hierfür lösen wir eine **Relaxation**  $P_i^{relax}$  von  $P_i$ , also ein gegenüber  $P_i$  vereinfachtes (**relaxiertes**) Problem (weniger Nebenbedingungen).

- Es muss gelten

$$\mathcal{X}(P_i) \subseteq \mathcal{X}(P_i^{relax})$$

- Wichtig ist, **dass die Relaxationen effizient gelöst werden können**.
- Für gewöhnliche ILPs benutzt man üblicherweise **LP-Relaxationen**.
- Für spezielle kombinatorische Probleme können die Relaxationen **vereinfachte und effizient lösbare Probleme** sein.

**Beispiel:** Minimalgerüst ist Relaxation für kürzesten Hamiltonschen Weg

# Untere Schranken

- Durch die heuristische Bestimmung einer zulässigen Lösung erhält man eine **untere Schranke**  $B_{low}$ .
- Prinzipiell nicht notwendig. Schlimmstenfalls **starten wir mit**  $B_{low} = -\infty$ .
- Ist die optimale Lösung einer Relaxation auch zulässig für das eigentliche Problem  $P_0$ , stellt der zugehörige Zielfunktionswert eine untere Schranke dar.  
**Beispiel:** Bei einem ILP ist die optimale Lösung der LP-Relaxation ganzzahlig.
- $B_{low}$  ist dann im Laufe des Verfahrens gleich dem Zielfunktionswert der besten bekannten zulässigen Lösung von  $P_0$ .



# Auslotung eines Problems

## Definition 4.7

Ein Problem  $P_i$  heißt **ausgelotet**, wenn einer der folgenden Fälle auftritt:

(a)  $B_{up}^i \leq B_{low}$

In  $\mathcal{X}(P_i)$  kann es keine bessere Lösung geben als die beste bisher bekannte.

(b)  $B_{up}^i > B_{low}$  und die optimale Lösung von  $P_i^{relax}$  ist zulässig für  $P_i$ .

Dann hat man eine neue bisher beste zulässige Lösung für  $P_0$  gefunden. Man setzt nun  $B_{low} := B_{up}^i$ .

(c)  $\mathcal{X}(P_i^{relax}) = \emptyset$

Dann hat  $P_i^{relax}$  und damit auch  $P_i$  keine zulässige Lösung.

# Selektionsstrategie

- **Tiefensuche:** Durchsuche für ein noch offenes Teilproblem (Knoten im Suchbaum) zuerst den “linken” Teilbaum, dann den “rechten” Teilbaum

Vorteile:

- ▶ Man erhält i.d.R. schnell eine zulässige Lösung (und damit eine untere Schranke)
- ▶ geringer Speicherplatzverbrauch (kleine Agenda)

Nachteile:

- ▶ i.d.R. größerer Suchbaum

- **Maximum Upper Bound:** Untersuche als nächstes das noch offene Teilproblem  $P_i$  mit der größten oberen Schranke  $B_{up}^i$ .

Vorteil:

- ▶ Suchbaum i.d.R. kleiner als bei der Tiefensuche

Nachteil:

- ▶ Größerer Speicherplatzverbrauch für Agenda

# Rucksackproblem

## Definition 4.8

Das Optimierungsproblem

$$\max \sum_{j=1}^n p_j x_j$$

unter den Neben- und Vorzeichenbedingungen

$$\sum_{j=1}^n w_j x_j \leq C$$

$$x_j \in \{0, 1\} \quad \text{für } j = 1, \dots, n$$

heißt **Rucksackproblem** (knapsack problem, KP).

**Bemerkung:**

$p_j$  = Nutzen von Gegenstand  $j$

$w_j$  = Gewicht von Gegenstand  $j$

$C$  = Kapazität des Rucksacks

$x_j = \begin{cases} 1 & \text{wenn Gegenstand } j \text{ ausgewählt wird} \\ 0 & \text{sonst} \end{cases}$

**Voraussetzungen (O.B.d.A.):**

- $p_j, w_j$  und  $C$  sind natürliche Zahlen,
- $\sum_{j=1}^n w_j > C$ ,
- $w_j \leq C$  für alle  $j = 1, \dots, n$ .

Wenn nicht anders angegeben gelte außerdem

$$\frac{p_1}{w_1} \geq \frac{p_2}{w_2} \geq \dots \geq \frac{p_n}{w_n},$$

d.h., die Gegenstände sind **absteigend sortiert nach spezifischem Nutzen**.

## Relaxation für KP

Die LP-Relaxation von KP ist das **stetige Rucksackproblem (continuous knapsack problem, CKP)**:

$$\begin{aligned} \max \quad & \sum_{j=1}^n p_j x_j \\ \text{u. d. N.} \quad & \sum_{j=1}^n w_j x_j \leq C \\ & 0 \leq x_j \leq 1, \quad j = 1, \dots, n \end{aligned}$$

CKP kann effizient gelöst werden, in dem der **kritische Gegenstand  $s$**  ermittelt wird:

$$s = \min \left\{ j : \sum_{i=1}^j w_i > C \right\}$$

### Satz 4.9

Die optimale Lösung  $\mathbf{x}$  von CKP ist

$$x_j = 1 \quad \text{für } j = 1, \dots, s-1,$$

$$x_j = 0 \quad \text{für } j = s+1, \dots, n,$$

$$x_s = \frac{C - \sum_{j=1}^{s-1} w_j}{w_s}$$

## Folgerung 4.10

Der optimale Zielfunktionswert  $z(\text{CKP})$  lautet:

$$z(\text{CKP}) = \sum_{j=1}^{s-1} p_j + p_s \frac{C - \sum_{j=1}^{s-1} w_j}{w_s}$$

Weiterhin ist

$$U = \lfloor z(\text{CKP}) \rfloor = \left\lfloor \sum_{j=1}^{s-1} p_j + p_s \frac{C - \sum_{j=1}^{s-1} w_j}{w_s} \right\rfloor$$

eine obere Schranke für den Zielfunktionswert  $z(\text{KP})$  des Rucksackproblems.

# Greedy-Algorithmus

## Algorithmus 4.11 (GreedyKP)

```
z := 0
for j := 1 to n do
  if  $C - w_j \geq 0$  then
     $x_j := 1$ 
     $z := z + p_j$ 
     $C := C - w_j$ 
  else
     $x_j := 0$ 
  end
end
end
```



# Eigenschaften des Greedy-Algorithmus

- Es sei  $z(GKP)$  der Zielfunktionswert der Lösung, die durch GreedyKP ermittelt wird. Dann gilt:

$$z(GKP) \leq z(KP) \leq U \leq z(GKP) + p_s$$

D.h., der absolute Fehler von GreedyKP ist  $\leq p_s$ .

- Man betrachte die Folge der KPs mit

$$n = 2, p_1 = w_1 = 1, p_2 = w_2 = k, C = k.$$

Für  $k \rightarrow \infty$  gilt  $\frac{z(GKP)}{z(KP)} \rightarrow 0$ , d.h. die **relative Güte (worst-case performance ratio)** der berechneten Lösung wird beliebig schlecht.

- Verbesserung: Wir vergleichen  $z(GKP)$  mit  $p_s$ . Es sei

$$z(GKP') = \max\{z(GKP), p_s\}$$

Dann gilt

$$\frac{z(GKP')}{z(KP)} \geq \frac{1}{2}$$

Begründung: Aus  $z(KP) \leq z(GKP) + p_s$  folgt  $z(KP) \leq 2z(GKP')$ .

Damit ist die relative Güte des verbesserten Greedy-Algorithmus nicht mehr beliebig schlecht.

# Branch-and-Bound-Algorithmus von Horowitz und Sahni

## Algorithmus 4.12 (Horowitz-Sahni (1974))

Allgemeines Vorgehen: Entscheidungen für  $j = 1, \dots, n$  sequentiell treffen.

- **Verzweigungsregel:**  $x_j = 1$  bzw.  $x_j = 0$ . Wenn nur eine Entscheidung möglich ist, wird nicht verzweigt.
- **Obere Schranke:**  $U$ , unter Berücksichtigung der getroffenen Entscheidungen. Wird nur unmittelbar vor einer Verzweigung berechnet.
- **untere Schranke:** keine.
- **Selektionsstrategie:** Tiefensuche, Zweig  $x_j = 1$  wird zuerst untersucht.

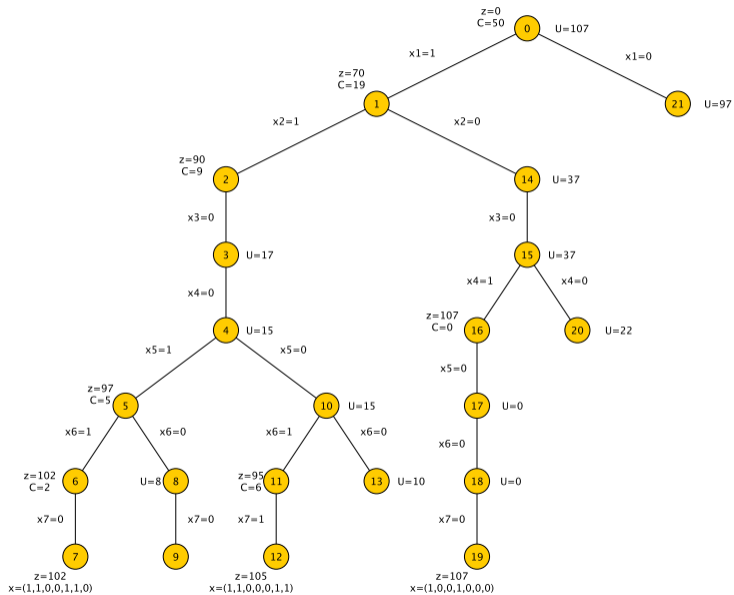
## Beispiel zum Algorithmus von Horowitz-Sahni

### Beispiel 4.13

$$\begin{aligned}n &= 7, \\(p_j) &= (70, 20, 39, 37, 7, 5, 10), \\(w_j) &= (31, 10, 20, 19, 4, 3, 6), \\C &= 50\end{aligned}$$

In der folgenden Darstellung sind:

- $z$  der aktuelle Zielfunktionswert,
- $C$  die verbleibende Restkapazität,
- $U$  obere Schranke unter Berücksichtigung der bisherigen Entscheidungen,
- $x_j = 0, 1$  Entscheidungen.



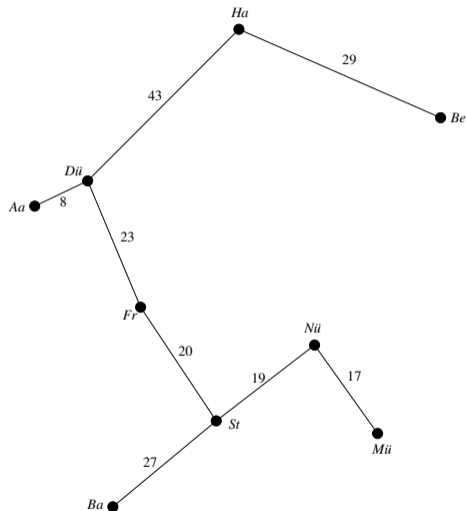
## Branch-and-Bound für TSP

Man bestimme eine optimale Lösung für das TSP mit folgender Entfernungsmatrix:

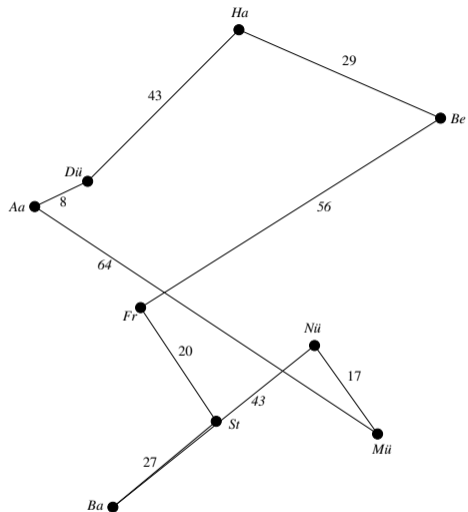
	Aa	Ba	Be	Dü	Fr	Ha	Mü	Nü	St
Aa	0	57	64	8	26	49	64	47	46
Ba	57	0	88	54	34	83	37	43	27
Be	64	88	0	57	56	29	60	44	63
Dü	8	54	57	0	23	43	63	44	41
Fr	26	34	56	23	0	50	40	22	20
Ha	49	83	29	43	50	0	80	63	70
Mü	64	37	60	63	40	80	0	17	22
Nü	47	43	44	44	22	63	17	0	19
St	46	27	63	41	20	70	22	19	0

# Obere Schranke: Heuristik

- Berechne **Minimalgerüst (MST)** mit Länge  $z(MST) = 186$ .
- $z(TSP) \leq 2 * z(MST) = 372$
- Besser: Aus MST eine möglichst gute zulässige Lösung konstruieren.
- Zur Erinnerung: **Tiefensuche auf Minimalgerüst**

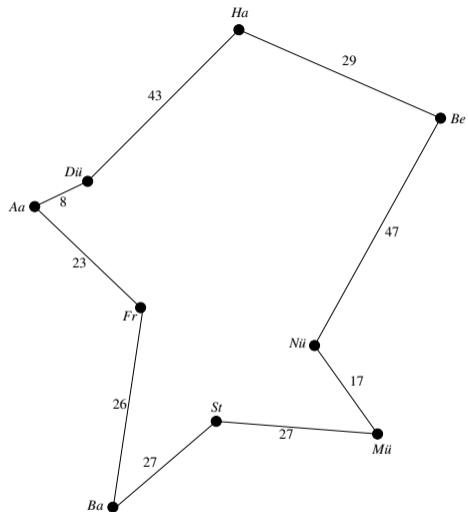


- **Tiefensuche** starten in Aachen
- Backtracking
- In der Tour **Abkürzungen bei Backtracking**
- Erlaubt wegen Dreiecksungleichung
- Länge der Tour (erste obere Schranke):  
**307**





- Weitere Verbesserung durch Kantenaustausch
- 2-opt und 3-opt
- Eliminierung von Kreuzungen
- Länge der Tour (verbesserte obere Schranke):  $B_{up} = 250$



## Untere Schranke

- Möglichkeit Minimalgerüst, wird hier aber nicht genutzt.
- LP-Relaxation wäre auch möglich, betrachten wir im nächsten Abschnitt.

### Bezeichnungen:

- Ab jetzt setzen wir in Entfernungsmatrizen für TSP die Diagonalelemente auf  $\infty$ .
- Für solch eine Entfernungsmatrix  $\mathbf{A} \in \mathbb{R}^{n \times n}$  bezeichne  $z(TSP_A)$  die Länge einer optimalen TSP-Tour.
- Es sei  $\mathbf{A} \in \mathbb{R}^{n \times n}$  eine Entfernungsmatrix für ein TSP sowie  $u_1, \dots, u_n \in \mathbb{R}$  und  $v_1, \dots, v_n \in \mathbb{R}$  reelle Zahlen. Dann definieren wir die Entfernungsmatrix  $\mathbf{B} = (b_{ij})$  durch  $b_{ij} = a_{ij} - u_i - v_j$ .

## Lemma 4.14

$$z(TSP_A) = z(TSP_B) + \sum_{i=1}^n u_i + \sum_{j=1}^n v_j$$

## Beweis.

Jede Stadt wird in einer TSP-Tour genau einmal betreten und wieder verlassen. □

## Folgerung 4.15

Gilt  $\mathbf{B} \geq \mathbf{0}$ , dann ist

$$z(TSP_A) \geq \sum_{i=1}^n u_i + \sum_{j=1}^n v_j$$

## Beweis.

Aus  $\mathbf{B} \geq \mathbf{0}$  folgt  $z(TSP_B) \geq 0$  und mit Lemma 4.14

$$z(TSP_A) \geq \sum_{i=1}^n u_i + \sum_{j=1}^n v_j.$$

Damit ist

$$B_{low} = \sum_{i=1}^n u_i + \sum_{j=1}^n v_j$$

eine untere Schranke für  $z(TSP_A)$ . □

**Berechnung einer unteren Schranke:**

- Ziehe von jeder Zeile  $i$  den Maximalwert  $u_i$  ab.
- Ziehe anschließend von jeder Spalte  $j$  den Maximalwert  $v_j$  ab.

$$B_{low} = 8 + 27 + 29 + 8 + 20 + 29 + 17 + 17 + 19 + 8 + 1 = 183$$

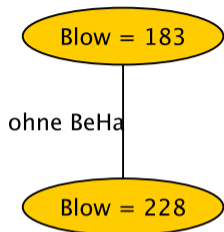
Es entsteht eine neue (jetzt asymmetrische Matrix).

	Aa	Ba	Be	Dü	Fr	Ha	Mü	Nü	St
Aa	$\infty$	41	56	0	17	41	56	39	38
Ba	30	$\infty$	61	27	6	56	10	16	0
Be	35	51	$\infty$	28	26	0	31	15	34
Dü	0	38	49	$\infty$	14	35	55	36	33
Fr	6	6	36	3	$\infty$	30	20	2	0
Ha	20	46	0	14	20	$\infty$	51	34	41
Mü	47	12	43	46	22	63	$\infty$	0	5
Nü	30	18	27	27	4	46	0	$\infty$	2
St	27	0	44	22	0	51	3	0	$\infty$

## Verzweigung

- Wir unterteilen eine Lösungsmenge in zwei disjunkte Teilmengen.
- Die erste Teilmenge enthält eine Kante, z.B. Berlin-Hamburg (BeHa).
- Die zweite enthält diese Kante nicht.
- Für die zweite Teilmenge können wir die untere Schranke auf  $183 + 30 + 15 = 228$  erhöhen.

Da wir die Kanten als gerichtet betrachten, **genügt es hier (aber nur hier), ausschließlich die Teilmenge mit der höheren unteren Schranke zu durchsuchen.**

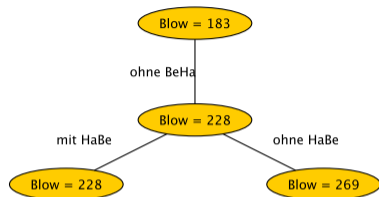


	Aa	Ba	Be	Dü	Fr	Ha	Mü	Nü	St
Aa	$\infty$	41	56	0	17	11	56	39	38
Ba	30	$\infty$	61	27	6	26	10	16	0
Be	20	36	$\infty$	13	11	$\infty$	16	0	19
Dü	0	38	49	$\infty$	14	5	55	36	33
Fr	6	6	36	3	$\infty$	0	20	2	0
Ha	20	46	0	14	20	$\infty$	51	34	41
Mü	47	12	43	46	22	33	$\infty$	0	5
Nü	30	18	27	27	4	16	0	$\infty$	2
St	27	0	44	22	0	21	3	0	$\infty$

Wir unterteilen nun nach HaBe. Für die Lösungsmenge ohne HaBe ergibt sich  $B_{low} = 228 + 14 + 27 = 269 \geq B_{up} = 250$ .

⇒ Optimale Lösung muss HaBe enthalten.

⇒ Zeile Ha und Spalte Be kann aus der Matrix entfernt werden.



	Aa	Ba	Dü	Fr	Ha	Mü	Nü	St
Aa	$\infty$	41	0	17	11	56	39	38
Ba	30	$\infty$	27	6	26	10	16	0
Be	20	36	13	11	$\infty$	16	0	19
Dü	0	38	$\infty$	14	5	55	36	33
Fr	6	6	3	$\infty$	0	20	2	0
Mü	47	12	46	22	33	$\infty$	0	5
Nü	30	18	27	4	16	0	$\infty$	2
St	27	0	22	0	21	3	0	$\infty$

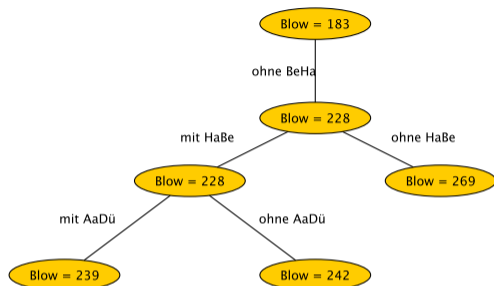
Als nächstes bietet sich eine Unterteilung auf der Basis von AaDü an.

Ohne AaDü:  $B_{low} = 228 + 11 + 3 = 242$

Mit AaDü bedeutet ohne DüAa. Dadurch kann LB für mit AaDü erhöht werden:

$B_{low} = 228 + 5 + 6 = 239$



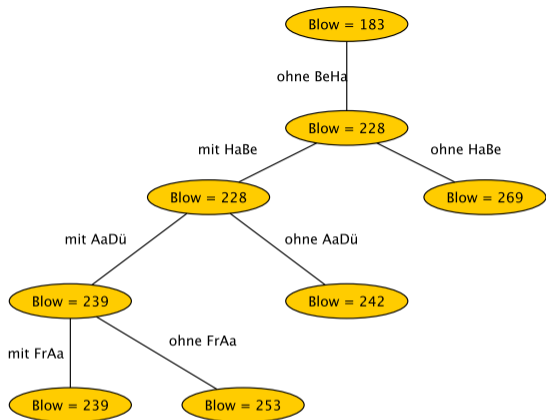


	Aa	Ba	Fr	Ha	Mü	Nü	St
Ba	24	$\infty$	6	26	10	16	0
Be	14	36	11	$\infty$	16	0	19
Dü	$\infty$	33	9	0	50	31	28
Fr	0	6	$\infty$	0	20	2	0
Mü	41	12	22	33	$\infty$	0	5
Nü	24	18	4	16	0	$\infty$	2
St	21	0	0	21	3	0	$\infty$

Als nächstes betrachten wir die Kante FrAa.

Ohne FrAa:  $B_{low} = 239 + 14 = 253 \geq 250$ . Ausgelotet!

Also mit FrAa,  $\Rightarrow$  ohne DüFr.

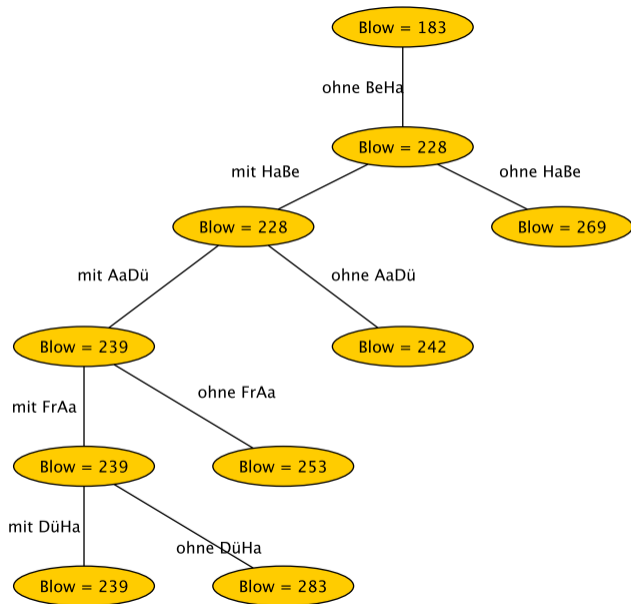


	Ba	Fr	Ha	Mü	Nü	St
Ba	$\infty$	6	26	10	16	0
Be	36	11	$\infty$	16	0	19
Dü	33	$\infty$	0	50	31	28
Mü	12	22	33	$\infty$	0	5
Nü	18	4	16	0	$\infty$	2
St	0	0	21	3	0	$\infty$

Nun die Kante DüHa.

Ohne DüHa:  $B_{low} = 239 + 28 + 16 = 283 \geq 250$ . Ausgelotet!

Also mit DüHa. Wegen Weg (Fr,Aa,Dü,Ha,Be) folgt ohne BeFr.



	Ba	Fr	Mü	Nü	St
Ba	$\infty$	6	10	16	0
Be	36	$\infty$	16	0	19
Mü	12	22	$\infty$	0	5
Nü	18	4	0	$\infty$	2
St	0	0	3	0	$\infty$

Nun die Kante BeNü.

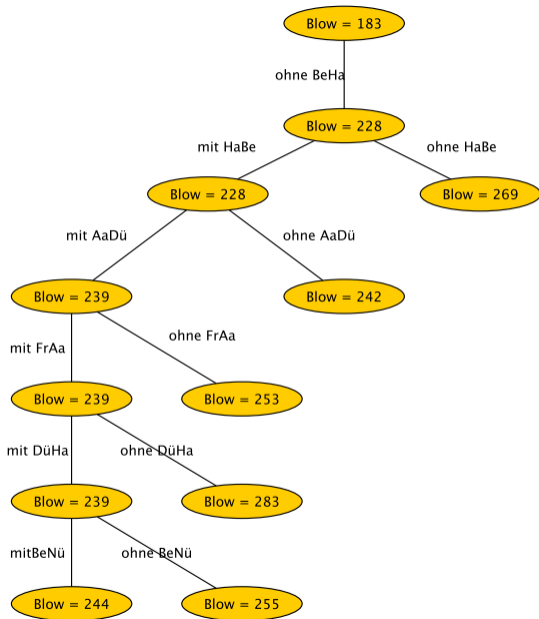
Ohne BeNü:

$$B_{low} = 239 + 16 = 255 \geq 250.$$

Ausgelotet!

$$\text{Mit BeNü: } B_{low} = 239 + 5 = 244.$$

$\Rightarrow$  ohne NüFr.



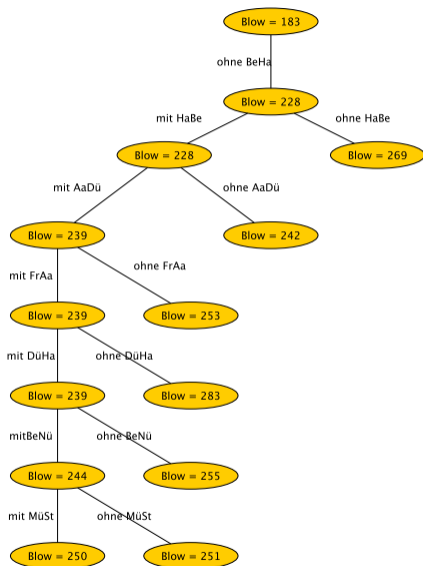
	Ba	Fr	Mü	St
Ba	$\infty$	6	10	0
Mü	7	17	$\infty$	0
Nü	18	$\infty$	0	2
St	0	0	3	$\infty$

Ohne MüSt:

$$B_{low} = 244 + 7 = 251 \geq 250.$$

Ausgelotet!

$$\text{Mit MüSt: } B_{low} = 244 + 6 = 250.$$

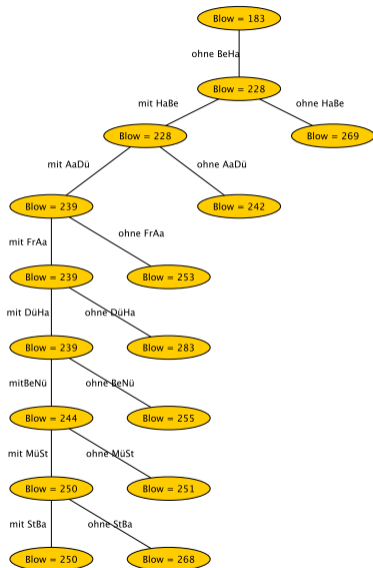


	Ba	Fr	Mü
Ba	$\infty$	0	4
Nü	18	$\infty$	0
St	0	0	3

Ohne StBa:

$$B_{low} = 250 + 18 = 269 \geq 250.$$

Ausgelotet!

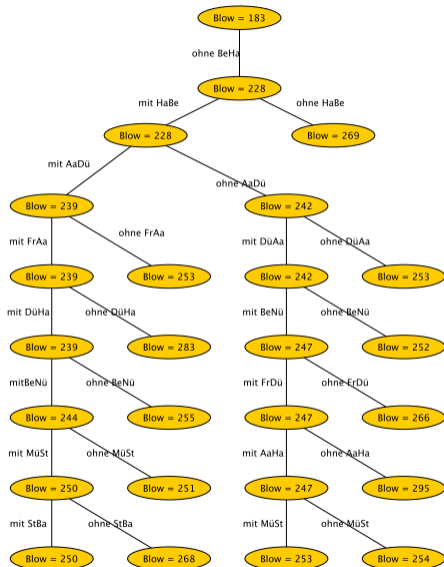


	Fr	Mü
Ba	0	4
Nü	$\infty$	0

Wähle BaFr und NüMü.

$\Rightarrow$  bekannte Tour mit  $B_{up} = 250$ .





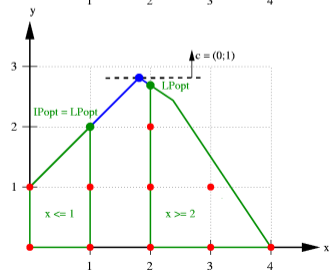
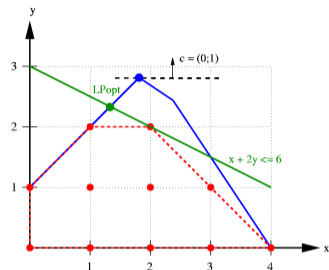


# Zusammenfassung

- Branch-and-Bound: **Problem aufteilen** in Teilprobleme und Teilprobleme lösen
- Bildung der Teilprobleme durch **Fixierung von Variablen**
- Verwendung von **oberen und unteren Schranken**, um Teilprobleme möglichst schnell ausloten zu können
- Maximierung: obere Schranken durch **Relaxationen**, untere durch **Heuristiken**

## Kapitel 5

## Branch-and-Cut



# Inhalt

## 5 Branch-and-Cut

- Branch-and-Cut
- Separation für TSP
- Praktischer Einsatz von Branch-and-Cut

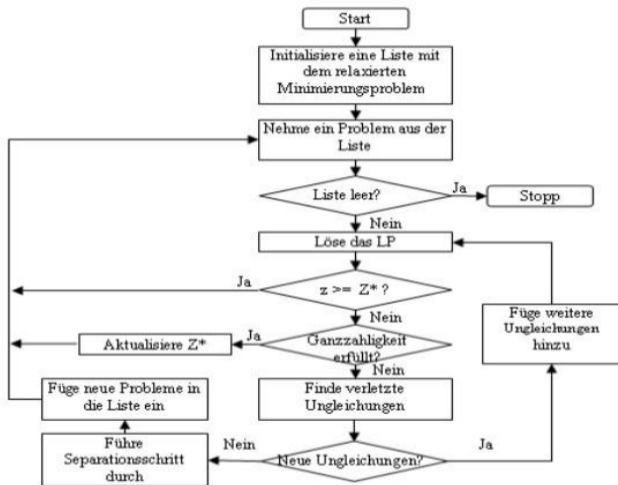
# Branch-and-Cut

- Verwende **Branch-and-Bound als übergeordneten Algorithmus**.
- Nutze **LP-Relaxationen** zur Bestimmung oberer Schranken für die Teilprobleme  $P_i$ .
- Falls Lösung der LP-Relaxation nicht zu einer Auslotung führt:
  - ☞ Versuche durch **Schnittebenen** die obere Schranke zu verringern.
  - ☞ Im Idealfall führt dies zu einem ausgeloteten Teilproblem  $P_i$ .
- Branching erst dann, wenn weitere Schnittebenen “nichts mehr bringen”.
- Als Schnittebenen nutzen wir i. d. R. **problemspezifische gültige Ungleichungen**.

# Branch-and-Cut-Algorithmus

## Algorithmus 5.1 (für Maximierungsprobleme)

- 1  $\mathcal{P} := \{LP\text{-Relaxation von } P\}$   
 $z^* :=$  Wert einer heuristischen Lösung (oder  $-\infty$ )
- 2  $\mathcal{P} = \emptyset$ ? Wenn ja, dann **STOP!**  
Wähle  $P \in \mathcal{P}$ .  $\mathcal{P} := \mathcal{P} \setminus \{P\}$
- 3 Löse  $P$ . Sei  $z$  der zugehörige Zielfunktionswert.
- 4  $z \leq z^*$ ? Wenn ja, dann **gehe zu 2**.
- 5 Ist die Lösung von  $P$  ganzzahlig? Wenn, ja dann aktualisiere eventuell  $z^*$  und **gehe zu 2**.
- 6 Suche eine verletzte gültige Ungleichung.  
Wenn Ungleichung gefunden, dann füge diese  $P$  hinzu und **gehe zu 3**.
- 7 Wähle aus der Lösung von  $P$  eine gebrochene Variable  $x_i$  und erzeuge damit zwei neue Probleme  $P_1$  und  $P_2$ .  
Setze  $\mathcal{P} := \mathcal{P} \cup \{P_1, P_2\}$  und **gehe zu 2**.



# Diskussion Branch-and-Cut

- Der Unterschied zum reinen Branch-and-Bound besteht im Schritt 6.
- Hier werden üblicherweise Ungleichungen verwendet, die **speziell für eine Problemklasse sind**.
- **Separationsproblem**: Welche gültigen Ungleichungen werden von einer optimalen Lösung einer LP-Relaxation verletzt?
- Die Effizienz eines Branch-and-Cut-Algorithmus wird maßgeblich von der **Güte der erkannten verletzten Ungleichungen und der Effizienz der Separation** beeinflusst.

Wir untersuchen den Branch-and-Cut-Ansatz am **Beispiel des Traveling-Salesman-Problems**.

# TSP als lineares Programm: Variablen und Zielfunktion

Vollständiger Graph  $(V, E)$  mit Knotenmenge  $V = \{v_1, \dots, v_n\}$ .

$c_{ij}$  bzw.  $c_e$  sei die **Länge der Kante**  $e = \{v_i, v_j\}$ .

Wegen **Symmetrie** gelte stets  $i < j$ .

$$x_{ij} = x_e = \begin{cases} 1 & \text{Kante } e = \{v_i, v_j\} \text{ ist in Tour enthalten} \\ 0 & \text{sonst} \end{cases}$$

Zielfunktion:

$$\min \sum_{i=1}^n \sum_{j=i+1}^n c_{ij} x_{ij} \quad \text{bzw.} \quad \min \sum_{e \in E} c_e x_e$$



## Menge der Schnittkanten

### Definition 5.2

Es sei  $G = (V, E)$  ein Graph und  $S \subseteq V$ . Die Menge


$$\delta(S) = \{e = \{v, w\} \in E \mid v \in S, w \in V \setminus S\}.$$

heißt **Menge der Schnittkanten** von  $S$ .

Für einen einzelnen Knoten  $v \in V$  schreiben wir kurz  $\delta(v) := \delta(\{v\})$ .

**Bemerkung:**  $\delta(v)$  besteht aus allen Kanten, die inzident zu  $v$  sind.

### Beispiel 5.3

Beispiele für die Menge der Schnittkanten. 

# Bezeichnungen für TSP

## Definition 5.4

Es sei  $G = (V, E)$  ein vollständiger Graph.

Für eine **Kantenteilmenge**  $F \subseteq E$  bezeichne

$$x(F) = \sum_{e \in F} x_e.$$

Für eine **Knotenteilmenge**  $S \subseteq V$  bezeichne

$$x(S) = x(E(S)) \text{ mit } E(S) = \{e = \{v, w\} \mid v, w \in S\}.$$

## Gültige Ungleichungen für das TSP (1)

In einer TSP-Tour ist jeder Knoten inzident mit genau zwei Kanten.

Für  $i = 1, \dots, n$ :

$$\sum_{j=1}^{i-1} x_{ji} + \sum_{j=i+1}^n x_{ij} = 2,$$

oder kurz: für alle  $v \in V$  gilt

$$x(\delta(v)) = 2.$$

Grad-Gleichungen



## Gültige Ungleichungen für das TSP (2)

Jede Kante ist an einer TSP-Tour mit einem Gewicht von höchstens 1 beteiligt.

Für  $1 \leq i < j \leq n$ :

$$0 \leq x_{ij} \leq 1,$$

bzw. für alle  $e \in E$  gilt:

$$0 \leq x_e \leq 1.$$

Variablenbeschränkungen (triviale Ungleichungen)



## Gültige Ungleichungen für das TSP (3)

Für jede echte Teilmenge  $S \subsetneq V$  ist der induzierte Untergraph  $T(S)$  einer TSP-Tour  $T$  kreisfrei, enthält also höchstens  $|S| - 1$  Kanten.

Für  $3 \leq |S| \leq n - 1$ :

$$\sum_{v_i, v_j \in S, i < j} x_{ij} \leq |S| - 1,$$

oder kurz

$$x(S) \leq |S| - 1.$$

Subtour Elimination Constraints (SEC)



# Diskussion Subtour Elimination Constraints

- Alternative Formulierung:

$$x(\delta(S)) \geq 2.$$

- Erste Formulierung besser für „kleine“  $S$ , zweite für „große“  $S$ .
- Es genügt, SECs für  $3 \leq |S| \leq \frac{n}{2}$  zu formulieren.
- **Problem:** Die Anzahl der Subtour Elimination Constraints wächst exponentiell in  $n$ .
- **Lösungsansatz:**
  - ▶ Beginne nur mit den Grad-Gleichungen als LP-Relaxation.
  - ▶ Falls die Lösung der LP-Relaxation eine der gültigen Ungleichungen verletzt, nehme diese zur Relaxation hinzu.
- Mit diesem Ansatz lösen wir nun einige TSP-Probleme.

# Beispiele für TSP mit Schnittebenen (1)

## Beispiel 5.5

TSP von Folie 238.

LP: Grad-Ungleichungen für alle Knoten

$$z = 189$$

Verletzte Ungleichungen:

- Variablenbeschränkungen für:  
AaDü, BeHa, MüNü
- Subtour für: Ba – Fr – St



## Fortsetzung Beispiel.

Nehme entsprechende Ungleichungen hinzu.

$$z = 250$$


- ☞ Optimale Lösung der LP-Relaxation ist (die bekannte) zulässige TSP-Tour!
- ☞ Branching war nicht erforderlich!





## Beispiele für TSP mit Schnittebenen (2)


### Beispiel 5.6

Beispiel mit  $n = 17$  aus TSPLIB (gr17).  Tafel.

LP-Relaxationen siehe Homepage.

Wiederum ist kein Branching notwendig.

### Beispiel 5.7

Beispiel mit  $n = 13$  aus TSPLIB (gr13).  Tafel.

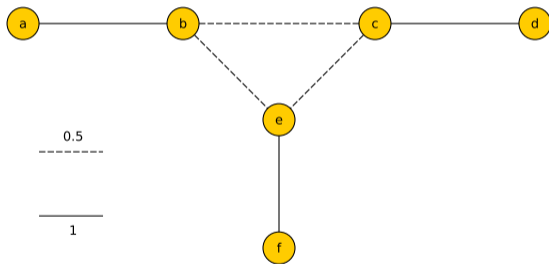
Im Gegensatz zu den beiden vorangegangenen Beispielen treten hier **Brüche bei den optimalen Lösungen der Relaxation** auf.

Trotzdem genügen die bekannten Ungleichungen, um das Problem zu lösen.

LP-Relaxationen siehe Homepage.

## 2-Matching-Ungleichungen (1)

Bei der Lösung einer TSP-Relaxation kann die folgende Situation (als Teil der gesamten Lösung) auftreten.



Hier ist **keine der uns bekannten gültigen Ungleichungen verletzt**. Was tun?

## 2-Matching-Ungleichungen (2)

Von den sechs Kanten können **höchstens vier** an einer TSP-Tour beteiligt sein.

- Es können maximal zwei der Kanten  $\{b, c\}$ ,  $\{b, e\}$ ,  $\{c, e\}$  enthalten sein, sonst wäre die SEC für  $S = \{b, c, e\}$  verletzt.
- Wenn zwei Kanten von  $\{b, c\}$ ,  $\{b, e\}$ ,  $\{c, e\}$  enthalten sind, z. B.  $\{b, c\}$  und  $\{c, e\}$ , dann ist eine äußere Kante nicht enthalten, hier  $\{c, d\}$ .
- Damit folgt:

$$x_{a,b} + x_{b,c} + x_{b,e} + x_{c,e} + x_{c,d} + x_{e,f} \leq 4$$

ist eine **gültige Ungleichung**, die die dargestellte Situation separiert.

## 2-Matching-Ungleichungen (3)

Zur Definition einer 2-Matching-Ungleichung benötigen wir:

- 1 eine Knotenmenge (**handle**)  $H \subseteq V$  mit  $3 \leq |H|$ ,
- 2 eine Kantenmenge (**teeth**)  $T \subseteq \delta(H)$  mit
  - ▶ einer **ungeraden Anzahl an Kanten**,
  - ▶ die keinen Knoten gemeinsam haben, also  $e \cap e' = \emptyset$  für alle  $e, e' \in T$  mit  $e \neq e'$ .

Die **2-Matching-Ungleichung** lautet dann:

$$x(H) + x(T) \leq |H| + \left\lfloor \frac{|T|}{2} \right\rfloor.$$

## Herleitung der 2-Matching-Ungleichungen

- Vorzeichenbedingungen für alle  $e \in \delta(H) \setminus T$ :

$$-x_e \leq 0.$$

- Variablenbeschränkungen für alle  $e \in T$ :

$$x_e \leq 1.$$

- Gradgleichungen für alle  $v \in H$  als  $\leq$ -Ungleichung:

$$x(\delta(v)) \leq 2.$$

Wir multiplizieren alle Gleichungen mit  $\frac{1}{2}$  und summieren auf.

Damit erhalten wir:

$$\begin{array}{rcl}
 & -\frac{1}{2}x(\delta(H) \setminus T) & \leq 0 \\
 & \frac{1}{2}x(T) & \leq \frac{1}{2}|T| \\
 x(H) + \frac{1}{2}x(\delta(H) \setminus T) + \frac{1}{2}x(T) & \leq & |H|
 \end{array}$$

Die Summation dieser drei Ungleichungen liefert:

$$x(H) + x(T) \leq |H| + \frac{|T|}{2}.$$

Jetzt können wir die rechte Seite abrunden.

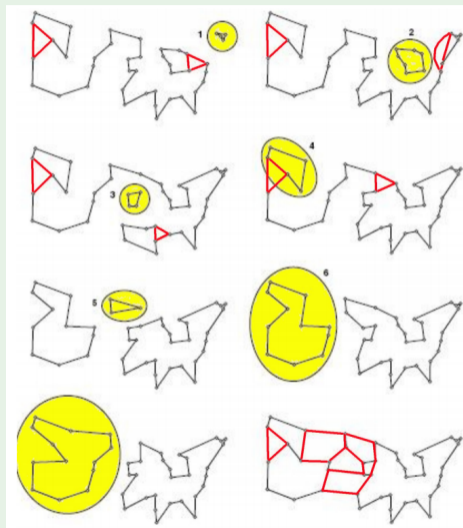
## Beispiel 5.8 (Dantzig, Fulkerson, Johnson (1954))

Problem mit 42 US-Städten aus dem Jahr 1954.

schwarz = 1, rot =  $\frac{1}{2}$

Sieben SECs liefern die Tour unten rechts.

Hier ist keine SEC mehr verletzt, aber **eine 2-Matching-Ungleichung**.

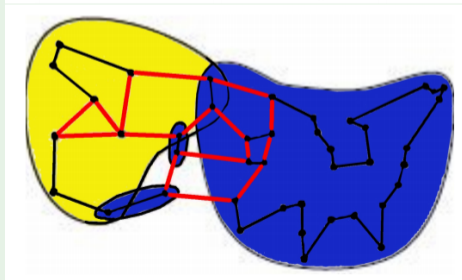
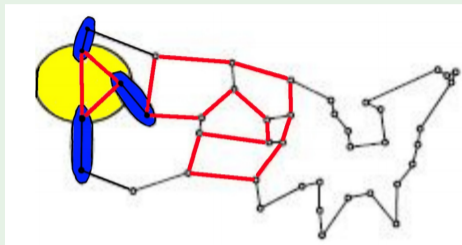


## Fortsetzung Beispiel.

Die Grafik oben zeigt die verletzte 2-Matching Ungleichung.

Nach Separation erhalten wir die Lösung unten.

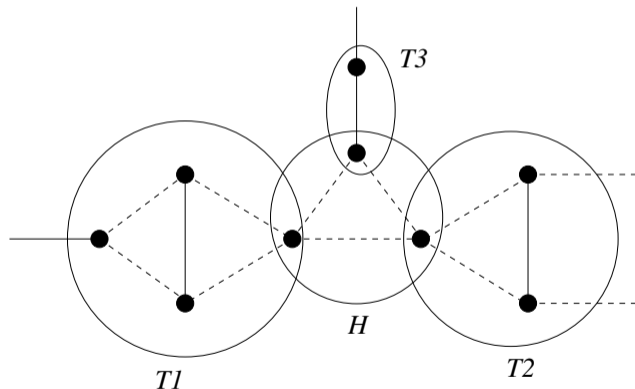
Die hier verletzte Ungleichung ist eine Verallgemeinerung einer 2-Matching-Ungleichung.





# Comb-Ungleichungen (1)

2-Matching-Ungleichungen sind ein Spezialfall von **Comb-Ungleichungen**.



## Comb-Ungleichungen (2)

Für eine Comb-Ungleichung benötigen wir:

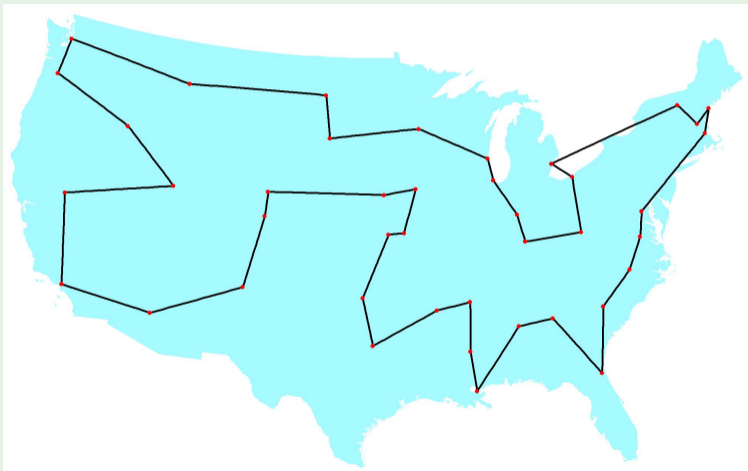
- ① eine Knotenmenge (**handle**)  $H \subseteq V$
- ② eine ungerade Anzahl an Knotenmengen (**teeth**)  $T_1, \dots, T_k \subseteq V$  für die gilt:
  - ▶  $T_i \cap T_j = \emptyset$  für  $1 \leq i < j \leq k$ ,
  - ▶  $H \cap T_i \neq \emptyset$  für  $1 \leq i \leq k$ ,
  - ▶  $T_i \setminus H \neq \emptyset$   $1 \leq i \leq k$ .

Die **Comb-Ungleichung** lautet dann:

$$x(H) + \sum_{i=1}^k x(T_i) \leq |H| + \sum_{i=1}^k |T_i| - \left\lceil \frac{3k}{2} \right\rceil.$$

## Beispiel 5.9

Separation der Comb-Ungleichung von Beispiel 5.8 führt zur optimalen Lösung.



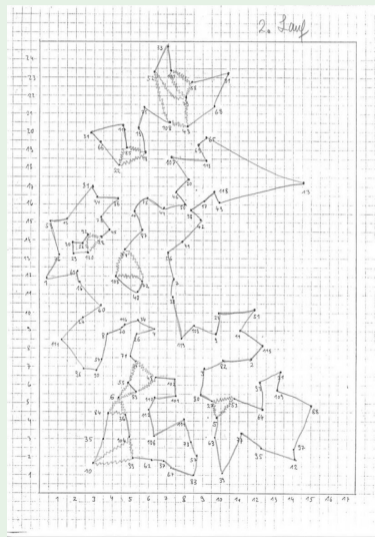
## Beispiel 5.10 (Grötschel (1977))

Grötschel 1977, 120 Städte in Deutschland,  
damals Weltrekord

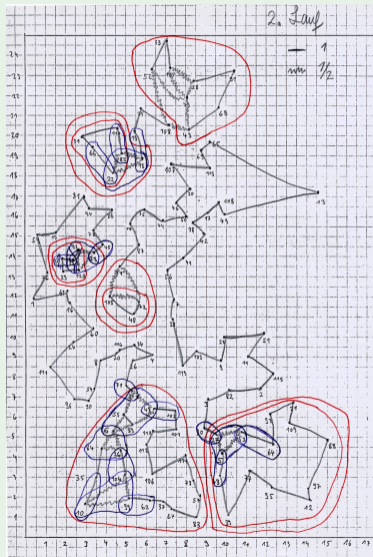
LP-Solver löst die Relaxationen, die dann  
gezeichnet werden.

Anhand der Zeichnung werden neue verletzte  
Ungleichungen identifiziert.

Welche SECs und 2-Matching-Ungleichung  
können Sie erkennen?



## Fortsetzung Beispiel.



# Separationsverfahren

- Für die effiziente Lösung eines TSP müssen wir eine **verletzte gültige Ungleichung algorithmisch effizient erkennen** können.
- Hierzu können Heuristiken und exakte Verfahren eingesetzt werden.
- Grundlage für diese Verfahren ist der **stützende Graph** für die Lösung einer Relaxation.
- Die **Separation von verletzten Variablenbeschränkungen** ist offensichtlich trivial.
- Im Folgenden betrachten wir die **Separation von SECs**.

# Support Graph

## Definition 5.11

Es sei der vollständige Graph  $G = (V, E)$  für ein TSP und  $\mathbf{x}$  die optimale Lösung einer LP-Relaxation.

Dann heißt der Graph  $G(\mathbf{x}) = (V, E')$  mit

$$E' = \{e \in E \mid x_e > 0\}$$

**stützender Graph (support Graph)** von  $\mathbf{x}$ .

Wir ordnen dabei der Kante  $e \in E'$  das Gewicht  $x_e$  zu.

- Der Stützgraph enthält also genau die Kanten, die zu **Entscheidungsvariablen mit einem positiven Wert** gehören.
- Wir haben in unseren Beispielen **schon implizit mit stützenden Graphen gearbeitet**.

## Separation von SECs: Zusammenhang

Wir beginnen mit einer **sehr einfachen Heuristik**.

### Lemma 5.12

*Es sei  $G(\mathbf{x})$  ein stützender Graph.*

*Dann gilt: Wenn  $G(\mathbf{x})$  nicht zusammenhängend ist, dann bildet jede ZHK eine verletzte SEC.*

### Folgerung:

- Mittels Tiefen- oder Breitensuche können wir effizient verletzte SECs erkennen.
- In Beispiel 5.8 trifft dies auf **6 von 7 SECs** zu.



## Separation von SECs: Schnitt

Grundlage für alle exakten Separationsverfahren für SECs ist das folgende Lemma.

### Lemma 5.13

*Es sei  $G(\mathbf{x})$  ein stützender Graph.*

*Die SEC für eine Knotenmenge  $S$  ist genau dann verletzt, wenn*

$$x(\delta(S)) < 2$$

*gilt, d. h. die Schnittkanten zu  $S$  haben in  $G(\mathbf{x})$  eine Kapazität (Gewicht)  $< 2$ .*

### Folgerung:

- Wir berechnen einen **minimalen Schnitt für  $G(\mathbf{x})$** .
- Wenn dieser Schnitt eine Kapazität  $< 2$  hat, haben wir eine verletzte SEC gefunden.

# Schnitte berechnen

- gerichteter Graph mit ausgezeichneter Quelle  $s$  und Senke  $t$ : **Ford-Fulkerson- bzw. Edmonds-Karp-Algorithmus** zur Berechnung eines Maximalflusses bzw. eines minimalen Schnitts.
- prinzipiell möglich: Wir ersetzen im Stützgraph  $G(\mathbf{x})$  jede **ungerichtete Kante durch zwei gerichtete Kanten** und
- lösen das **Maximalflussproblem für jede mögliche  $s, t$ -Menge**.
- also:  $\frac{n(n-1)}{2}$  Fluss-/Schnittprobleme
- **ist polynomiell!**
- Verbesserung mit dem **Gomory-Hu-Algorithmus** auf  $n - 1$  Fluss-/Schnittprobleme.

## Reduktionsverfahren für SECs (1)

Insbesondere für eine exakte Separation von SECs bietet es sich an, den Stützgraph vor Berechnung der Schnitte zu „schrumpfen“.

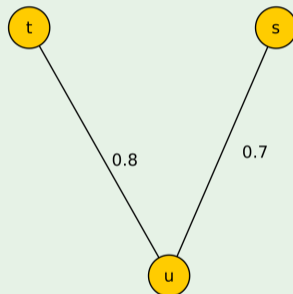
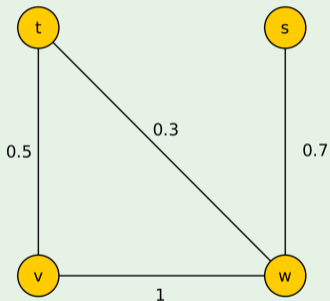
### Algorithmus 5.14 (Padberg/Crowder)

*Solange es Kanten  $e = \{v, w\}$  mit Gewicht  $x_e = 1$  gibt, wiederhole:*

- 1 *Wähle eine Kante  $e = \{v, w\}$  mit Gewicht 1.*
- 2 *Ersetze die Kante  $e$  durch einen neuen Knoten  $u$ .*
- 3 *Wenn es einen oder mehrere Knoten  $t$  gibt, die zu beiden Knoten  $v$  und  $w$  adjazent sind, dann ersetze die Kanten  $\{v, t\}$  und  $\{w, t\}$  durch eine Kante  $\{u, t\}$  mit Gewicht  $x_{\{u,t\}} = x_{\{v,t\}} + x_{\{w,t\}}$ .*
- 4 *Wenn es einen oder mehrer Knoten  $t$  gibt, die entweder nur zu  $v$  oder nur zu  $w$  adjazent sind, so ersetze die jeweilige Kante durch  $\{u, t\}$  mit dem gleichen Gewicht wie zuvor.*

## Reduktionsverfahren für SECs (2)

### Beispiel 5.15



# Vor-und Nachteile von Branch-and-Cut

## Vorteile:

- Für viele Probleme führt der Branch-and-Cut-Ansatz zu vergleichsweise effizienten Lösungsalgorithmen.
- Für die Lösung der LP-Relaxationen stehen leistungsfähige LP-Solver zur Verfügung.

## Nachteile:

- **hoch spezialisierter Ansatz:** Schnittebenen und Separation sind problemspezifisch.
- **theoretische Hürde:** Es müssen leistungsfähige Schnittebenen bekannt sein, in Verbindung mit effizienten Separationsalgorithmen.
- **hoher Implementierungsaufwand:** Die Separationsalgorithmen selbst können sehr komplex sein.

# Branch-and-Cut mit rein ganzzahligen Lösungen (1)

**Problem:** Wir wären gerne in der Lage, **schnell einen Prototyp zu implementieren**, um die Leistungsfähigkeit eines Branch-and-Cut-Ansatzes für ein Optimierungsproblem einschätzen zu können.

## Idee:

- Einsatz **moderner leistungsfähiger Solver** für die **ganzzahlige Programmierung**.
- Wir nutzen die eingebauten Techniken der Solver, um die LP-Relaxationen **optimal ganzzahlig** zu lösen.
- Separation nur auf den **ganzzahligen Lösungen**

## Branch-and-Cut mit rein ganzzahligen Lösungen (2)

Das beschriebene Verfahren eignet sich für kombinatorische Optimierungsprobleme mit einer großen Anzahl an Nebenbedingungen in der LP-Formulierung (Beispiel: TSP).

### Algorithmus 5.16

*Es sei  $I$  eine Probleminstance eines kombinatorischen Optimierungsproblems.*

- 1 *Lege eine LP-Relaxation  $P$  für  $I$  fest.*
- 2 *Bestimme eine ganzzahlige Lösung  $x$  für  $P$ .*
- 3 *Ist  $x$  zulässig für  $I$ ? Wenn ja, dann **STOP!***
- 4 *Bestimme für  $x$  eine verletzte gültige Ungleichung und füge diese  $P$  hinzu.*

*Gehe zu 2.*

## Beispiel TSP

Wenn wir nur ganzzahlige Lösungen der LP-Relaxationen betrachten,

- dann ist durch Gradgleichungen und **SECs das Problem vollständig beschrieben**.
- Die Variablenbeschränkungen entsprechen **SECs auf zwei Knoten**.
- Die **Separation für SECs ist sehr einfach zu implementieren**.

**Fazit:** Geringer Aufwand zur Implementierung eines TSP-Solvers.

Mit diesem einfachen Ansatz kann man schon erstaunliches erreichen.



# Anwendung TSP

## Beispiel 5.17

Lösungszeiten (real time) für TSP-Probleme auf i5-8250U CPU (4 Kerne/8 Threads)  
Notebook mit Gurobi 9 als ILP-Solver:

Problem	#Städte	Zeit
gr21	21	0,016s
fri26	26	0,032s
gr48	48	0,312s
gr96	96	1,636s
rd100	100	0,558s
gr120	120	2,079s

Problem	#Städte	Zeit
bier127	127	0,679s
gr202	202	5,367s
gr229	229	19,521s
rd400	400	1m30,070s
gr431	431	7m37,847s
gr666	666	3m45,436s

Alle Probleme stammen aus der [TSPLIB](#).

# Linear Ordering Problem

Gegeben seien  $n$  Objekte  $o_1, \dots, o_n$ , die in eine Reihenfolge gebracht werden sollen.

Gesucht ist also eine Permutation der  $n$  Objekte.

Wenn in der Permutation Objekt  $o_i$  (irgendwo) vor Objekt  $o_j$  steht, dann fällt Nutzen/Kosten  $c_{ij}$  an.

Welche Reihenfolge ist optimal?

# Linear Ordering Problem als LP

Variablen

$$x_{ij} = \begin{cases} 1 & o_i \text{ ist vor } o_j \\ 0 & \text{sonst} \end{cases}$$

Maximiere

$$\min \sum_{i=1}^n \sum_{j=1, j \neq i}^n c_{ij} x_{ij}$$

unter den Nebenbedingungen

$$x_{ij} + x_{ji} = 1 \text{ für alle } i < j$$

$$x_{ij} + x_{jk} + x_{ki} \leq 2 \text{ für alle } i < j, i < k, j \neq k$$

$$x_{ij} \in \{0, 1\}.$$

Die Ungleichungen heißen **Dicycle**-Ungleichungen.

# Diskussion Linear Ordering Problem

- LOP ist (als Entscheidungsproblem) **NP-vollständig**.
- $O(n^3)$  viele **Dicycle-Ungleichungen**, problematisch für größere  $n$
- einfacher Branch-and-Cut-Ansatz:
  - ▶ beginne nur mit den Gleichungen  $x_{ij} + x_{ji} = 1$ ,
  - ▶ prüfe in einer ganzzahligen Lösung, ab alle Dicycle-Ungleichungen erfüllt sind und
  - ▶ füge verletzte Dicycle-Ungleichungen der Relaxation hinzu.

# LP-Solver-Frameworks

- Die modernen LP-Solver bieten ein **Framework** für die Entwicklung von Algorithmen an.
- Man kann nicht nur einen LP-Solver nutzen, sondern über das Framework **selbst in die Lösung eingreifen**.
- Hierzu registriert man beim Solver eine **Callback-Funktion**, die bei bestimmten Ereignissen aufgerufen wird.
- Die Callback-Funktion kann dazu genutzt werden
  - ▶ **Schnittebenen** zu erzeugen und
  - ▶ **heuristische Lösungen** zu generieren.

# Beispiel Gurobi

## Reference Manual

- **Monitoring Progress - Logging and Callbacks**
  - ▶ GRBsetcallbackfunc
  - ▶ GRBcbget
- **Modifying Solver Behavior - Callbacks**
  - ▶ GRBcbcut
  - ▶ GRBcblazy
  - ▶ GRBcbsolution
- **Callback Codes**
  - ▶ MIPNODE
  - ▶ MIPSOL

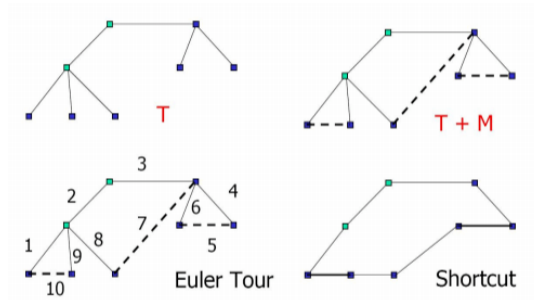
Examples: Gurobi TSP Beispiel

# Zusammenfassung

- Branch-and-Cut: Branch-and-Bound in Verbindung mit **problemspezifischen Schnittebenen** und **effizienter Separation**
- sehr erfolgreich bei der Suche nach optimalen Lösungen
- Schnittebenen für TSP: **SECs**, **2-Matching-** und **Comb-Ungleichungen**
- hoher Implementierungsaufwand
- praktischer Ansatz:
  - ▶ Separation **rein ganzzahliger Lösungen**
  - ▶ Nutzung leistungsfähiger **LP-Solver als Branch-and-Cut-Framework**

## Kapitel 6

## Heuristiken und Approximation





# Inhalt

## 6 Heuristiken und Approximation

- Approximationsalgorithmen
- Approximation mithilfe von Greedy-Algorithmen
- Dynamische Programmierung und Approximationsschemata
- LP und randomisiertes Runden

# Lösungsansatz und Fragen

## Ansatz:

- Wir verzichten auf die Forderung nach Optimalität.
- Es genügt uns, wenn eine Lösung **fast optimal** ist.
- Wir versuchen, auch **Aussagen über die Güte einer Lösung** herzuleiten.

## Fragen:

- Wie können wir zu einem Problem einen **Algorithmus finden**, der für jede beliebige Instanz eine nahezu optimale Lösung liefert?
- Wie können wir **“nahezu optimal” quantifizieren**? Können wir eine **Schranke für die Güte** einer Lösung beweisen?
- Ist solch eine ermittelte **Schranke scharf**?
- Gibt es **Grenzen für diese Güteschranken**?

# Methoden für den Entwurf von Approximationsalgorithmen

- Greedy-Algorithmen
- Dynamische Programmierung
- LP-Relaxationen
- Lokale Suche und Metaheuristiken

# Optimierungsproblem aus Sicht der Approximation

## Definition 6.1

Ein **Optimierungsproblem**  $\Pi$  besteht aus

- einer Menge  $\mathcal{I}_\Pi$  von **Instanzen** oder **Eingaben**.
- Zu jeder Instanz  $I \in \mathcal{I}_\Pi$  gehört eine Menge  $\mathcal{S}_I$  von (zulässigen) **Lösungen** und
- eine **Zielfunktion**  $f_I : \mathcal{S}_I \rightarrow \mathbb{R}$ , die jeder (zulässigen) Lösung einen reellen Wert zuordnet.
- Zusätzlich ist vorgegeben, ob wir eine Lösung mit **minimalem** oder **maximalen Wert**  $f_I(x)$  suchen.

Für eine Instanz  $I \in \mathcal{I}_\Pi$  bezeichnet  $\text{OPT}(I)$  den **Wert einer optimalen Lösung**.

Geht die Instanz  $I$  aus dem Kontext hervor, schreiben wir auch kurz  $\text{OPT}$  statt  $\text{OPT}(I)$ .

## Beispiel 6.2

- Eine Instanz  $I$  von **MST (minimum spanning tree problem, Minimalgerüst)** wird durch einen ungerichteten Graphen  $G = (V, E)$  und Kantengewichte  $c : E \rightarrow \mathbb{N}$  beschrieben.
- Die Menge  $\mathcal{S}_I$  der Lösungen ist die Menge aller Gerüste (aufspannender, zusammenhängender, kreisfreier Untergraph) für den Graphen  $G$ .
- Sei  $T = (V, F) \in \mathcal{S}_I$  ein Gerüst von  $G$ . Dann lautet die Zielfunktion:

$$f_I(T) = \sum_{e \in F} c(e).$$

Sie weist jedem Gerüst  $T \in \mathcal{S}_I$  ein Gewicht zu.

- Wir möchten minimieren. Also:

$$\text{OPT}(I) = \min_{T \in \mathcal{S}_I} f_I(T).$$

# Approximationsalgorithmus

## Definition 6.3

Ein **Approximationsalgorithmus**  $A$  für ein Optimierungsproblem  $\Pi$  ist ein Polynomialzeitalgorithmus, der zu jeder Instanz  $I$  eine Lösung aus  $\mathcal{S}_I$  ausgibt.

Wir bezeichnen mit  $A(I)$  die **ausgegebene Lösung** für die Instanz  $I$  und mit  $w_A(I) = f_I(A(I))$  ihren **Wert**.

### Bemerkung:

- Je näher  $w_A(I)$  dem optimalen Wert  $\text{OPT}(I)$  ist, desto besser ist der Algorithmus.

# Approximationsgüte

## Definition 6.4

Ein Approximationsalgorithmus  $A$  für ein Minimierungs- bzw. Maximierungsproblem  $\Pi$  hat eine **Approximationsgüte** von  $r \geq 1$  bzw.  $r \leq 1$ , wenn

$$w_A(I) \leq r \cdot \text{OPT}(I) \quad \text{bzw.} \quad w_A(I) \geq r \cdot \text{OPT}(I)$$

für alle Instanzen  $I \in \mathcal{S}_I$  gilt. Wir sagen dann, dass  $A$  ein  **$r$ -Approximationsalgorithmus** ist.

### Fortsetzung Definition.

Hängt der Approximationsfaktor von der Länge der Eingabe ab, dann ist

$$r : \mathbb{N} \rightarrow [1, \infty) \quad \text{bzw.} \quad r : \mathbb{N} \rightarrow [0, 1]$$

eine Funktion und es muss

$$w_A(I) \leq r(|I|) \cdot \text{OPT}(I) \quad \text{bzw.} \quad w_A(I) \geq r(|I|) \cdot \text{OPT}(I)$$

für alle Instanzen  $I \in \mathcal{S}_I$  gelten. Hierbei bezeichnet  $|I|$  die **Länge der Eingabe**.



# Diskussion Approximationsgüte

- Haben wir für ein Minimierungsproblem einen 2-Approximationsalgorithmus, so bedeutet dies, dass der Algorithmus für jede Instanz eine Lösung berechnet, deren Wert **höchstens doppelt so groß** ist wie der optimale Wert.
- Haben wir einen  $\frac{1}{2}$ -Approximationsalgorithmus für ein Maximierungsproblem, so berechnet der Algorithmus für jede Instanz eine Lösung, deren Wert **mindestens halb so groß** ist wie der optimale Wert.

- Ein Polynomialzeitalgorithmus für ein Optimierungsproblem, der stets eine optimale Lösung berechnet, ist ein **1-Approximationsalgorithmus**.
- Ist ein Optimierungsproblem NP-schwer, so kann, **unter der Voraussetzung  $P \neq NP$ , kein 1-Approximationsalgorithmus existieren**.
- Es wäre aber durchaus **möglich, dass ein 1.01-Approximationsalgorithmus existiert**, also ein Algorithmus mit polynomieller Laufzeit, der stets eine Lösung berechnet, deren Wert höchstens um 1% größer als der optimale Wert ist.

# Beispiel Approximationsgüte: TSP

## Beispiel 6.5

Aus der Graphentheorie kennen sie den folgenden **2-Approximationsalgorithmus für das metrische TSP (Traveling Salesman Problem)**.

Eine Instanz wird beschreiben durch eine Knotenmenge  $V$  und eine Metrik  $d$  auf  $V$ .

- 1 Sei  $G = (V, E)$  der vollständiger Graph mit Knotenmenge  $V$ . Berechne ein Minimalgerüst  $T$  von  $G$  bezüglich der Metrik  $d$ .
- 2 Führe auf  $T$  eine Tiefensuche aus und vergebe dabei die Tiefensuchnummern in der Reihenfolge der Knotenbesuche.
- 3 Gebe die Knoten in der Reihenfolge der Tiefensuchnummern aus, zusätzlich den Startknoten am Ende nochmals. Dies beschreibt einen Hamiltonkreis  $C$  als Lösung.

## Beispiel Approximationsgüte: Rucksackproblem

### Beispiel 6.6

- Der Algorithmus **GreedyKP** kann **beliebig schlechte Lösungen** liefern.
- Durch eine einfache Anpassung erreichen wir einen  $\frac{1}{2}$ -**Approximationsalgorithmus**.
- siehe Folie 232 ff.

# Greedy

- Paradigma für Optimierungsprobleme
- **greedy** = gierig, gefräßig
- Man versucht ein Optimierungsproblem durch **lokale Auswahl eines jeweils besten Elements unter Beachtung der Nebenbedingungen** zu lösen.
- Allgemein liefert dies **keine optimale Lösung** sondern nur irgendeine Lösung.



# Teilmengensystem

Wir betrachten Greedy-Algorithmen formal auf der Basis von **Teilmengensystemen**.

## Definition 6.7

Es sei  $E$  eine endliche Menge und  $\mathcal{T}$  eine nichtleere Menge von Teilmengen von  $E$ .

Das Mengensystem  $(E, \mathcal{T})$  heißt **Teilmengensystem**, wenn für alle  $A, B \subseteq E$  gilt:

$$A \in \mathcal{T} \text{ und } B \subseteq A \implies B \in \mathcal{T}$$

d. h., jede der Teilmengen in  $\mathcal{T}$  ist bezüglich  $\subseteq$  abgeschlossen.

## Beispiele für Teilmengensysteme

### Beispiel 6.8

- ① Es sei  $E = \{e_1, \dots, e_n\}$  eine beliebige endliche Menge und  $k \leq n$ . Dann ist  $(E, \mathcal{T})$  mit

$$\mathcal{T} = \{A \subseteq E \mid |A| \leq k\}$$

ein Teilmengensystem.

- ② Es sei  $G = (V, E)$  ein zusammenhängender Graph. Dann ist  $(E, \mathcal{T})$  mit

$$\mathcal{T} = \{F \subseteq E \mid (V, F) \text{ ist ein kreisfreier Untergraph von } G\}$$

ein Teilmengensystem.

## Fortsetzung Beispiel.

- ③ Es sei  $G = (V, E)$  ein vollständiger Graph. Dann ist  $(E, \mathcal{T})$  mit

$$\mathcal{T} = \{F \subseteq E \mid F \text{ ist Kantenteilmenge eines Hamiltonkreis}\}$$

ein Teilmengensystem.

- ④ Es sei  $E = \{e_1, \dots, e_n\}$  eine beliebige endliche Menge und  $c : E \rightarrow \mathbb{R}_+$  eine Gewichtung der Elemente von  $E$ . Weiterhin sei  $K \in \mathbb{R}_+$ . Dann ist  $(E, \mathcal{T})$  mit

$$\mathcal{T} = \left\{ F \subseteq E \mid \sum_{e \in F} c(e) \leq K \right\}$$

ein Teilmengensystem.



# Teilmengensystem und Optimierungsproblem

## Definition 6.9

Das zu einem Teilmengensystem  $(E, \mathcal{T})$  gehörige Optimierungsproblem besteht darin, für eine beliebige Gewichtsfunktion  $w : E \rightarrow \mathbb{R}$  eine in  $\mathcal{T}$  maximale Menge  $T$  zu finden, deren Gesamtgewicht

$$w(T) := \sum_{e \in T} w(e)$$

maximal (bzw. minimal) ist.

**Bemerkung:** Eine Menge  $T \in \mathcal{T}$  ist maximal, wenn es in  $\mathcal{T}$  keine echte Obermenge von  $T$  gibt.

# Beispiele: Teilmengensystem und Optimierungsproblem

## Beispiel 6.10

- 1 MST entspricht dem Optimierungsproblem zum Teilmengensystem (2) aus Beispiel 6.8. Hierbei entspricht  $w(e)$  dem Gewicht einer Kante.
- 2 TSP entspricht dem Optimierungsproblem zum Teilmengensystem (3) aus Beispiel 6.8. Hierbei entspricht  $w(e)$  der Länge einer Kante.

# Greedy-Algorithmus

## Algorithmus 6.11 (Maximierung)

Gegeben: Teilmengensystem  $(E, \mathcal{T})$  mit  $E = \{e_1, \dots, e_n\}$

Ordne alle Elemente  $e \in E$  *absteigend nach Gewicht*:

$$w(e_1) \geq w(e_2) \geq \dots \geq w(e_n)$$

$$T = \emptyset$$

**for**  $i := 1$  **to**  $n$  **do**

**if**  $T \cup \{e_i\} \in \mathcal{T}$  **then**

$$T := T \cup \{e_i\}$$

**end**

**end**

gebe  $T$  aus

**Bemerkung:** Für eine *Minimierung* werden die Elemente von  $E$  aufsteigend sortiert, also

$$w(e_1) \leq w(e_2) \leq \dots \leq w(e_n).$$

# Anwendung von Greedy: Algorithmus von Kruskal

Optimierungsproblem: MST, siehe Beispiel 6.2.

## Algorithmus 6.12 (Kruskal)

```
 $F := \emptyset; ZHK := \emptyset; i := 0;$   
 $L :=$  Liste der Kanten aufsteigend sortiert nach ihrer Länge;  
for all  $v \in V$  do  $ZHK := ZHK \cup \{\{v\}\};$  end  
while  $|ZHK| > 1$  do  
   $i := i + 1;$   
  Es sei  $\{v, w\}$  das  $i$ -te Element von  $L$ ;  
  if  $v$  und  $w$  liegen in verschiedenen ZHKs  $K_1$  und  $K_2$  then  
     $ZHK := (ZHK \setminus \{K_1, K_2\}) \cup \{\{K_1 \cup K_2\}\};$   
     $F := F \cup \{\{v, w\}\};$   
  end  
end  
Ausgabe von  $F$ ;
```

## Diskussion Greedy-Algorithmus

Der Greedy-Algorithmus liefert nicht immer eine Menge  $T$  mit maximalem Gewicht.

### Beispiel 6.13

- 1 Sei  $E = \{a, b, c\}$  und  $\mathcal{T} = \{\emptyset, \{a\}, \{b\}, \{c\}, \{a, b\}\}$  mit  $w(a) = w(b) = 2, w(c) = 3$ .

Dann berechnet der Greedy-Algorithmus  $T = \{c\}$  mit  $w(T) = 3$ , obwohl  $T' = \{a, b\}$  mit  $w(T') = 4$  optimal ist.

- 2 Für TSP (Teilmengensystem (3) aus Beispiel 6.8) liefert der Greedy-Algorithmus i. A. keine optimale Lösung (siehe Beispiel 6.19).

**Frage:** Für welche Teilmengensysteme liefert der Greedy-Algorithmus eine optimale Lösung?

# Matroid

## Definition 6.14

Ein Teilmengensystem  $(E, \mathcal{T})$  heißt **Matroid**, wenn für alle  $A, B \in \mathcal{T}$  das folgende **Austauschaxiom** gilt:

$$|A| = |B| + 1 \implies \exists a \in A \setminus B : B \cup \{a\} \in \mathcal{T}.$$

Die Mengen in  $\mathcal{T}$  werden **unabhängige Mengen** genannt. Jede maximale unabhängige Menge heißt **Basis**.

# Kardinalität der Basen

## Lemma 6.15

*Also Basen eines Matroids haben die gleiche Kardinalität.*

## Beweis.

Ann.: Es existieren zwei Basen  $A, B$  mit  $|A| \neq |B|$ .

- O.B.d.A. gelte  $|A| > |B|$ .
- Wegen der **Teilmengensystemeigenschaft** folgt, dass eine Menge  $A' \subseteq A$  existiert mit  $|A'| = |B| + 1$ .
- Mit dem **Austauschaxiom** folgt, dass  $a \in A'$  existiert mit  $B \cup \{a\} \in \mathcal{T}$ .
- Wegen  $B \subseteq B \cup \{a\}$  ist dies ein Widerspruch zur Basiseigenschaft von  $B$ .

# Optimalität des Greedy-Algorithmus für Matroide

## Satz 6.16

*Der Greedy-Algorithmus löst das zu einem Teilmengensystem  $(E, \mathcal{T})$  gehörige Optimierungsproblem für jede Gewichtsfunktion  $w : E \rightarrow \mathbb{R}$  genau dann, wenn  $(E, \mathcal{T})$  ein Matroid ist.*

## Beweis

“ $\Leftarrow$ ”:

- Nach Lemma 6.15 haben alle Basen von  $(E, \mathcal{T})$  die gleiche Kardinalität.
- Es sei  $k$  diese Kardinalität und es sei  $T = \{e_1, \dots, e_k\}$  die vom Greedy-Algorithmus berechnete Menge  $T \in \mathcal{T}$ .  
Es gelte  $w(e_1) \geq \dots \geq w(e_k)$ .
- Es sei  $U = \{g_1, \dots, g_k\} \in \mathcal{T}$  eine andere Basis aus  $\mathcal{T}$ .  
Es gelte  $w(g_1) \geq \dots \geq w(g_k)$ .



## Fortsetzung Beweis.

- Annahme: Es existiert ein  $i$  mit  $w(g_i) > w(e_i)$ .
- Es sei  $i$  der kleinste solche Index, also  $w(g_1) \leq w(e_1), \dots, w(g_{i-1}) \leq w(e_{i-1})$ .
- Sei  $A = \{g_1, \dots, g_i\}$  und  $B = \{e_1, \dots, e_{i-1}\}$ . Mit dem **Austauschaxiom** folgt, dass  $g_j \in A \setminus B$  existiert, so dass  $B \cup \{g_j\} \in \mathcal{T}$  gilt.
- Wegen  $w(g_j) \geq w(g_i) > w(e_i)$  hätte der Greedy-Algorithmus vor  $e_i$  schon  $g_j$  genommen. Widerspruch!
- Also gilt  $w(g_i) \leq w(e_i)$  für  $1 \leq i \leq k$  und somit  $w(U) \leq w(T)$ .

## Fortsetzung Beweis.

“ $\Rightarrow$ ”: Das Austauschaxiom gelte nicht.

- Dann existieren  $A, B \in \mathcal{T}$  mit  $|A| = |B| + 1$  und  $B \cup \{a\} \notin \mathcal{T}$  für alle  $A \setminus B$ .
- Es sei  $r := |A|$  und  $w : E \rightarrow \mathbb{R}$  sei gegeben durch:

$$w(e) := \begin{cases} r + 1 & \text{für } x \in B, \\ r & \text{für } x \in A \setminus B, \\ 0 & \text{sonst.} \end{cases}$$

- Der Greedy-Algorithmus wählt dann eine Menge  $T$  mit  $T \supseteq B$  und  $T \cap (A \setminus B) = \emptyset$  und Gewicht  $w(T) = |B| \cdot (r + 1) = r^2 - 1$ .
- Wählt man stattdessen ein  $U \in \mathcal{T}$  mit  $U \supseteq A$ , dann ergibt sich  $w(U) \geq |A| \cdot r = r^2 > w(T)$ .

# Graphisches Matroid

## Folgerung 6.17

*Das Teilmengensystem von Beispiel 6.8 (2) ist ein Matroid.*

## Beweis.

- Der Kruskal-Algorithmus entspricht dem Greedy-Algorithmus für dieses Teilmengensystem und er liefert für jede Kantengewichtung eine optimale Lösung (siehe Graphentheorie).
- Mit Satz 6.16 folgt, dass das Teilmengensystem ein Matroid ist.

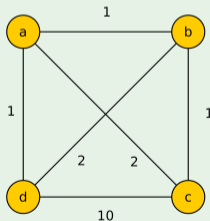
## Definition 6.18

Das Teilmengensystem von Beispiel 6.8 (2) heißt **graphisches Matroid**.

## Weitere Teilmengensysteme

### Beispiel 6.19

- Das Teilmengensystem von Beispiel 6.8 (1) ist ein Matroid. Dies lässt sich einfach direkt nachweisen.
- Das Teilmengensystem von Beispiel 6.8 (3) ist kein Matroid.  
Begründung: Der Greedy-Algorithmus liefert für den folgenden Graphen den Hamiltonkreis  $(a, b, c, d, a)$  mit Gesamtlänge 13.



Optimal wäre  $(a, c, b, d, a)$  mit Gesamtlänge 6.

# Anwendung Scheduling

## Beispiel 6.20

Gegeben Sei eine Menge  $J = \{1, 2, \dots, n\}$  von **Jobs**.

Jeder Job hat

- eine **Deadline**  $d(i)$  und
- eine **Strafe**  $p(i)$ , die bei nicht rechtzeitiger Fertigstellung gezahlt werden muss.

Pro Tag kann nur ein Job abgearbeitet werden.

Wie müssen wir die Jobs einplanen, so dass die **Gesamtstrafe minimiert** wird?

Job $i$	1	2	3	4	5	6
$d(i)$	1	1	2	3	3	6
$p(i)$	10	9	6	7	4	2

## Fortsetzung Beispiel.

$(J, \mathcal{T})$  mit

$$\begin{aligned} \mathcal{T} &:= \{P \subseteq J \mid \forall j \in P : j \text{ ist p\u00fcntlich planbar}\} \\ &= \{P \subseteq J \mid \forall n \in \mathbb{N} : |\{j \in P \mid d(j) \leq n\}| \leq n\} \end{aligned}$$

ist ein Matroid. Also nehmen wir  $p(i)$  als Gewichtsfunktion und wenden den Greedy-Algorithmus an.

Terminplan:

Job $i$	1	2	3	4	5	6
$d(i)$	1	1	2	3	3	6
$p(i)$	10	9	6	7	4	2
$t(i)$	1	5	2	3	6	4

Strafe: 13. Die Jobs 2 und 5 werden nicht rechtzeitig fertig.

# Matching

## Definition 6.21

Es sei  $G = (V, E)$  ein Graph.

Eine Kantenmenge  $M \subseteq E$  heißt **Matching**, wenn es keinen Knoten  $v \in V$  gibt, der zu mehr als einer Kante aus  $M$  inzident ist.

Ein Matching  $M \subseteq E$  heißt **(inklusions-)maximal**, wenn für alle  $e \in E \setminus M$  gilt, dass  $M \cup \{e\}$  kein Matching ist.

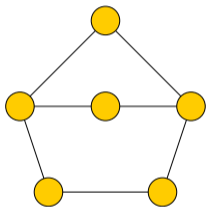
# Greedy-Algorithmus für Vertex Cover

## Algorithmus 6.22 (Matching-VC)

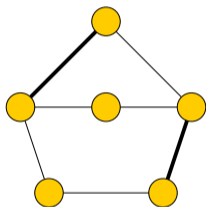
- 1 *Berechne wie folgt ein maximales Matching  $M \subseteq E$ :*
  - 1 *Setze  $M = \emptyset$ .*
  - 2 *Gehe die Kantenmenge  $E$  einmal durch. Füge dabei  $e = \{v, w\} \in E$  zu  $M$  hinzu, wenn weder  $v$  noch  $w$  inzident zu einer Kante aus  $M$  ist.*
- 2 *Sei  $V(M)$  die Menge aller Knoten, die zu einer Kante in  $M$  inzident sind. Gib  $V(M)$  aus.*



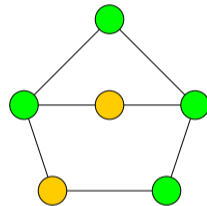
# Veranschaulichung Matching-VC



$G = (V, E)$



maximales Matching



zugehörige  
Knotenüberdeckung

# Eigenschaften von Matching-VC

## Satz 6.23

Für einen Graphen  $G = (V, E)$  hat der Algorithmus Matching-VC die folgenden Eigenschaften:

- 1 Seine Laufzeit beträgt  $O(|V| + |E|)$ .
- 2 Er berechnet stets eine Knotenüberdeckung  $G$ .
- 3 Die Approximationsgüte beträgt 2.

Matching-VC ist also ein **2-Approximationsalgorithmus** mit linearer Laufzeit.

# Beweis der Eigenschaften

## Beweis.

- ①
  - ▶ Wir numerieren die Knoten mit Zahlen  $0, \dots, |V| - 1$ .
  - ▶ Wir speichern in einem Feld für die Knoten (Knotennummer als Index), welche Knoten zu einer Kante aus  $M$  inzident sind.
  - ▶ Wir iterieren über die Kanten und testen dabei in jeder Iteration, ob wir die aktuelle Kante  $e = \{v, w\}$  zu  $M$  hinzufügen können. Laufzeit für Test und Hinzufügen ist  $O(1)$ , insgesamt also  $O(|E|)$ .
  - ▶ Wir laufen über das Knotenfeld und geben die Knoten, die als inzident markiert sind, aus. Laufzeit:  $O(|V|)$ .
- ② Annahme:  $V(M)$  ist keine Knotenüberdeckung.
  - ▶ Dann gibt es eine Kante  $e = \{v, w\}$  mit  $v, w \notin V(M)$ .
  - ▶ Damit wäre  $M \cup \{e\}$  ein Matching.
  - ▶ Somit hätte Matching-VC  $e$  zu  $M$  hinzufügen müssen. Widerspruch!

## Fortsetzung Beweis.

- 3
  - ▶ Sei  $V^*$  eine minimale Knotenüberdeckung.
  - ▶  $V^*$  deckt jede Kante aus  $M$  ab. Für jede Kante aus  $M$  muss also mindestens einer der beiden Knoten in  $V^*$  sein.
  - ▶ Kein Knoten  $v \in V^*$  kann mehr als eine Kante von  $M$  abdecken (sonst kein Matching).
  - ▶ Damit folgt:  $\text{OPT}(G) = |V^*| \geq |M|$ .
  - ▶ Für unsere konstruierte Lösung  $V(M)$  gilt  $|V(M)| = 2|M|$ .

Insgesamt folgt damit:

$$\frac{|V(M)|}{\text{OPT}(G)} \leq \frac{2|M|}{|M|} = 2.$$

# Beweis der Approximationsgüte

Zum Beweis einer **Approximationsgüte** bei einem **Minimierungsproblem** müssen wir zwei Dinge tun:

- ① Herleitung einer **oberen Schranke** für die Lösung des Approximationsalgorithmus.
  - ▶ Bei Matching-VC war dies  $2|M|$ .
- ② Herleitung einer **unteren Schranke** für den Wert der optimalen Lösung.
  - ▶ Bei Matching-VC war dies  $|M|$ .

Der Quotient dieser Schranken ist ein **Abschätzung** für die **Approximationsgüte**.

Zum Beweis einer **Approximationsgüte** bei einem Maximierungsproblem:

- ① Herleitung einer **unteren Schranke** für die Lösung des Approximationsalgorithmus.
- ② Herleitung einer **oberen Schranke** für den Wert der optimalen Lösung.

Die Schwierigkeit besteht oft darin, eine Schranke für den Wert einer optimalen Lösung zu finden.

# Set Cover

## Definition 6.24

Das Problem **Set Cover (SC)** wird wie folgt definiert:

**Eingabe:** Grundmenge  $S$  mit  $n$  Elementen,  
 $m$  Teilmengen  $S_1, \dots, S_m \subseteq S$  mit  $\bigcup_{i=1}^m S_i = S$ ,  
Kosten  $c_1, \dots, c_m \in \mathbb{N}$ .

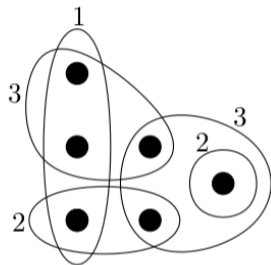
**Lösungen:** alle Teilmengen  $A \subseteq \{1, \dots, m\}$  mit:

$$\bigcup_{i \in A} S_i = S$$

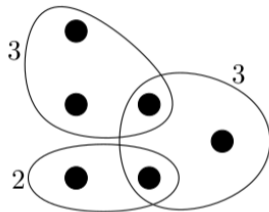
Eine Menge  $A$  mit dieser Eigenschaft nennen wir **Set Cover** von  $S$ .

**Zielfunktion:** minimiere  $c(A) = \sum_{i \in A} c_i$

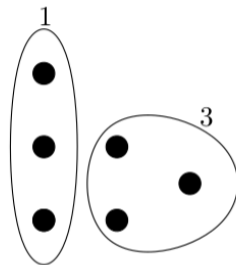
# Veranschaulichung Set Cover



(a) Instanz



(b) Set Cover mit Wert 8



(c) Set Cover mit Wert 4

## Fakt 6.25

*Das Problem Set Cover ist NP-schwer.*



# Greedy-Algorithmus für Set Cover

## Algorithmus 6.26 (Greedy-SC)

$A := \emptyset; C := \emptyset;$

**while**  $C \neq S$  **do**

Wähle  $i$  bzw.  $S_i$  mit minimalen *relativen Kosten*  $r_i(C) = \frac{c_i}{|S_i \setminus C|}$ .

Setze  $\text{price}(x) := \frac{c_i}{|S_i \setminus C|}$  für alle  $x \in S_i \setminus C$ .

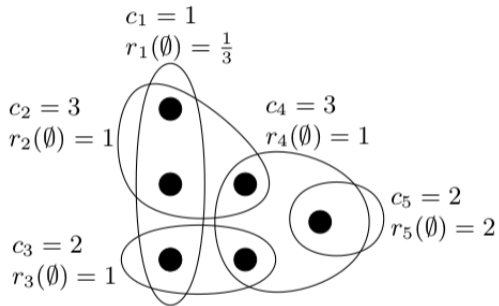
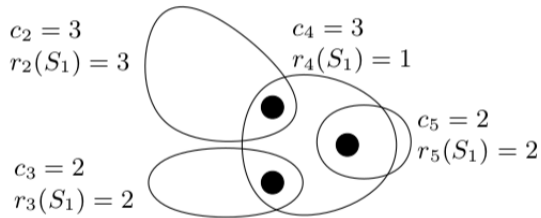
$A := A \cup \{i\}; C := C \cup S_i;$

**end**

**return**  $A$

**Bemerkung:** Die mittlere Anweisung in der Schleife dient nur der nachfolgenden Analyse.

## Veranschaulichung Greedy-SC

(a)  $S_1$  hat minimale relative Kosten(b)  $S_4$  hat minimale relative Kosten

# Eigenschaften von Greedy-SC

## Definition 6.27

Mit  $H_n = \sum_{i=1}^n \frac{1}{i}$  bezeichnen wir die  **$n$ -te harmonische Zahl**.

## Satz 6.28

*Der Algorithmus Greedy-SC ist ein  $H_n$ -Approximationsalgorithmus für das Problem Set Cover.*

## Beweis.

- vergleiche  $c(A)$  mit Kosten einer optimalen Lösung
- Wir verteilen  $c(A)$  auf die Elemente der Grundmenge  $S$ .
- Hierzu dient  $\text{price} : S \rightarrow \mathbb{R}$ . Es gilt

$$c(A) = \sum_{x \in S} \text{price}(x).$$

- Was können wir über die Kosten der optimalen Lösung aussagen?
- Wir ordnen die Elemente von  $S$  in der Reihenfolge, in der sie zu  $C$  hinzugefügt werden.
- Sei  $x_1, \dots, x_n$  die Reihenfolge, die sich ergibt.

## Lemma 6.29

Für jedes  $k \in \{1, \dots, n\}$  gilt  $\text{price}(x_k) \leq \text{OPT}/(n - k + 1)$ .

## Beweis von Lemma 6.29.

- Wir betrachten ein beliebiges  $k \in \{1, \dots, n\}$ . Sei  $i \in \{1, \dots, m\}$  der Index von  $S_i$ , durch deren Hinzunahme  $x_k$  abgedeckt wird. Sei  $A$  die Auswahl unmittelbar bevor  $i$  zu  $A$  hinzugefügt wird.
- Nicht abgedeckte Elemente  $\bar{C} = S \setminus C$  mit  $C = \bigcup_{j \in A} S_j$ .
- $|\bar{C}| \geq n - k + 1$ , da höchstens die Elemente  $x_1, \dots, x_{k-1}$  abgedeckt sind.
- Wir betrachten nun die Set-Cover-Instanz  $I'$  eingeschränkt auf die Elemente von  $\bar{C}$ , also bereits abgedeckten Elemente werden aus  $S$  und jeder Menge  $S_j$  entfernt.
- Sei dann  $A^*$  die optimale Lösung für  $I'$  mit  $\text{OPT}' = c(A^*)$ . Damit gilt:

$$\text{OPT}' = \sum_{j \in A^*} c_j = \sum_{j \in A^*} \left( |S_j \setminus C| \cdot \frac{c_j}{|S_j \setminus C|} \right) = \sum_{j \in A^*} \left( \sum_{x_j \in S_j \setminus C} r_j(C) \right).$$

### Beweis von Lemma 6.29.

Aus der Wahl von  $S_i$  als nächste Menge folgt, dass es in der aktuellen Situation keine Menge gibt, deren relative Kosten kleiner als  $r_i(C)$  sind. Damit folgt:

$$\begin{aligned} \text{OPT} &\geq \text{OPT}' = \sum_{j \in A^*} \left( \sum_{x_j \in S_j \setminus C} r_j(C) \right) \\ &\geq \sum_{j \in A^*} \left( \sum_{x_j \in S_j \setminus C} r_i(C) \right) \geq |S \setminus C| \cdot r_i(C) \\ &\geq (n - k + 1) \cdot r_i(C). \end{aligned}$$

Wegen  $r_i(C) = \text{price}(x_k)$  ist damit das Lemma bewiesen.

## Fortsetzung Beweis von Satz 6.28.

Aus Lemma 6.29 folgt nun der Beweis von Satz 6.28:

$$\begin{aligned}c(A) &= \sum_{x \in S} \text{price}(S) = \sum_{k=1}^n \text{price}(x_k) \\ &\leq \sum_{k=1}^n \frac{\text{OPT}}{n-k+1} = \text{OPT} \cdot \sum_{k=1}^n \frac{1}{k} \\ &= \text{OPT} \cdot H_n.\end{aligned}$$

# Schranken für harmonische Zahlen

## Lemma 6.30

Für alle  $n \in \mathbb{N}$  gilt:

$$\log(n + 1) \leq H_n \leq 1 + \log(n).$$

Der Beweis ist Übungsaufgabe.

## Folgerung 6.31

Der Algorithmus Greedy-SC hat einen Approximationsfaktor von  $O(\log(n))$ .



# Rucksackproblem und dynamische Programmierung

## Algorithmus 6.32

```
// Backward Computation  
 $V_{n+1,c} := 0$  für  $c = 0, \dots, C$   
for  $i := n$  downto 1 do  
  for  $s := 0$  to  $C$  do  
     $V_{i,s} := V_{i+1,s}$   
     $a_{i,s} := 0$   
    if  $s \geq w_i \wedge V_{i,s} < p_i + V_{i+1,s-w_i}$  then  
       $V_{i,s} := p_i + V_{i+1,s-w_i}$   
       $a_{i,s} := 1$   
    end  
  end  
end  
end
```

## Fortsetzung Algorithmus.

```
// Forward Computation
```

```
z :=  $V_{1,C}$ 
```

```
s := C
```

```
for i := 1 to n do
```

```
     $x_i := a_{i,s}$ 
```

```
    if  $x_i = 1$  then
```

```
        s := s -  $w_i$ 
```

```
    end
```

```
end
```

```
return x, z
```

## Satz 6.33

*Algorithmus 6.32 berechnet in Zeit  $O(Cn)$  eine optimale Lösung für eine Instanz des Rucksackproblems.*

# Diskussion Algorithmus

- **Dynamische Programmierung**: Zustände, Aktionen, Zustandsübergänge
- bei diskreten Zustands- und Aktionenmengen immer als **Wegeproblem in einem Graphen** modellierbar
- Laufzeit gut einschätzbar, im Gegensatz zu Branch-and-Bound
- Laufzeit  $O(Cn)$  ist **nicht linear** sondern exponentiell!
- Begründung:  $C$  ist ein einzelner Wert, die **Laufzeit wächst exponentiell in der Kodierlänge** von  $C$ .
- praktischer Aspekt: für beschränktes  $C$  ein linearer Algorithmus

# Pseudopolynomialität

## Definition 6.34

Es sei  $\Pi$  ein Optimierungsproblem, in dessen Instanzen ganze Zahlen enthalten sind.

Ein Algorithmus  $A$  zur Lösung von  $\Pi$  heißt **pseudopolynomieller Algorithmus**, wenn seine Laufzeit durch ein Polynom in der Eingabelänge und dem größten Absolutwert der Zahlen der Eingabe nach oben beschränkt ist.

## Bemerkungen:

- Algorithmus 6.32 ist ein pseudopolynomieller Algorithmus für das Rucksackproblem.
- Wir können damit Instanzen, für die  $C$  polynomiell in der Anzahl der Objekte beschränkt ist, effizient lösen.
- Gilt bspw.  $C = O(n^2)$ , haben wir einen  $O(n^3)$  Algorithmus.

# Approximationsschema

## Definition 6.35

Ein **Approximationsschema**  $A$  für ein Optimierungsproblem  $\Pi$  ist ein Algorithmus,

- der zu jeder Eingabe der Form  $(I, \epsilon)$  mit  $I \in \mathcal{I}_\Pi$  und  $\epsilon > 0$  eine Lösung  $A(I, \epsilon) \in \mathcal{S}_I$  berechnet.
- Dabei muss für den Wert  $w_A(I, \epsilon) = f_I(A(I, \epsilon))$  dieser Lösung für jede Eingabe  $(I, \epsilon)$  bei einem Minimierungs- oder Maximierungsproblem  $\Pi$  die Ungleichung

$$w_A(I, \epsilon) \leq (1 + \epsilon) \cdot \text{OPT}(I) \quad \text{bzw.} \quad w_A(I, \epsilon) \geq (1 - \epsilon) \cdot \text{OPT}(I)$$

gelten.

- Wie konstruiert man ein Approximationsschema?
- Wie hängt dabei die Laufzeit von  $\epsilon$  ab?

# PTAS und FPTAS

## Definition 6.36

Ein Approximationsschema  $A$  heißt **polynomielles Approximationsschema (PTAS)**, wenn die Laufzeit von  $A$  für jede feste Wahl von  $\epsilon > 0$  durch ein Polynom in  $|I|$  nach oben beschränkt ist.

Wir nennen ein Approximationsschema  $A$  **voll-polynomielles Approximationsschema (FPTAS)**, wenn die Laufzeit von  $A$  durch ein bivariates Polynom in  $|I|$  und  $1/\epsilon$  nach oben beschränkt ist.

# Diskussion PTAS und FPTAS

- Jedes FPTAS ist auch ein PTAS. Umgekehrt gilt dies jedoch nicht.
- Ein PTAS könnte z. B. eine Laufzeit von  $O(|I|^{1/\epsilon})$  haben.
- Diese ist für jedes feste  $\epsilon > 0$  polynomiell in  $|I|$ .
- Diese Laufzeit ist bei einem FPTAS jedoch nicht erlaubt, weil sie nicht polynomiell in  $1/\epsilon$  beschränkt ist.
- Eine erlaubte Laufzeit eines FPTAS ist z. B.  $O(|I|^3/\epsilon^2)$ .

- Ein PTAS impliziert, dass es für das entsprechende Problem für jede Konstante  $\epsilon > 0$  einen  $(1 + \epsilon)$ - bzw.  $(1 - \epsilon)$ -Approximationsalgorithmus gibt.
- Der Grad des Polynoms hängt aber im Allgemeinen vom gewählten  $\epsilon$  ab.
- Ist die Laufzeit zum Beispiel  $O(|I|^{1/\epsilon})$ , so ergibt sich für  $\epsilon = 0.01$  eine Laufzeit von  $O(|I|^{100})$ .
- Eine solche Laufzeit ist nur von theoretischem Interesse.
- Bei einem FPTAS ist es hingegen oft so, dass man auch für kleine  $\epsilon$  eine passable Laufzeit erhält.



## Alternativer DP-Ansatz für Rucksackproblem

- Für die Konstruktion eines FPTAS benötigen wir zunächst einen **anderen DP-Ansatz**.
- Wir betrachten hier (o.B.d.A.) nur den optimalen Zielfunktionswert.
- **Teilproblem**: Finde unter allen Teilmengen der Objekte  $1, \dots, i$  mit Gesamtnutzen  $\geq p$  eine mit dem kleinsten Gewicht.
- Es sei  $W(i, p)$  das **Gewicht solch einer Teilmenge**. Existiert keine solche Teilmenge, so setzen wir  $W(i, p) = \infty$ .
- Wir lösen das Rucksackproblem, indem wir eine **Tabelle konstruieren, die die  $W(i, p)$ -Werte enthält**.
- **Obere Schranke** für den erreichbaren Nutzen:  $nP$  mit  $P := \max_{i \in \{1, \dots, n\}} p_i$ .

- Seien die Werte  $W(i-1, p)$  für ein  $i$  und alle  $p \in \{0, \dots, nP\}$  bekannt. Wie können wir  $W(i, p)$  aus den bekannten Werten berechnen?
- Gesucht ist eine Teilmenge  $I \subseteq \{1, \dots, i\}$  mit  $\sum_{i \in I} p_i \geq p$  und kleinstmöglichem Gewicht. Wir unterscheiden nun zwei Fälle.
- $i \notin I$ 
  - ▶ Dann gilt  $I \subseteq \{1, \dots, i-1\}$  mit  $\sum_{i \in I} p_i \geq p$ .
  - ▶ Unter allen diesen Teilmengen besitzt  $I$  minimales Gewicht.
  - ▶ Damit gilt  $W(i, p) = W(i-1, p)$ .
- $i \in I$ 
  - ▶ Dann ist  $I \setminus \{i\}$  eine Teilmenge von  $\{1, \dots, i-1\}$  mit Nutzen von mindestens  $p - p_i$ .
  - ▶ Unter allen Teilmengen, die diese Bedingung erfüllen, hat  $I \setminus \{i\}$  minimales Gewicht.
  - ▶ Es gilt also  $w(I \setminus \{i\}) = W(i-1, p - p_i)$  und somit  $W(i, p) = W(i-1, p - p_i) + w_i$ .

### Algorithmus 6.37

- 1  $W(i, p) := 0$  für  $i \in \{1, \dots, n\}$  und  $p \leq 0$ .
- 2  $P := \max_{i \in \{1, \dots, n\}} p_i$
- 3  $W(1, p) := w_1$  für  $p = 1, \dots, p_1$
- 4  $W(1, p) := \infty$  für  $p = p_1 + 1, \dots, nP$
- 5  $W(i, p) = \min\{W(i-1, p), W(i-1, p-p_i) + w_i\}$  für  $i = 2, \dots, n$  und  $p = 1, \dots, nP$
- 6 **return**  $\max p \in \{1, \dots, nP\}$  mit  $W(n, p) \leq C$ .

### Lemma 6.38

Algorithmus 6.37 bestimmt in Zeit  $O(n^2P)$  den maximalen Nutzen für eine Instanz des Rucksackproblems.

## Idee: FPTAS

- Algorithmus 6.37 ist effizient für kleine Nutzenwerte (polynomiell in der Eingabelänge beschränkt).
- Idee: **große Nutzenwerten skalieren**, d. h. alle durch dieselbe Zahl  $K$  teilen.
- Der maximal erreichbare Nutzen wird dann ebenfalls um den Faktor  $K$  kleiner.
- **optimale Lösung ändert sich nicht**
- **Trick**: Schneide die Nachkommastellen der skalierten Nutzenwerte ab!
- Wähle dabei  $K$  so, dass Algorithmus 6.37 polynomielle Laufzeit hat.
- Abhängig von  $K$  ergibt sich dann auch eine Approximationsgüte.

# FPTAS für Rucksackproblem

## Algorithmus 6.39

Eingabe sei  $(\mathcal{I}, \epsilon)$  mit  $\mathcal{I} = (p_1, \dots, p_n, w_1, \dots, w_n, C)$ .

- 1  $P := \max_{i \in \{1, \dots, n\}} p_i$
- 2  $K := \frac{\epsilon P}{n}$
- 3  $p'_i := \lfloor \frac{p_i}{K} \rfloor$  für  $i = 1, \dots, n$
- 4 Berechne mit Algorithmus 6.37 eine optimale Lösung für die Instanz  $\mathcal{I} = (p'_1, \dots, p'_n, w_1, \dots, w_n, C)$ .

## Satz 6.40

Algorithmus 6.39 ist ein FPTAS für das Rucksackproblem mit einer Laufzeit von  $O(n^3/\epsilon)$ .

# Beweis für FPTAS

## Beweis.

### Laufzeit:

- Wird durch den Aufruf von Algorithmus 6.37 dominiert.
- Sei  $P' = \max_{i \in \{1, \dots, n\}} p'_i$ .
- Es gilt:

$$P' = \max_{i \in \{1, \dots, n\}} \left\lfloor \frac{p_i}{K} \right\rfloor = \left\lfloor \frac{P}{K} \right\rfloor = \left\lfloor \frac{n}{\epsilon} \right\rfloor \leq \frac{n}{\epsilon}.$$

- Somit beträgt die Laufzeit  $O(n^2 P') = O(n^3 / \epsilon)$ .

### Approximation:

- Sei  $I' \subseteq \{1, \dots, n\}$  eine optimale Lösung für das skalierte Problem mit Nutzenwerten  $p'_1, \dots, p'_n$ .
- Sei  $I \subseteq \{1, \dots, n\}$  eine optimale Lösung für das originäre Problem mit Nutzenwerten  $p_1, \dots, p_n$ .

## Fortsetzung Beweis.

- $I'$  ist auch optimal für die Nutzenwerte  $p_1^*, \dots, p_n^*$  mit  $p_i^* = K \cdot p'_i$ .
- Für  $J \subseteq \{1, \dots, n\}$  sei

$$p(J) = \sum_{i \in J} p_i \quad \text{und} \quad p^*(J) = \sum_{i \in J} p_i^*.$$

- Dann ist  $p(I')$  der Wert der Lösung von Algorithmus 6.39 und  $p(I)$  der Wert OPT einer optimalen Lösung.
- Die Nutzenwerte  $p_i$  und  $p_i^*$  weichen nicht stark voneinander ab. Es gilt

$$p_i^* = K \left\lfloor \frac{p_i}{K} \right\rfloor \geq K \left( \frac{p_i}{K} - 1 \right) = p_i - K$$

und

$$p_i^* = K \left\lfloor \frac{p_i}{K} \right\rfloor \leq p_i.$$

## Fortsetzung Beweis.

- Dementsprechend gilt für jede Teilmenge  $J \subseteq \{1, \dots, n\}$

$$p(J) - nK \leq p^*(J) \leq p(J).$$

- $I'$  ist eine optimale Lösung für die Nutzenwerte  $p_1^*, \dots, p_n^*$  (siehe oben).
- Es gilt also  $p^*(I') \geq p^*(I)$  und somit

$$p(I') \geq p^*(I') \geq p^*(I) \geq p(I) - nK.$$

- Da jedes Objekt alleine in den Rucksack passt, gilt  $p(I) \geq P$  und damit

$$\frac{p(I')}{\text{OPT}} = \frac{p(I')}{p(I)} \geq \frac{p(I) - nK}{p(I)} = 1 - \frac{\epsilon P}{p(I)} \geq 1 - \epsilon.$$



# Diskussion

- Beim FPTAS Abrundung der Nutzenwerte so, dass **der pseudopolynomielle Algorithmus die abgerundete Instanz in polynomieller Zeit lösen kann.**
- gute Approximation der optimalen Lösung bezüglich der eigentlichen Nutzenwerte
- Technik zum Entwurf eines FPTAS **lässt sich für andere Probleme anwenden**, für die es einen pseudopolynomiellen Algorithmus gibt.
- Geht das auch mit **Runden der Gewichtswerte?**
- eher nicht, optimale Lösung dann u. U. nicht mehr zulässig, evtl. sehr schlechte Approximation
- **Faustregel:** guter Ansatz, wenn pseudopolynomial bzgl. Koeffizienten in der Zielfunktion.
- Daher auch der Ansatz mit Algorithmus 6.37 statt 6.32.

# Max-SAT

## Definition 6.41

Das Optimierungsproblem **MAX-SAT** lautet:

- **Instanzen:** Gegeben ist eine aussagenlogische Formel

$$\Phi = C_1 \wedge C_2 \wedge \dots \wedge C_m$$

in **KNF**

- ▶ mit den Klauseln  $C_1, \dots, C_m$ ,
- ▶ in den Variablen  $x_1, \dots, x_n$ ,
- ▶ sowie Gewichten  $w_1, \dots, w_m \in \mathbb{R}_+$ .
- **Lösungen:** alle Belegungen der Variablen  $x_1, \dots, x_n$ .
- **Zielfunktion:** maximiere das Gesamtgewicht der durch die Belegung erfüllten Klauseln.

# Randomisierter Approximationsalgorithmus

## Definition 6.42

- Ein **randomisierter Approximationsalgorithmus**  $A$  für ein Minimierungs- oder Maximierungsproblem  $\Pi$  erreicht einen **Approximationsfaktor** von  $r \geq 1$  bzw.  $r \leq 1$ , wenn

$$E(w_A(I)) \leq r \cdot \text{OPT}(I) \quad \text{bzw.} \quad E(w_A(I)) \geq r \cdot \text{OPT}(I)$$

für alle Instanzen  $I_\Pi$  gilt. Wir sagen dann, dass  $A$  ein **randomisierter  $r$ -Approximationsalgorithmus** ist.

- In vielen Fällen hängt der Approximationsfaktor von der Eingabelänge ab. Dann ist  $r : \mathbb{N} \rightarrow [0, \infty)$  eine Funktion und es muss

$$E(w_A(I)) \leq r(|I|) \cdot \text{OPT}(I) \quad \text{bzw.} \quad E(w_A(I)) \geq r(|I|) \cdot \text{OPT}(I)$$

für alle Instanzen  $I$  gelten.

# Randomisierter Approximationsalgorithmus für Max-SAT

## Algorithmus 6.43 (RandMaxSat)

*Erzeuge eine Belegung  $B : \{x_1, \dots, x_n\} \rightarrow \{0, 1\}$  wie folgt:*

*Setze jede Variable  $x_i$  unabhängig von den anderen Variablen mit einer Wahrscheinlichkeit von  $\frac{1}{2}$  auf 0 bzw. 1.*

## Satz 6.44

*Algorithmus 6.43 ist ein randomisierter  $\frac{1}{2}$ -Approximationsalgorithmus für Max-SAT.*

## Beweis.

- Wir definieren für jede Klausel  $C_j$  eine **Zufallsvariable**

$$Y_j = \begin{cases} w_j & \text{falls } B \text{ Klausel } C_j \text{ erfüllt,} \\ 0 & \text{sonst.} \end{cases}$$

- Dann gilt für das Gesamtgewicht  $Y$  der erfüllten Klauseln

$$E(Y) = E\left(\sum_{j=1}^m Y_j\right) = \sum_{j=1}^m E(Y_j) = \sum_{j=1}^m w_j \cdot P(B \text{ erfüllt } C_j).$$

- Wann wird  $C_j$  nicht erfüllt?
  - ▶ Wenn alle positiven Literale in  $C_j$  auf 0 und
  - ▶ alle negativen Literale auf 1 gesetzt sind.

Bezeichne  $l_j$  die **Anzahl an Literalen** in  $C_j$ .

## Fortsetzung Beweis.

- Damit folgt

$$P(B \text{ erfüllt } C_j \text{ nicht}) = \left(\frac{1}{2}\right)^{l_j} \leq \frac{1}{2}.$$

- Das Gesamtgewicht aller Klauseln ist eine obere Schranke für OPT. Damit folgt

$$E(Y) = \sum_{j=1}^m w_j \cdot P(B \text{ erfüllt } C_j) \geq \sum_{j=1}^m w_j \cdot \frac{1}{2} \geq \frac{1}{2} \cdot \text{OPT}.$$

**Bemerkungen:**

- Aus Beweis folgt: Der **Approximationsfaktor** wird besser, je länger die Klauseln sind.
- Für MAX-3-SAT erhalten wir einen Approximationsfaktor von  $\frac{7}{8}$ .

# Max-SAT als ILP

Maximiere

$$\sum_{j=1}^m w_j z_j$$

unter den Nebenbedingungen

$$\sum_{i \in P_j} y_i + \sum_{i \in N_j} (1 - y_i) \geq z_j \quad \text{für } j = 1, \dots, m$$

$$y_i \in \{0, 1\} \quad \text{für } i = 1, \dots, n$$

$$z_j \in \{0, 1\} \quad \text{für } j = 1, \dots, m$$

# Randomisiertes Runden für Max-SAT

## Algorithmus 6.45

Erzeuge eine Belegung  $B : \{x_1, \dots, x_n\} \rightarrow \{0, 1\}$  wie folgt:

- 1 Berechne eine Lösung für die LP-Relaxation (also  $y_j, z_j \in [0, 1]$ ) von Max-SAT.  
Es sei  $(\mathbf{y}, \mathbf{z})$  eine optimale Lösung der LP-Relaxation.
- 2 Setze jede Variable  $x_i$  unabhängig von den anderen Variablen mit einer Wahrscheinlichkeit von  $y_i$  auf 1 bzw. mit einer Wahrscheinlichkeit von  $1 - y_i$  auf 0.

## Satz 6.46

Algorithmus 6.45 ist ein randomisierter  $(1 - \frac{1}{e})$ -Approximationsalgorithmus für Max-SAT.



## Beweis.

- Sei  $P_j$  die Menge der **positiven Literale** von  $C_j$  und  $N_j$  die Menge der negativen Literale.
- Damit gilt

$$P(B \text{ erfüllt } C_j \text{ nicht}) = \prod_{i \in P_j} (1 - y_i) \cdot \prod_{i \in N_j} y_i.$$

- Wir nutzen die Ungleichung vom arithmetischen und geometrischen Mittel

$$\sqrt[n]{\prod_{i=1}^n a_i} \leq \frac{1}{n} \sum_{i=1}^n a_i \quad \text{bzw.} \quad \prod_{i=1}^n a_i \leq \left( \frac{1}{n} \sum_{i=1}^n a_i \right)^n.$$

## Fortsetzung Beweis.

- Angewendet mit  $|C_j| = |P_j| + |N_j|$  ergibt sich

$$\begin{aligned}
 \prod_{i \in P_j} (1 - y_i) \cdot \prod_{i \in N_j} y_i &\leq \left( \frac{1}{|C_j|} \left( \sum_{i \in P_j} (1 - y_i) + \sum_{i \in N_j} y_i \right) \right)^{|C_j|} \\
 &= \left( \frac{1}{|C_j|} \left( |C_j| + \sum_{i \in P_j} (-y_i) + \sum_{i \in N_j} (y_i - 1) \right) \right)^{|C_j|} \\
 &= \left( 1 - \frac{1}{|C_j|} \left( \sum_{i \in P_j} y_i + \sum_{i \in N_j} (1 - y_i) \right) \right)^{|C_j|}.
 \end{aligned}$$

## Fortsetzung Beweis.

- Das LP erfüllt die Nebenbedingung  $\sum_{i \in P_j} y_i + \sum_{i \in N_j} (1 - y_i) \geq z_j$ . Damit folgt

$$P(C_j \text{ nicht erfüllt}) \leq \left(1 - \frac{z_j}{|C_j|}\right)^{|C_j|}$$

bzw.

$$P(C_j \text{ erfüllt}) \geq 1 - \left(1 - \frac{z_j}{|C_j|}\right)^{|C_j|}.$$

- Die Funktion  $f(x) = 1 - \left(1 - \frac{x}{|C_j|}\right)^{|C_j|}$  ist konkav. Damit liegt die Gerade  $g$ , die durch die Punkte  $(0, f(0))$  und  $(1, f(1))$  geht, nirgendwo überhalb von  $f$ .
- Wegen  $f(0) = 0$  gilt

$$g(x) = f(1) \cdot x = \left(1 - \left(1 - \frac{1}{|C_j|}\right)^{|C_j|}\right) \cdot x.$$

## Fortsetzung Beweis.

- Damit folgt:

$$P(C_j \text{ erfüllt}) \geq f(z_j) \geq g(z_j) = \left(1 - \left(1 - \frac{1}{|C_j|}\right)^{|C_j|}\right) \cdot z_j.$$

- Sei  $Y$  wieder das Gesamtgewicht der erfüllten Klauseln.

$$\begin{aligned} E(Y) &= \sum_{j=1}^m w_j \cdot P(C_j \text{ erfüllt}) \\ &\geq \sum_{j=1}^m w_j \left(1 - \left(1 - \frac{1}{|C_j|}\right)^{|C_j|}\right) \cdot z_j \\ &\geq \min_{k \geq 1} \left(1 - \left(1 - \frac{1}{k}\right)^k\right) \cdot \sum_{j=1}^m w_j z_j \end{aligned}$$

## Fortsetzung Beweis.



$$\begin{aligned} &= \min_{k \geq 1} \left( 1 - \left( 1 - \frac{1}{k} \right)^k \right) z_{LP} \\ &\geq \min_{k \geq 1} \left( 1 - \left( 1 - \frac{1}{k} \right)^k \right) \text{OPT}. \end{aligned}$$

- Die Funktion  $1 - \left( 1 - \frac{1}{k} \right)^k$  ist streng monoton fallend und geht von oben gegen  $1 - \frac{1}{e} \approx 0.632$ . Damit erhalten wir

$$E(Y) \geq \left( 1 - \frac{1}{e} \right) \cdot \text{OPT}.$$

# Zusammenfassung

- **Greedy-Algorithmen** als Ansatz für Approximationsalgorithmen
- Auf **Matroiden** liefern Greedy-Algorithmen optimale Lösungen.
- **Beweis der Approximationsgüte**: Schranken für optimale Lösung, approximative Lösung und diese in Beziehung setzen.
- **Dynamische Programmierung** und **Pseudopolynomialität**
- **FPTAS** durch geeignetes Runden und Nutzung eines pseudopolynomialen Algorithmus
- **Randomisierte Approximation**: Runden auf Basis der Lösung einer LP-Relaxation